

بِسْمِ اللَّهِ الرَّحْمَنِ الرَّحِيمِ



دانشکده فیزیک

گروه فیزیک هسته ای

## محاسبه‌ی طیف هسته‌ی اتم تریتیوم

جواد رحمت آبادی ثانی

استاد راهنما :

پروفسور علی اکبر رجبی

پایان نامه ارشد جهت اخذ درجه کارشناسی ارشد

بهمن ۱۳۹۲

به یاد مردم  
بیت

و

تقدیم به مادر م

## تشکر و قدردانی:

برخود لازم می‌دانم از استاد راهنمای بزرگووارم جناب آقای دکتر علی‌اکبر رجبی که در تدوین این پایان‌نامه به‌طور مداوم از راهنمایی‌های ارزشمند ایشان بهره می‌بردم و همچنین از تمامی اساتید عزیز گروه فیزیک هسته‌ای دانشگاه صنعتی شاهرود که در مدت تحصیلم در این دانشگاه درس‌های زیادی از آنها آموختم، کمال تشکر و قدردانی را داشته باشم. از دوستان عزیزم که لحظات بسیار خوبی را در کنار آنها گذراندم متشکرم و در نهایت سپاسگذار زحمات مادر مهربانم هستم.

## تعهد نامه

اینجانب **جواد رحمت آبادی ثانی** دانشجوی دوره کارشناسی ارشد رشته **فیزیک هسته‌ای** دانشکده فیزیک دانشگاه

صنعتی شاهرود نویسنده پایان نامه **محاسبه‌ی طیف هسته‌ی اتم تریتیوم** متعهد می شوم.

- تحقیقات در این پایان نامه توسط اینجانب انجام شده است و از صحت و اصالت برخوردار است.
- در استفاده از نتایج پژوهشهای محققان دیگر به مرجع مورد استفاده استناد شده است.
- مطالب مندرج در پایان نامه تاکنون توسط خود یا فرد دیگری برای دریافت هیچ نوع مدرک یا امتیازی در هیچ جا ارائه نشده است.
- کلیه حقوق معنوی این اثر متعلق به دانشگاه صنعتی شاهرود می باشد و مقالات مستخرج با نام « دانشگاه صنعتی شاهرود » و یا « Shahrood University of Technology » به چاپ خواهد رسید.
- حقوق معنوی تمام افرادی که در به دست آمدن نتایج اصلی پایان نامه تأثیرگذار بوده اند در مقالات مستخرج از پایان نامه رعایت می گردد.
- در کلیه مراحل انجام این پایان نامه ، در مواردی که از موجود زنده ( یا بافتهای آنها ) استفاده شده است ضوابط و اصول اخلاقی رعایت شده است.
- در کلیه مراحل انجام این پایان نامه، در مواردی که به حوزه اطلاعات شخصی افراد دسترسی یافته یا استفاده شده است اصل رازداری ، ضوابط و اصول اخلاق انسانی رعایت شده است

### تاریخ

### امضای دانشجو

#### مالکیت نتایج و حق نشر

- کلیه حقوق معنوی این اثر و محصولات آن (مقالات مستخرج، کتاب، برنامه های رایانه ای، نرم افزار ها و تجهیزات ساخته شده است ) متعلق به دانشگاه صنعتی شاهرود می باشد. این مطلب باید به نحو مقتضی در تولیدات علمی مربوطه ذکر شود.
- استفاده از اطلاعات و نتایج موجود در پایان نامه بدون ذکر مرجع مجاز نمی باشد.

## چکیده :

از آغاز تاریخچه‌ی فیزیک هسته‌ای تاکنون استفاده از مدلی که قادر باشد توصیف مناسبی از رفتار نوکلئون‌ها را که متأثر از نیروی هسته‌ای قوی موجود بین آنهاست ارائه دهد، از اهمیت ویژه‌ای برخوردار بوده است. روش بسط هماهنگ‌های فوق‌کروی یکی از مطمئن‌ترین و موفق‌ترین روش‌ها جهت مطالعه‌ی سیستم‌های چند ذره‌ای در مکانیک کوانتومی نسبیتی و غیرنسبیتی است. ما قصد داریم با استفاده از این روش شکل مناسب معادله‌ی شرودینگر را برای سیستم هسته‌ای سه نوکلئونی تریتون استخراج کرده و پس از آن به منظور بررسی نظری حالت پایه و امکان وجود حالت مقید برانگیخته در طیف تریتون، این معادله را حل کنیم. در این راه استفاده از پتانسیل مناسبی که برآورد خوبی از پارامترهای استاتیکی حالت پایه ( انرژی و شعاع باری ) داشته باشد در دست‌یافتن به یک مدل پدیده‌شناسی از اهمیت زیادی برخوردار است. ما نخست از پتانسیل یوکاوا به‌عنوان پتانسیل نوکلئون- نوکلئون در تریتون استفاده کرده‌ایم و پس از آن به منظور نزدیک‌تر شدن به مقادیر تجربی و پتانسیل واقعی یک جمله اصلاحی به آن اضافه نموده‌ایم. نتایج برای هر دو مورد ارائه و با تجربه مقایسه شده است. در این کار برای حل معادله‌ی شرودینگر از روش عددی پرتاب استفاده کرده‌ایم. این روش یک انتخاب مناسب جهت حل دقیق معادلات ویژه‌مقداری مخصوصاً برای آن دسته از پتانسیل‌هایی است که حل تحلیلی دقیق برای آنها وجود ندارد ( از جمله پتانسیل یوکاوا ). روش پرتاب خود مبتنی بر الگوریتم‌های عددی دیگری نظیر روش رانگه-کوتا و روش ریشه‌یابی نیوتون-رافسن است.

**کلمات کلیدی :** فضای فوق‌کروی، معادله‌ی شرودینگر، روش عددی پرتاب، تریتون، انرژی بستگی

## مقاله‌ی مستخرج از پایان نامه :

رحمت آبادی. جواد، رجبی. علی‌اکبر، "محاسبه‌ی انرژی بستگی دوترون و تریتون به کمک حل معادله‌ی شرودینگر به روش عددی پرتاب"، کنفرانس فیزیک محاسباتی ایران، ۳۰ دی تا ۲ بهمن ماه ۹۲، دانشگاه تربیت دبیر شهید رجایی تهران

## فهرست مطالب

### فصل اول : مقدمه ای بر فیزیک هسته‌ای و ساختار هسته

- ۱-۱. مقدمه ..... ۲
- ۲-۱. نیروهای موجود در طبیعت و مدل استاندارد ..... ۳
- ۳-۱. خواص هسته ..... ۴
- ۱-۳-۱. جرم، بار و اندازه ی هسته ..... ۴
- ۲-۳-۱. انرژی بستگی ..... ۶
- ۳-۳-۱. تکانه‌ی زاویه‌ای هسته ها و پاریته ..... ۷
- ۴-۳-۱. حالات پایه و برانگیخته‌ی هسته ..... ۸
- ۴-۱. انرژی نوکلئون ها در هسته ..... ۹
- ۵-۱. مدل های هسته‌ای ..... ۱۰
- ۱-۵-۱. مدل قطره مایعی ..... ۱۱
- ۲-۵-۱. مدل لایه‌ای ( پوسته‌ای ) ..... ۱۲
- ۳-۵-۱. مدل گاز فرمی ..... ۱۴
- ۴-۵-۱. مدل های جمعی ..... ۱۴

### فصل دوم : نیروی هسته‌ای

- ۱-۲. مقدمه ..... ۱۸
- ۲-۲. دوترون، ساده ترین حالت مقید نوکلئون ها ..... ۱۸
- ۱-۲-۲. انرژی بستگی ..... ۱۹
- ۲-۲-۲. اسپین و پاریته ..... ۲۱
- ۳-۲-۲. گشتاورهای دو قطبی مغناطیسی و چارقطبی الکتریکی ..... ۲۲
- ۳-۲. خواص عمومی نیرو و پتانسیل هسته ای ..... ۲۳
- ۴-۲. مدل نیروی تبادل ..... ۲۶



- ۵-۲. نیروهای چند جسمی ..... ۲۹
- ۶-۲. پتانسیل های هسته‌ای ..... ۳۰

### فصل سوم : فضای فوق کروی

- ۱-۳. مقدمه ..... ۳۲
- ۲-۳. مختصات ژاکوبی و فضای فوق کروی ..... ۳۲
- ۳-۳. لاپلاسی سیستم، عملگر انرژی جنبشی و معادله ی شرودینگر در فضای فوق کروی ..... ۳۶
- ۴-۳. هماهنگ‌های فوق کروی ..... ۴۰
- ۵-۳. سیستم سه ذره ای ..... ۴۲

### فصل چهارم : روش‌های عددی

- ۱-۴. مقدمه ..... ۴۶
- ۲-۴. انتگرال گیری عددی در معادلات دیفرانسیل معمولی ..... ۴۶
- ۳-۴. روش رانگه کوتا ..... ۴۸
- ۱-۳-۴. روش رانگه کوتای مرتبه دوم ..... ۴۸
- ۲-۳-۴. روش رانگه کوتای مرتبه چهارم ..... ۴۹
- ۳-۳-۴. روش رانگه کوتای مرتبه پنجم با اندازه‌ی گام بهینه ..... ۴۹
- ۴-۴. مسائل دارای شرایط دو مرزی و ویژه مقداری ..... ۵۱
- ۱-۴-۴. روش پرتاب ..... ۵۲
- ۲-۴-۴. روش تطبیق ( پرتاب به نقطه ی انطباق ) ..... ۵۵
- ۵-۴. نتایج حاصل از حل چند مسأله‌ی کوانتومی با استفاده از روش عددی پرتاب ..... ۵۷
- ۱-۵-۴. اتم هیدروژن ..... ۵۷
- ۲-۵-۴. دوترون ..... ۵۸
- ۳-۵-۴. حالات مقید معادله ی شرودینگر دو جسمی در حضور پتانسیل منینگ-روزن ..... ۶۰
- ۴-۵-۴. حالات مقید معادله ی شرودینگر دو جسمی در حضور پتانسیل یوکاوا ..... ۶۲

## فصل پنجم : نتایج

۶۶.....	۱-۵. مقدمه
۶۶.....	۲-۵. تریتون
۶۶.....	۳-۵. یکاها و ابعاد مناسب
۶۷.....	۴-۵. روش پرتاب برای معادله‌ی شرودینگر
۶۸.....	۵-۵. بررسی حالات انرژی تریتون در حضور پتانسیل یوکاوا
۷۱.....	۱-۵-۵. انرژی بستگی و شعاع باری
۷۴.....	۲-۵-۵. حالات برانگیخته
۷۶.....	۳-۵-۵. بررسی حل تحلیلی با استفاده از شکل تقریبی جمله‌ی $1/x^2$
۷۹.....	۶-۵. بررسی تریتون در حضور پتانسیل یوکاوا اصلاح شده
۸۰.....	۱-۶-۵. انرژی بستگی و شعاع باری
۸۳.....	۲-۶-۵. حالات برانگیخته
۸۴.....	نتیجه‌گیری
۸۶.....	پیوست
۹۱.....	مراجع

## فهرست شکل‌ها

- شکل (۱-۱) منحنی رابطه ی (۲-۱) برای  $\rho(r)$  بر حسب  $r$  ..... ۶
- شکل (۲-۱) انرژی نخستین حالت‌های  $2+$  در هسته‌های زوج زوج ..... ۱۵
- شکل (۱-۲) تابع موج دوترون برای  $R = 2.1 fm$  ..... ۲۱
- شکل (۱-۴) توابع موج شعاعی برای حالات (1,0) ، (2,0) و (2,1) اتم هیدروژن ..... ۵۹
- شکل (۲-۴) تابع موج دوترون برای پتانسیل چاه مربعی با  $R = 2.1 fm$  ..... ۶۰
- شکل (۳-۴) تابع موج شعاعی حالت  $4p$  برای پتانسیل مینینگ-روزن ..... ۶۱
- شکل (۴-۴) تابع موج شعاعی حالت  $3p$  برای پتانسیل یوکاوا به ازای  $V_0 = \sqrt{2}$  و  $k = 0.002V_0$  ..... ۶۲
- شکل (۱-۵) تابع موج حالت پایه ی تریتون در حضور پتانسیل یوکاوا ..... ۷۳
- شکل (۲-۵) چگالی احتمال شعاعی حالت پایه ی تریتون در حضور پتانسیل یوکاوا ..... ۷۴
- شکل (۳-۵) تابع موج حالات برانگیخته در تریتون ..... ۷۵
- شکل (۴-۵) رفتار هریک از جملات و جمله کلی پتانسیل رابطه (۲۸-۵) ..... ۸۱
- شکل (۵-۵) تابع موج حالت پایه ی تریتون در حضور پتانسیل (۲۸-۵) ..... ۸۲
- شکل (۶-۵) چگالی احتمال شعاعی حالت پایه ی تریتون در حضور پتانسیل (۲۸-۵) ..... ۸۲

## فهرست جدول‌ها

- جدول (۱-۴) ضرایب cash-karp ..... ۵۰
- جدول (۲-۴) ویژه مقادیر انرژی تحلیلی و عددی برای برخی حالات اتم هیدروژن ..... ۵۸
- جدول (۳-۴) برخی ویژه مقادیر انرژی ( $-E_{nl}$ ) پتانسیل مینینگ-روزن حاصل از روش های مختلف به ازای  $b = 40$  ..... ۶۱
- جدول (۴-۴) برخی ویژه مقادیر انرژی ( $-E_{nl}$ ) (بر حسب  $fm^{-1}$ ) پتانسیل یوکاوا به ازای  $V_0 = \sqrt{2}$  و  $\hbar = \mu = 1$  و  $A = 2b$  ,  $\alpha = 0.75$  ..... ۶۳
- جدول (۱-۵) انرژی بستگی ( قدر مطلق انرژی حالت پایه ) و جرم هسته‌ای تریتون به ازای  $k = 0.7 fm^{-1}$  و مقادیر مختلف  $V_0$  ..... ۷۲
- جدول (۲-۵) طیف انرژی مثبت (نامقید) برای حالات برانگیخته در تریتون در حضور پتانسیل یوکاوا ..... ۷۵
- جدول (۳-۵) انرژی بستگی محاسبه شده با روش تحلیلی تقریبی به ازای  $k = 0.7 fm^{-1}$  و مقادیر مختلف  $V_0$  ..... ۷۸
- جدول (۴-۵) انرژی بستگی، جرم هسته‌ای و شعاع باری محاسبه شده برای تریتون به ازای برخی مقادیر پارامترهای پتانسیل (۲۸-۵) ..... ۸۰
- جدول (۵-۵) طیف انرژی مثبت (نامقید) برای حالات برانگیخته در تریتون در حضور پتانسیل (۲۸-۵) ..... ۸۳



## فصل اول

# مقدمه‌ای بر فیزیک هسته‌ای و

## ساختار هسته

## ۱-۱- مقدمه

نقطه‌ی آغاز فیزیک هسته‌ای را می‌توان کشف پرتوزایی توسط بکرل در سال ۱۸۹۶ دانست. وی بطور اتفاقی به تیره شدن یک صفحه‌ی عکاسی در مجاوت نوعی سنگ معدن پی برد. اما بزرگترین شناخت از پرتوزایی توسط رادرفورد و همکارانش صورت گرفت که به ظهور فرضیه‌ی رادرفورد مبنی بر وجود هسته در اتم‌ها در سال ۱۹۱۱ منتهی گردید. امروزه درک نسبتاً خوبی از ساختار هسته و ویژگی‌های نیروی هسته‌ای که این ساختار را ایجاد می‌کنند، بدست آورده‌ایم. بطور کلی می‌توان گفت ساختار این نیرو که بطور ویژه در فصل بعدی به سراغ آن خواهیم رفت، بسیار پیچیده است.

فیزیک هسته‌ای، برخلاف فیزیک اتمی از چنان صورتبندی نظری منسجمی برخوردار نیست که با استفاده از آن بتوانیم تمام پدیده‌ها را به روشی بنیادی تجزیه و تحلیل کنیم. بدین ترتیب، در مطالعه‌ی فیزیک هسته‌ای باید شیوه‌ای پدیده‌شناختی در پیش بگیریم و برای توصیف پدیده‌های متنوعی از قبیل واپاشی آلفا، واپاشی بتا، واکنش‌های مستقیم یا شکافت، از صورتبندی‌های متفاوتی استفاده کنیم [۱].

هدف از ارائه‌ی این فصل آشنایی با برخی مفاهیم و تعاریف مقدماتی است که در قلمروی فیزیک هسته‌ای قرار می‌گیرند و بیان آنها پیش از ارائه‌ی مطالب بعدی ضروری به نظر می‌رسد.

## ۱-۲- نیروهای موجود در طبیعت و مدل استاندارد

تا آنجا که ما می‌دانیم، چهار نوع نیروی بنیادی در طبیعت وجود دارد: قوی (هسته‌ای قوی)، الکترومغناطیس، ضعیف (هسته‌ای ضعیف) و گرانش. هر یک از این نیروها از یک نظریه‌ی فیزیکی تبعیت می‌کنند. نظریه کلاسیکی گرانش، قانون گرانش نیوتون است. تعمیم نسبیتی آن نظریه‌ی نسبیت عام انیشتین است که در چارچوب نظریه فیزیکی ژئومترودینامیک توصیف می‌شود. نظریه‌ی فیزیکی که

نیروهای الکترومغناطیسی را توصیف می کند، الکترودینامیک نامیده می شود که فرمولبندی کلاسیکی آن بیشتر از صد سال پیش توسط ماکسول ارائه شد. نظریه ی کلاسیکی ماکسول بر نسبت خاص منطبق بود. نظریه ی کوانتومی الکترودینامیک نیز در سال ۱۹۴۰ توسط توموناگا، فاینمن و شوینگر<sup>۱</sup> ارائه گردید. نیروهای ضعیف که عامل ایجاد واپاشی هسته های بتا هستند برای فیزیک کلاسیک ناشناخته بودند. نخستین نظریه در رابطه با این نیروها را فرمی در سال ۱۹۳۳ عنوان کرد که بوسیله ی افراد دیگری رفته رفته تکمیل شد و گلاشو، واینبرگ و سلام آن را به شکل امروزی درآوردند. نظریه ی (GWS)<sup>۲</sup> نیروهای ضعیف و الکترومغناطیس را دو صورت مختلف از یک نیروی واحد به نام الکتروضعیف می داند، بنابراین طبق این نظریه نیروهای چهارگانه به نیروهای سه گانه تقلیل می یابند. و سرانجام نیروهای قوی که با کار یوکاوا در سال ۱۹۳۴ معرفی شدند توسط نظریه ی فیزیکی کرومودینامیک توصیف می شوند [۲].

مدل استاندارد نظریه ای در رابطه با برهم کنش های قوی، ضعیف و الکترومغناطیس است که بر اساس آن تمام ماده از سه گروه ذرات بنیادی تشکیل شده است: لپتون ها، کوارک ها و ذرات واسطه. شش لپتون وجود دارد که بر اساس نوع بار، عدد لپتونی، عدد میونی و عدد تاو طبقه بندی می شوند و در سه نسل قرار می گیرند. همچنین شش پاد لپتون در طبیعت وجود دارند که برای آنها نوع بار و اعداد ذکر شده بر عکس لپتون های متناظر است. شش نوع کوارک و شش پادکوارک نیز در این مدل وجود دارند که هریک از این کوارک ها در سه رنگ ظاهر می شوند، بنابراین مجموعاً با ۳۶ نوع کوارک و پادکوارک روبرو هستیم. هر برهم کنش دارای ذره ی واسطه ی خاصی است. فوتون ذره ی واسطه برای برهم کنش الکترومغناطیسی و گراویتون ذره ی واسطه در برهم کنش گرانشی است. بوزون های برداری میانه  $W^+$ ،  $W^-$  و  $Z$  واسطه ی برقراری برهم کنش ضعیف بین کوارک ها و لپتون های مختلف هستند [۲]. در نهایت گلوئون ها واسطه ی

<sup>1</sup> Tomonaga, Feynman and Schwinger

<sup>2</sup> Glashow-Weinberg-Salam

برقراری نیروی قوی بین ذرات باردار رنگی یعنی کوارک‌ها می‌باشند. گلوئون‌ها خود ذراتی بدون جرم و حامل بار و رنگ هستند.

### ۱-۳- خواص هسته

هسته‌ها دارای برخی خواص مستقل از زمان مانند جرم، اندازه، بار، تکانه‌ی زاویه‌ای ذاتی (اسپین) و برخی خواص وابسته به زمان مانند واپاشی پرتوزا و تبدیلات هسته‌ای مصنوعی (واکنش‌های هسته‌ای) هستند. رده‌ی اول خواص استاتیکی و رده‌ی بعدی خواص دینامیکی هسته نامیده می‌شوند. هسته‌ها همچنین دارای حالات برانگیخته هستند که انرژی آنها معمولاً جزء خواص استاتیکی بررسی می‌شود، اما واپاشی آنها یکی از انواع واپاشی پرتوزاست [۳]. برای داشتن یک دید کلی برخی از این خواص را بطور خلاصه بررسی می‌کنیم.

### ۱-۳-۱- جرم، بار و اندازه هسته

هسته از نوترون‌ها و پروتون‌ها تشکیل شده است، دو ذره‌ای که ۱۸۴۰ بار از الکترون سنگین‌تر هستند و بطور کلی به آنها نوکلئون گفته می‌شود. تعداد پروتون‌ها در هسته درست برابر با عدد اتمی ( $Z$ ) و تعداد کلی نوکلئون‌ها نزدیکترین عدد صحیح به جرم اتمی آن هسته است، بنابراین تعداد نوترون‌ها برابر  $(A-Z)$  است. بعنوان مثال هسته ی سدیم،  $^{23}_{11}\text{Na}$  که عدد اتمی آن ۱۱ و وزن اتمی آن خیلی نزدیک به ۲۳ است، ۱۱ پروتون و ۱۲ نوترون دارد. جرم هسته تقریباً برابر با جرم اتم است که برای به‌دست آوردن آن بر حسب کیلوگرم کافی است جرم اتمی را بر عدد آووگادرو ( $6.03 \times 10^{26}$ ) تقسیم کنیم [۴]. آزمایش‌های دقیق با بهره‌گیری از پراکندگی ذرات هسته‌ای و الکترون‌ها، نشان داده‌اند که شعاعی که در آن آثار هسته‌ای ظاهر می‌شود از رابطه‌ی تقریبی زیر به دست می‌آید:

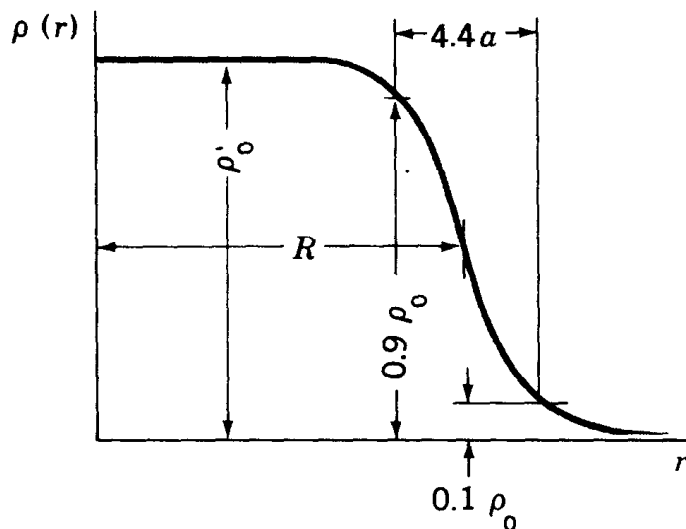


$$R = R_0 A^{1/3} \quad (1-1)$$

که در آن  $R_0$  موسوم به " ثابت شعاع " است و مقدار آن برای پراکندگی ذرات هسته‌ای از هسته‌ها  $14$  فرمی و برای پراکندگی الکترون از هسته‌ها  $12$  فرمی است. علت اختلاف بین این دو مقدار چنین است: در پراکندگی الکترون، ما موضع بارهای مثبت (نقطه‌ای) مربوط به پروتون‌های هسته را تعیین می‌کنیم، و حال آنکه در پراکندگی ذرات هسته‌ای اندازه‌ی مربوط به ناحیه‌ی ایجاد کننده‌ی نیروی هسته‌ای را که بر ذره اثر می‌گذارد تعیین می‌کنیم. این مطلب می‌رساند که نیروی هسته‌ای از ناحیه‌ای که مربوط به بار (یا جرم) است فراتر می‌رود و هسته را بزرگتر از آنچه که هست جلوه می‌دهد. گسترش نیرو به ورای توده‌ی هسته‌ای حدود یک فرمی است که به وسیله‌ی برد نیروی هسته‌ای تعیین می‌شود [۳]. آزمایش‌هایی برای تعداد زیادی از هسته‌ها با استفاده از الکترون‌های فرودی در انرژی‌های مختلف انجام شده که نشان می‌دهند توزیع چگالی هسته‌ای دارای یک لبه‌ی تیز در شعاع  $R$  نیست. تمام نتایج بدست آمده تقریباً با تابع توزیع بار زیر قابل توجیه‌اند

$$\rho(r) = \frac{\rho_0}{1 + \exp[(r - R)/a]} \quad (2-1)$$

ترسیمی از تابع (۲-۱) در شکل (۱-۱) به نمایش درآمده است و معنی فیزیکی پارامترهای مختلف در آن مشخص شده است. همانطور که مشاهده می‌شود  $\rho_0$  چگالی نوکلئون در نزدیکی مرکز هسته است،  $R$  فاصله‌ای است که در آن چگالی هسته به نصف مقدارش در مرکز تقلیل می‌یابد و  $a$  ضخامت سطحی هسته را نشان می‌دهد چنان که فاصله‌ای که در آن چگالی از نود درصد  $\rho_0$  به ده درصد  $\rho_0$  تقلیل می‌یابد برابر با  $4.4a$  است [۴].



شکل (۱-۱) منحنی رابطه ی (۲-۱) برای  $\rho(r)$  بر حسب  $r$

### ۱-۳-۲- انرژی بستگی

انرژی متناظر به جرم هر نوکلید،  $m_N c^2$ ، عبارت است از حاصل تفریق انرژی جرم اتمی آن نوکلید،

$m_A c^2$ ، و انرژی جرمی  $Z$  الکترون و انرژی بستگی الکترونی کل آن

$$m_N c^2 = m_A c^2 - Z m_e c^2 + \sum_{i=1}^Z B_i \quad (۳-۱)$$

که در آن  $B_i$  انرژی بستگی  $i$ امین الکترون است. انرژی بستگی الکترونی در اتم های سنگین از مرتبه

۱۰ تا ۱۰۰ کیلو الکترون ولت است، در حالیکه انرژی جرم اتمی از مرتبه ی  $A \times 1000 \text{ MeV}$  است. بنابراین

با دقت حدود یک قسمت در میلیون می توان از آخرین جمله ی (۳-۱) صرف نظر کرد.

انرژی بستگی  $B$  یک هسته عبارت است از اختلاف انرژی بین جرم هسته ی  ${}^A_Z X_N$  و جرم کل پروتونها ( $Z$ )

پروتون) و نوترونهای تشکیل دهنده ی آن ( $N$  نوترون)

$$B = \left\{ Z m_p + N m_n - \left[ m({}^A_Z X) - Z m_e \right] \right\} c^2 \quad (۴-۱)$$

که در آن شاخص پایین جرم اتمی  $m_A$  را حذف کرده‌ایم. اگر مجموع جرم  $Z$  پروتون و  $Z$  الکترون را بصورت جرم  $Z$  اتم خنثای هیدروژن در نظر بگیریم، معادله ی (۴-۱) چنین می شود [۱]

$$B = [Zm(^1H) + Nm_n - m(^AX)]c^2 \quad (۵-۱)$$

با توجه به اینکه جرم‌ها معمولاً برحسب یکای جرم اتمی بیان می شوند، بهتر است که ضریب تبدیل  $c^2$  را به صورت  $c^2 = 931.50 \text{ MeV/u}$  وارد کنیم. انرژی بستگی در واقع معرف کاری است که باید انجام داد تا هسته را به نوکلئون‌های جدا از هم تجزیه کرد [۳]. در فصل آخر انرژی بستگی یک هسته‌ی سه نوکلئونی (تریتون) را از طریق حل معادله شرودینگر محاسبه خواهیم کرد.

### ۱-۳-۳- تکانه‌ی زاویه‌ای هسته‌ها و پارینته

تا آنجا که پتانسیل هسته‌ای را مرکزی بگیریم،  $\mathbf{L}$  (اندازه حرکت زاویه ای مداری) و  $\mathbf{S}$  (اسپین) و بنابراین  $\mathbf{J}$  (اندازه‌ی حرکت زاویه‌ای کل) از جمله ثابت‌های حرکت خواهند بود. به زبان مکانیک کوانتومی می‌توانیم هر نوکلئونی را با اعداد کوانتومی  $l, s$  و  $j$  مشخص کنیم. در این صورت، تکانه‌ی زاویه‌ای کل هسته ای که شامل  $A$  نوکلئون باشد از جمع برداری تکانه‌های زاویه‌ای همه‌ی نوکلئون‌های آن به دست می‌آید. این تکانه‌ی زاویه‌ای کل را معمولاً اسپین هسته می نامند و با نماد  $I$  نشان می‌دهند. تکانه‌ی زاویه‌ای  $I$  تمامی خواص بردارهای تکانه زاویه‌ای را که در مکانیک کوانتومی متداول اند، داراست

$$I_z = m\hbar, (m = -I, \dots, +I) \quad \text{و} \quad \mathbf{I}^2 = \hbar^2 I(I+1) \quad (۶-۱)$$

در بسیاری از اثرات مربوط به تکانه زاویه‌ای، رفتار هسته به گونه‌ای است که گویی با یک جسم منفرد با تکانه زاویه‌ای ذاتی  $I$  سروکار داریم. برای نمونه، در میدان‌های مغناطیسی معمولی با مشاهده‌ی شکافتگی حالت  $I$  به تعداد  $(2I+1)$  زیر حالت  $(m = -I, -I+1, \dots, I-1, I)$  می‌توانیم اثر هسته‌ای زیرمان را تجربه کنیم (در اینجا اسپین هسته را با نماد  $I$  و تکانه زاویه‌ای کل یک نوکلئون منفرد را با نماد  $j$  نشان

می‌دهیم). اغلب با مواردی روبرو می‌شویم که تمام خواص هسته را یک تک ذره‌ی ظرفیت تعیین می‌کند؛ در این حالت داریم  $\mathbf{I} = \mathbf{j}$ . در موارد دیگر، ممکن است لازم باشد که دو ذره‌ی ظرفیت را در نظر بگیریم. در این گونه حالتها داریم  $\mathbf{I} = \mathbf{j}_1 + \mathbf{j}_2$  که در آن برآیند  $I$  می‌تواند چند مقدار مختلف داشته باشد. در پاره‌ای از موارد، ذره‌ی منفرد و قلب حاصل از نوکلئون‌های باقیمانده هردو باهم در تکانه زاویه‌ای کل هسته سهم دارند، یعنی  $\mathbf{I} = \mathbf{j}_p + \mathbf{j}_c$  می‌شود که در آن  $\mathbf{j}_p$  تکانه ذره‌ی منفرد و  $\mathbf{j}_c$  تکانه قلب نوکلئون‌های باقیمانده است. در هسته‌های با  $A$  ی فرد  $I$  مقداری نیم درست و در هسته‌های با  $A$  ی زوج  $I$  مقداری درست دارد.

برای مشخص کردن حالات هسته، علاوه بر اسپین هسته از پاریته نیز استفاده می‌شود. پاریته می‌تواند دارای مقادیر مثبت (زوج) یا منفی باشد. اگر تابع موج تک‌تک نوکلئون‌های موجود در هسته را می‌شناختیم، از حاصلضرب پاریته‌های تمامی  $A$  نوکلئون می‌توانستیم پاریته‌ی هسته را به صورت  $\pi$  مثبت یا منفی ( $\pi = \pi_1 \pi_2 \dots \pi_A$ ) به دست آوریم. پاریته‌ی هسته را به صورت شاخص بالای اسپین هسته و با علامت + یا - نشان می‌دهیم و می‌نویسیم  $I^\pi$ . برای مثال می‌نویسیم  $0^+$ . هیچگونه رابطه‌ی نظری مستقیمی بین  $I$  و  $\pi$  وجود ندارد و در نتیجه برای هر مقداری از  $I$  علامت  $\pi$  می‌تواند مثبت یا منفی باشد [۱].

### ۱-۳-۴ - حالات پایه و برانگیخته‌ی هسته

هر هسته دارای حالتی با کمترین انرژی به نام حالت پایه است. حالت‌های با انرژی بالاتر را حالت‌های برانگیخته می‌نامیم. اطلاعات زیادی در مورد نیروهای هسته‌ای را می‌توان از بررسی هسته‌ها در حالت پایه‌ی آنها، مستقل از اینکه هسته‌ها پایدار بوده یا امکان واپاشی پرتوزا را داشته باشند، بدست آورد [۳]. این همان کاری است که ما در فصل‌های بعدی به دنبال انجام آن هستیم. همچنین از بررسی

حالت‌های برانگیخته‌ی هسته ای نیز می‌توانیم تا حدودی ساختار هسته‌ها را بشناسیم. حالت‌های برانگیخته‌ی هسته هم مانند حالت‌های برانگیخته‌ی اتمی ناپایدارند و سریعاً به حالت پایه برمی‌گردند. برانگیختگی اتم‌ها در اثر جابجا کردن الکترون‌ها و رساندن آنها به مدارهای انرژی بالاتر صورت می‌گیرد. همین کار را برای نوکلئون‌های موجود در هسته نیز می‌توان انجام داد. بدین ترتیب، به کمک حالت‌های برانگیخته می‌توان برخی خصوصیات مدارهای نوکلئونی را در هسته‌ها نشان داد [۱].

### ۱-۴- انرژی نوکلئون‌ها در هسته

در این قسمت لازم است که مرتبه‌ی بزرگی انرژی نوکلئون‌ها در هسته را تعیین کنیم. انرژی پرتوهای بتا و گاما که از هسته‌ها گسیل می‌شوند معمولاً در حدود  $1 \text{ MeV}$  است، اما این فرایندها حاصل گذار نوکلئون‌ها از یک تراز به تراز دیگرند و انرژی آنها برابر با تفاوت انرژی بین دو تراز است، بنابراین انرژی واقعی نوکلئون باید از این مقدار خیلی بیشتر باشد. یکی از روش‌های حل این مسئله عبارت است از محاسبه‌ی انرژی الکترواستاتیک ( $E_c$ ) لازم برای وارد کردن یک پروتون به داخل هسته. این انرژی به طور تقریبی برابر است با

$$E_c = \frac{Ze^2}{4\pi\epsilon_0 R} \quad (7-1)$$

که برای هسته ای میان-جرم ( $Z=50, A=120$ )، مقدار آن به قرار زیر است

$$E_c = \frac{50(1.6 \times 10^{-19})^2 C^2}{4\pi(8.9 \times 10^{-12})(C^2 / N.m^2)1.07 \times 120^{1/3} \times 10^{-15} m} \frac{1J}{1N.m} \frac{1eV}{1.6 \times 10^{-19} J} = 13 \times 10^6 eV = 13 \text{ MeV} \quad (8-1)$$

که  $C$  و  $N$  به ترتیب علامت یکاهای کولن و نیوتون هستند. این مقدار انرژی کولنی در صورتیکه یک پروتون بتواند از هسته خارج شود، آزاد خواهد شد. ولی با وجود این در حالت عادی، پروتون ها از هسته بیرون نمی آیند. این بدان معنی است که پروتون با انرژی بیشتری به هسته مقید است. با این بحث ساده می توانیم نتیجه بگیریم که عموماً انرژی نوکلئون ها از مرتبه ی بزرگی  $10 \text{ MeV}$  است. از آنجا که سرعت یک نوکلئون با انرژی  $10$  مگاالکترون ولت فقط  $15$  درصد سرعت نور است، می توان نتیجه گرفت که استفاده از نسبیت در مورد حرکت نوکلئون ها الزامی نیست و به آسانی می توان روابط نانبسیتی را در مورد جرم، سرعت، تکانه و انرژی به کار برد [۴].

## ۱-۵- مدل های هسته ای

برای بررسی هسته ها معمولاً یک نظریه ی فوق العاده ساده را که از لحاظ ریاضی بدون مشکل و از لحاظ فیزیکی غنی باشد، انتخاب می کنند. اگر این نظریه در توصیف دستکم چند خاصیت هسته ای نسبتاً موفق باشد، آنگاه با افزودن جمله های اضافی آن را تکمیل می کنند. بدین ترتیب یک مدل هسته ای ساخته می شود، یعنی چشم انداز ساده ای از ساختار هسته ای که متضمن خصوصیات اصلی فیزیک هسته هاست [۱].

مدل های هسته ای اساساً در دو طبقه ی کلی جای می گیرند. در مدل های طبقه ی اول فرض می شود که نوکلئون ها در درون هسته قویاً با یکدیگر برهم کنش دارند و در محدوده ی آنها مسیر آزاد بسیار کوچک است. این موقعیت شبیه آنچه در مولکول های مایع مشاهده می شود است. مدل قطره مایعی در این طبقه جای می گیرد. اینها مدل های جمعی نامیده می شوند و به بررسی پدیده هایی می پردازند که در آنها به هسته به عنوان یک مجموعه نگاه می شود. در طبقه ی دیگر مدل های ذره مستقل هستند که در آنها فرض بر این است که اصل پائولی تعداد برخوردهای میان نوکلئون ها را در داخل ماده ی هسته ای محدود

می‌کند که این منجر به فضای آزاد بزرگتری می‌شود. انواع مختلف مدل‌های لایه‌ای در این طبقه جای می‌گیرند. امروزه بر این باوریم که هسته‌ها می‌توانند هر دو نوع پدیده‌های جمعی و ذره‌ی مستقل را بروز دهند و هر مدل می‌تواند سودمندی‌اش را در توضیح یک گروه خاص از خواص هسته‌ای بیابد [۵].

### ۱-۵-۱- مدل قطره مایعی<sup>۱</sup>

مدل بسیار ساده شده‌ای است که در آن از بعضی ویژگی‌های ظریف‌تر نیروهای هسته‌ای صرف‌نظر ولی بر جاذبه‌ی قوی بین نوکلئونی تاکید می‌گردد. این مدل را فون وایس زکر<sup>۲</sup> بر پایه‌ی مانستگی قطره‌ی مایع با ماده‌ی هسته‌ای، که توسط بوهر پیشنهاد شده بود، به دست آورد. فرض‌های اساسی در این مدل به قرار زیرند [۳]:

۱- هسته متشکل از ماده‌ی غیرقابل تراکم است، بطوری که  $R \sim A^{1/3}$ .

۲- نیروی هسته‌ای برای هر نوکلئون یکسان است و به خصوص به نوع آن که پروتون باشد یا نوترون بستگی ندارد.

۳- نیروی هسته‌ای اشباع می‌شود.

با در نظر گرفتن فرض‌های اساسی در این مدل می‌توان انرژی بستگی کل یک هسته را بصورت زیر نوشت

$$B_{tot}(A, Z) = a_v A - a_s A^{2/3} - a_c \frac{Z(Z-1)}{A^{1/3}} - a_s \frac{(N-Z)^2}{A} \pm \delta + \eta \quad (9-1)$$

$a_v A$  جمله‌ی حجمی است و بیان می‌کند که انرژی بستگی هسته با حجم آن رابطه‌ی مستقیم دارد.

$-a_s A^{2/3}$  جمله‌ی سطحی است. وجود این جمله بدان علت است که نوکلئون‌های سطحی تحت جاذبه‌ی

یکسان از اطراف خود قرار نمی‌گیرند و از این رو باید جمله‌ای متناسب با تعداد نوکلئون‌های سطحی یا متناسب با سطح هسته از انرژی بستگی هسته کم شود.

<sup>1</sup> Liquid-drop model

<sup>2</sup> Von Weizsacker

$-a_c \frac{Z(Z-1)}{A^{1/3}}$  جمله کولنی است و بیانگر این مطلب می باشد که نیروی دافعه کولنی که بین تمام جفت پروتون ها برقرار است، انرژی بستگی را کاهش می دهد.

$-a_s \frac{(N-Z)^2}{A}$  جمله ی انرژی عدم تقارن نامیده می شود. این جمله بیانگر آن است که انرژی بستگی یک هسته با  $N \neq Z$  همیشه نسبت به هسته ی ایزوبارش با  $N = Z$  کمتر است. در واقع انرژی عدم تقارن را می توان بصورت اختلاف انرژی بستگی یک هسته با اعداد نوترونی و پروتونی  $N$  و  $Z$  با انرژی ایزوباری که در آن اعداد نوترونی و پروتونی هردو مساوی  $A/2$  است، تعریف کرد.

$\pm \delta$  جمله ی انرژی زوجیت است که مقدار آن برای هسته های با  $A$  ی فرد برابر صفر می باشد. برای هسته های زوج-زوج علامت مثبت و برای هسته های فرد-فرد علامت منفی در نظر گرفته می شود. و در نهایت  $\eta$  جمله لایه ای است که فقط برای هسته هایی که در آن ها  $N$  یا  $Z$  یک عدد جادویی است دارای مقدار مثبت است.

ثابت های رابطه ی (۱-۹) را می توان توسط مقایسه با داده های تجربی موجود به دست آورد. چون برازش هیچ گاه کامل نیست، چندین مجموعه از ضرایب به کار می روند. یک نمونه از این مجموعه ها (بر حسب  $MeV$ ) عبارتست از [۳]

$$a_v = 14, \quad a_s = 13, \quad a_c = 60, \quad a_a = 19, \quad \delta = 34 / A^{3/4} \quad (10-1)$$

مدل قطره مایعی در توجیه برخی خواص هسته ها نظیر وجود اعداد جادویی ( که در بخش بعد معرفی خواهیم کرد ) ناتوان بود به همین علت پس از آن مدل های متعدد دیگری ارائه شده است.

## ۱-۵-۲- مدل لایه ای ( پوسته ای )

متخصصان فیزیک هسته ای به امید آنکه بتوانند به توصیف روشنی از خواص هسته ها دست



یابند، سعی کردند در بررسی ساختار هسته ای از نظریه‌ای مشابه با نظریه‌ی اتمی که با استفاده از مدل پوسته‌ای توانسته بود جزئیات ساختار اتم‌ها را به‌طور کامل توضیح دهد، استفاده کنند. تغییرات خواص اتمی (مانند شعاع یونی و انرژی یونش) در محدوده‌ی هر زیرلایه تدریجی و کم است درحالیکه وقتی از یک زیرپوسته به زیر پوسته‌ی دیگر می‌رویم تغییرات خواص، ناگهانی و زیاد است. وجود چنین رفتاری در خواص هسته‌ای (از جمله پایداری هسته، انرژی جدایی نوترون و پروتون، سطح مقطع واکنش و...) شاهدی تجربی بر وجود لایه‌های هسته‌ای است. بطور مثال انرژی جدایی، مانند انرژی یونش در اتم‌ها، به استثنای موارد افت سریع در عبور از بعضی اعداد پروتونی و نوترونی یکسان، به تدریج با افزایش  $N$  یا  $Z$  افزایش می‌یابد. این اعداد پروتونی یا نوترونی هسته‌هایی که  $Z$  یا  $N$  آنها برابر ۲، ۸، ۲۰، ۲۸، ۵۰، ۸۲ و ۱۲۶ است و معرف اثرات اصلی پوسته‌های پرشده هستند را اعداد جادویی می‌گویند [۱]. اگر اعداد پروتونی یا نوترونی یکی از اعداد جادویی باشند، هسته از پایداری خاصی برخوردار است. به بیانی تخصصی‌تر، ویژگی‌های زیر قابل مشاهده است [۶].

- بزرگتر بودن انرژی بستگی کل هسته
- بزرگتر بودن انرژی جداسازی تک نوکلئون
- بزرگتر بودن انرژی پایین‌ترین حالات برانگیخته
- وجود تعداد زیاد ایزوبارها یا ایزوتون‌های با اعداد نوترونی یا پروتونی برابر با همان عدد جادویی

در مورد اتم‌ها پتانسیل حاکم را میدان کولنی هسته تأمین می‌کند، یعنی یک عامل خارجی زیر پوسته‌ها را سازمان می‌دهد. در این حالت معادله‌ی شرودینگر را با همین پتانسیل می‌توان حل کرد و انرژی زیرپوسته‌هایی را که الکترون‌ها می‌توانند در آن قرار گیرند محاسبه کرد. اما در مورد هسته هیچ عامل خارجی‌ای وجود ندارد، و نوکلئون‌ها در پتانسیلی که خودشان بوجود می‌آورند در حرکت هستند. پتانسیلی

که معمولاً برای مدل لایه ای در نظر گرفته می شود پتانسیل وودز-ساکسون<sup>۱</sup> است که اگر یک جمله‌ی موسوم به پتانسیل اسپین مدار هسته‌ای به آن اضافه شود با حل معادله‌ی شرودینگر برای آن می توان اعداد جادویی را در لایه‌های هسته‌ای بدست آورد.

### ۱-۵-۳- مدل گاز فرمی

این مدل بر این حقیقت استوار است که نوکلئون‌ها به دلیل اصل پائولی، تقریباً به طور آزادانه در داخل هسته حرکت می کنند. دو نوکلئون به طور همزمان نمی توانند یک حالت انرژی را اشغال کنند بنابراین پراکنده نمی‌شوند زیرا حالات نهایی که می‌توانند به آنها پراکنده شوند قبلاً توسط نوکلئون دیگری اشغال شده است. اما هنگامی که یک نوکلئون به سمت سطح هسته می رود و تلاش می‌کند که هسته را ترک کند، نیروی جاذبه‌ای را از طرف نوکلئون‌های پشت سرش احساس می‌کند که آن را به سمت داخل هسته می‌کشند. این نوکلئون در داخل هسته نیروی جاذبه‌ای را از طرف تمام نوکلئون‌های اطرافش احساس می‌کند که نتیجه‌ی یک نیروی خالص است که تقریباً برابر صفر می باشد. در این مدل می‌توانیم هسته را به صورت یک بالون تصور کنیم که در داخل آن نوکلئون‌ها آزادانه در حرکت‌اند اما ترازهایی با انرژی متفاوت را اشغال می کنند [۵].

### ۱-۵-۴- مدل های جمعی

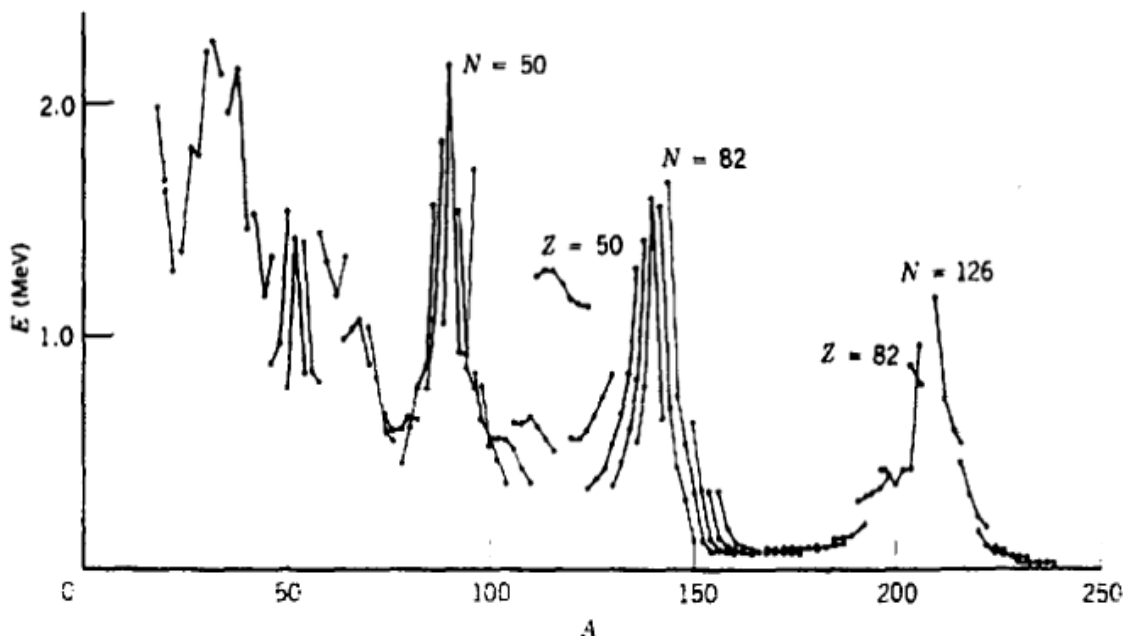
مدل قطره مایعی که بر آثار تعاونی بین نوکلئون های متعدد موجود در هسته تأکید می کرد، پیشقراول مدل های تجمعی ساختار هسته ای است [۳]. خواصی که منشأ اصلی آنها در حرکت دسته جمعی اجزای هسته ای است و بسیاری از نوکلئون های هسته در ایجادشان شرکت دارند، خواص جمعی نامیده می‌شوند. این نوع خواص هسته‌ها بر حسب عدد جرمی بطور ملایم و تدریجی تغییر می کند و اکثراً

---

<sup>1</sup> Woods-saxon potential

هم از تعداد و نوع نوکلئون‌های ظرفیت که خارج از زیر پوسته‌های کامل قرار دارند، مستقل است. به عنوان مثال در شکل (۲-۱) یک خاصیت هسته‌های زوج-زوج که ناشی از رفتار جمعی هسته‌ها هستند را مشاهده می‌کنیم. مطابق شکل به نظر می‌رسد که انرژی نخستین حالت برانگیخته  $2^+$  با افزایش  $A$  به تدریج کاهش می‌یابد (نواحی نزدیک به پوسته‌های کامل استثنا است)، درحالی‌که در ناحیه‌ی تقریبی  $A=150$  تا  $A=190$  هم فوق‌العاده ثابت‌اند و هم بسیار کوچک.

برای توضیح چنین خواصی باید دو نوع ساختار جمعی در نظر بگیریم، زیرا به نظر می‌رسد که یک دسته از خواص به هسته‌های  $A < 150$  و دسته‌ی دیگر به هسته‌های  $150 < A < 190$  مربوط می‌شوند. هسته‌های دسته‌ی اول عموماً به کمک مدل مبتنی بر ارتعاشات حول شکل تعادل کروی و هسته‌های دسته‌ی دوم با مدل مبتنی بر اثرات دورانی سیستم‌های غیرکروی بررسی می‌شوند. ارتعاش و دوران دو نوع اصلی حرکت جمعی در هسته‌هاست [۱].



شکل (۲-۱). انرژی نخستین حالت‌های  $2^+$  در هسته‌های زوج زوج [۱].



## فصل دوم

# نیروی هسته‌ای

## ۲-۱- مقدمه

می‌دانیم که هسته وجود دارد و از نوترون‌های بدون بار و پروتون‌های با بار مثبت تشکیل شده است. اگر تنها نیروی دافعه‌ی کولنی بر محیط هسته غالب باشد، وجود هسته ناممکن است. بنابراین فوراً می‌توان نتیجه گرفت که باید یک نیروی جاذبه‌ی قوی در هسته وجود داشته باشد که بر دافعه کولنی غلبه کرده و نوکلئون‌ها را به یکدیگر مقید گرداند. در نگاه اول، نیروی هسته‌ای یک نیروی مبهم است زیرا در مواد ماکروسکوپی آثار زیادی برای تشخیص آن وجود ندارد. در حقیقت ماهیت این نیرو هنوز تا حد زیادی ناشناخته است [۷].

در این فصل سعی داریم برخی از خواص اصلی نیروی هسته‌ای را از نظر بگذرانیم. اطلاعات در مورد این خواص از بررسی ساده‌ترین سیستم‌های مقید هسته‌ای، مانند دوترون، یا مطالعه‌ی پراکندگی‌های نوکلئون- نوکلئون حاصل شده‌اند. ما نیز این فصل را با بررسی مسأله دوترون آغاز می‌کنیم که خود پیش‌درآمدی بر مسئله‌ی سه ذره‌ای نیز محسوب می‌شود.

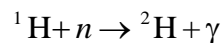
## ۲-۲- دوترون، ساده‌ترین سیستم مقید نوکلئون‌ها

هسته‌ی اتم دوتریوم  ${}^2_1\text{H}$  ( ایزوتوپ هیدروژن با تعداد یک نوترون ) دوترون نامیده می‌شود. این هسته دارای یک پروتون و یک نوترون است و بنابراین ساده‌ترین سیستم مقید ممکن متشکل از نوکلئون‌ها است و به همین دلیل سیستمی ایده‌آل برای مطالعه‌ی برهم‌کنش نوکلئون- نوکلئون به‌شمار می‌آید. این هسته هیچ نوع حالت برانگیخته‌ی مقیدی ندارد زیرا بستگی آن بسیار ضعیف است و حالت‌های برانگیخته‌ی آن فقط به صورت نوترون و پروتون آزاد ظاهر می‌شوند.

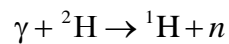
## ۲-۲-۱- انرژی بستگی

روش های تجربی مختلفی برای اندازه گیری انرژی بستگی دوترون وجود دارد که برخی از آنها عبارتند از:

- ۱) تعیین مستقیم جرم دوترون توسط طیف نمایی و سپس محاسبه ی انرژی بستگی از رابطه ی (۱-۵)
- ۲) نزدیک سازی یک پروتون و یک نوترون و تشکیل  ${}^2_1\text{H}$  و محاسبه ی انرژی بستگی دوترون با اندازه گیری انرژی فوتون گامای گسیل شده در این فرایند



- ۳) اندازه گیری کمینه ی انرژی پرتو گامایی که بتواند فرایند موسوم به تجزیه ی فوتونی دوترون را انجام دهد (این انرژی برابر انرژی بستگی دوترون است).



مقدار محاسبه شده ی انرژی بستگی دوترون از این روش ها با دقت خوبی برابر  $2.224$  مگا الکترون ولت است [۱]. با توجه به اینکه بستگی متوسط هر نوکلئون به هسته در حدود  $8$  مگا الکترون ولت است مشاهده می کنیم که دوترون بستگی بسیار ضعیفی دارد.

در مسئله ی دو جسمی، نوترون و پروتون با نیرویی که با پتانسیل  $V(\mathbf{r}_p - \mathbf{r}_n)$  نمایش داده می شود، برهم کنش می کنند. این مسئله تحت تبدیل مرکز جرم در مکانیک کلاسیک، به مسئله ی تک ذره در چاه پتانسیل  $V(r)$  تبدیل می شود که مختصات مؤثر تک ذره، یعنی  $r, \theta, \phi$  در حقیقت مختصات نوترون نسبت به پروتون (یا پروتون نسبت به نوترون) است و جرم تک ذره عبارت است از جرم کاهش یافته ی  $\mu = M_p M_n / (M_p + M_n)$  که برابر نصف جرم نوکلئون است [۴]. برای بررسی دوترون پتانسیل چاه مربعی به شعاع  $R$  را به عنوان پتانسیل هسته ای در نظر می گیریم

$$\begin{aligned}
 V(r) &= -V_0, & r < R \\
 &= 0 & r > R
 \end{aligned}
 \tag{۱-۲}$$

معادله‌ی شعاعی شرودینگر برای این سیستم بصورت زیر خواهد بود

$$\frac{-\hbar^2}{2\mu} \left( \frac{d^2}{dr^2} + \frac{2}{r} \frac{d}{dr} - \frac{l(l+1)}{r^2} \right) R(r) + V(r)R(r) = ER(r)
 \tag{۲-۲}$$

اگر بخش شعاعی تابع موج  $R(r)$  را به صورت  $\frac{u(r)}{r}$  در نظر بگیریم، با جانشینی در معادله (۲-۲) این معادله به شکل زیر در می آید

$$\frac{-\hbar^2}{2\mu} \left( \frac{d^2}{dr^2} - \frac{l(l+1)}{r^2} \right) u(r) + V(r)u(r) = Eu(r)
 \tag{۳-۲}$$

برای دوترون در پایین ترین حالت انرژی‌اش در اکثر اوقات مقدار  $l$  برابر صفر است. جواب این معادله در حالت  $l=0$  برای ناحیه‌ی  $r < R$  به صورت

$$u(r) = A \sin(k_1 r) + B \cos(k_1 r)
 \tag{۴-۲}$$

است که در آن  $k_1 = \sqrt{2\mu(E+V_0)}/\hbar$  است، و برای ناحیه‌ی  $r > R$  خواهیم داشت

$$u(r) = C e^{-k_2 r} + D e^{+k_2 r}
 \tag{۵-۲}$$

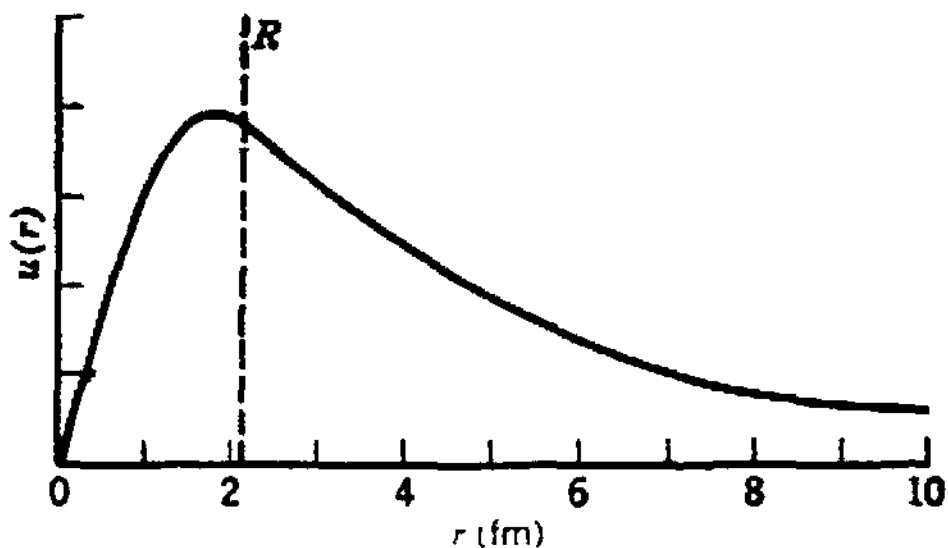
که در آن  $k_2 = \sqrt{-2mE}/\hbar$  است. شرط متناهی بودن تابع موج در بی نهایت ایجاب می کند که  $D=0$  باشد و شرط متناهی بودن تابع موج وقتی  $r \rightarrow 0$  باعث می شود که  $B=0$  شود. از پیوستگی  $u(r)$  و  $du/dr$  در  $r=R$  شرط زیر حاصل می شود که ارتباط میان  $V_0$  و  $R$  را نشان می دهد

$$k_1 \cot g(k_1 R) = -k_2
 \tag{۶-۲}$$

با قرار دادن مقدار تجربی ریشه‌ی میانگین مربعی شعاع دوترون  $R = 2.1 \text{ fm}$  در معادله‌ی (۶-۲) و حل عددی آن خواهیم داشت  $V_0 = 35 \text{ MeV}$  که برآوردی از عمق پتانسیل نوکلئون- نوکلئون است. حالت انرژی دوترون خیلی به لبه‌ی چاه نزدیک است. این یعنی اگر نیروی نوکلئون- نوکلئون فقط اندکی



ضعیف‌تر بود، حالت مقید دوترون نمی‌توانست وجود داشته باشد. تابع موج دوترون در شکل (۱-۲) نشان داده شده است [۱].



شکل (۱-۲). تابع موج دوترون برای  $R = 2.1 \text{ fm}$

## ۲-۲-۲- اسپین و پاریتته

تکانه‌ی زاویه‌ای کل (اسپین)  $I$  دوترون را می‌توان با روش‌های مختلف از جمله با استفاده از ساختار فوق‌ریز در طیف نمایی نوری اندازه‌گیری کرد. نتیجه‌ی بدست آمده عبارت است از  $I = 1$  [۴].

اسپین دوترون برابر است با حاصل جمع برداری دو تکانه‌ی زاویه‌ای مداری و اسپینی

$$\mathbf{I} = \mathbf{I} + \mathbf{S} \quad (۷-۲)$$

که تکانه‌ی زاویه‌ای اسپینی، خود حاصل جمع برداری اسپین‌های نوترون و پروتون است

$$\mathbf{S} = \mathbf{S}_p + \mathbf{S}_n = \left| \frac{1}{2} + \frac{1}{2} \right| = 1 \text{ یا } 0 \quad (۸-۲)$$

بنابراین می‌توان چهار حالت متصور شد که در آنها اسپین دوترون برابر یک می‌شود :

$$(۱) \quad \mathbf{S}_n \text{ و } \mathbf{S}_p \text{ موازی و } l=0$$

$$(۲) \quad \mathbf{S}_n \text{ و } \mathbf{S}_p \text{ پاد موازی و } l=1$$

$$(۳) \quad \mathbf{S}_n \text{ و } \mathbf{S}_p \text{ موازی و } l=2$$

$$(۴) \quad \mathbf{S}_n \text{ و } \mathbf{S}_p \text{ موازی و } l=1$$

از بررسی واکنش‌هایی که دوترون در آنها شرکت می‌کند، مشخص شده که پاریته دوترون زوج (مثبت) است و از آنجا که پاریته‌ی منتسب به حرکت مداری به صورت  $l(-1)^l$  است، بنابراین تنها حالات ممکن برای اسپین دوترون حالات (۱) و (۳) هستند که برای آنها به ترتیب  $l=0$  و  $l=2$  می‌باشد. بنابراین اسپین و پاریته‌ی دوترون با فرض  $l=0$ ، که در بخش قبل در نظر گرفتیم سازگار است، اما فرض  $l=2$  را نیز نمی‌توان منتفی دانست [۱].

### ۲-۲-۳- گشتاورهای دوقطبی مغناطیسی و چهار قطبی الکتریکی

در ساختار دو ذره‌ای، انتظار می‌رود گشتاور مغناطیسی کل برابر باشد با جمع برداری گشتاورهای مغناطیسی مربوط به اسپین و گشتاورهای مغناطیسی مربوط به حرکت مداری ذرات باردار. اگر فرض کنیم دوترون فقط در حالت  $l=0$  است، حرکت مداری سهمی در گشتاور مغناطیسی کل ندارد و گشتاور مغناطیسی به صورت زیر به دست می‌آید

$$\mu_d = \mu_p + \mu_n = 2.7925 \frac{e\hbar}{2M_p} - 1.9128 \frac{e\hbar}{2M_p} = 0.8797 \frac{e\hbar}{2M_p} \quad (۹-۲)$$

ولی نتیجه‌ی اندازه‌گیری تجربی گشتاور مغناطیسی دوترون چنین بوده است

$$\mu_d = 0.8574 \frac{e\hbar}{2M_p} \quad (۱۰-۲)$$

ساده‌ترین توجیه برای این اختلاف، قائل شدن حرکت مداری با  $l$  غیرصفر برای حالت پایه‌ی دوترون است.

شاهدی بهتر برای این نتیجه‌گیری از اندازه‌گیری گشتاور چهار قطبی الکتريکی دوترون به دست می‌آید. اگر دوترون فقط در حالت  $l=0$  باشد تابع موج آن فقط وابستگی شعاعی دارد و به  $\theta$  و  $\varphi$  وابسته نیست. این یعنی دوترون دارای توزیع بار متقارن کروی است و از آنجا که هسته‌هایی که از چنین توزیع باری برخوردار هستند، گشتاور چهار قطبی الکتريکی و گشتاورهای الکتريکی از درجه‌های بالاتر ندارند، انتظار داریم که گشتاور چهار قطبی الکتريکی دوترون صفر باشد. ولی مقدار اندازه‌گیری شده‌ی این گشتاور برای دوترون چنین است

$$Q_d = 2.82 \times 10^{-27} \text{ cm}^2 = 0.00288b \quad (11-2)$$

که هرچند کوچک، اما غیرصفر است. این موضوع نشان می‌دهد که تابع موج، یک تابع موج ساده‌ی  $l=0$  نیست و مخلوطی از مقادیر  $l$  می‌باشد. این امر با نتیجه‌ای که از گشتاور مغناطیسی گرفتیم توافق دارد. برای  $I=1$  و بیشینه مقدار  $S=1$  با توجه به رابطه‌ی (۲-۷)،  $l$  تنها می‌تواند ۰، ۱ و ۲ باشد. ولی به علت پایستگی پاریتته چون مقادیر زوج و فرد  $l$  نمی‌توانند در یک تابع موج یکجا حضور داشته باشند،  $l=1$  مجاز نیست. لذا سیستم دوترون کسری از زمان (حدود 0.94) را در حالت  $l=0$  و کسر دیگر (حدود 0.06) را در حالت  $l=2$  می‌گذراند [۴].

## ۲-۳- خواص عمومی نیرو و پتانسیل هسته‌ای

در این بخش برخی از خواص برهم‌کنش بین نوکلئون‌ها را به‌طور خلاصه شرح می‌دهیم [۱ و ۴].

## مرکزی بودن

ویژگی مشترک همه‌ی پتانسیل‌های هسته‌ای در بستگی انحصاری آنها به فاصله‌ی بین نوکلئونی  $r$  است. به این دلیل این عبارت مرکزی را به صورت  $V_c(r)$  نشان می‌دهیم.

## وابستگی به اسپین

وابستگی پتانسیل هسته‌ای به اسپین را می‌توان از عدم موفقیت در مشاهده‌ی حالت مقید تک پایه‌ی دوترون (یعنی حالت  $S=0$ ) نتیجه گرفت. بنابر این باید جمله‌ای به پتانسیل افزوده شود که به اسپین  $S_1$  و  $S_2$  نوکلئون‌ها بستگی داشته باشد. البته نیروی هسته‌ای باید متضمن بعضی از تقارن‌ها باشد، که باعث می‌شود همه‌ی ترکیب‌های  $S_1$  و  $S_2$  مجاز نباشند. وجود جملاتی مانند  $S_1$  و  $S_2$  یا ترکیبی از آنها  $AS_1 + BS_2$  در تابع پتانسیل موجب نقض تقارن نسبت به برگشت زمان می‌شود و بنابراین مجاز نیست. جملاتی مانند  $V(\mathbf{r})$  یا  $\mathbf{S}_1 \cdot \mathbf{S}_2$  که نسبت به برگشت زمان ناوردا هستند مجاز خواهند بود.

## تانسوری بودن

پتانسیل بین نوکلئونی شامل یک جمله‌ی غیرمرکزی، به نام پتانسیل تانسوری است. عمده ترین توجیه وجود نیروی تانسوری از مشاهده گشتاور چارقطبی در حالت پایه‌ی دوترون حاصل می‌شود. گفتیم که وجود گشتاور چارقطبی الکتریکی باعث می‌شود تابع موج دوترون، مخلوطی از حالت‌های مختلف  $l$  باشد. این تابع موج مخلوط را باید از پتانسیل‌های غیر مرکزی به وجود آورد. این نیروی تانسوری باید به جای  $V(r)$  به صورت  $V(\mathbf{r})$  باشد. برای یک نوکلئون منفرد، انتخاب یک جهت مشخص در فضا اختیاری است و تنها جهت مرجع برای نوکلئون جهت اسپین آن است و از این رو تنها جمله‌ای که می‌توان در نظر گرفت به صورت  $\mathbf{S} \cdot \mathbf{r}$  یا  $\mathbf{S} \times \mathbf{r}$  است که بردار مکان را با جهت اسپین ارتباط می‌دهد. با در نظر گرفتن

ملاحظات مربوط به ناوردایی تحت پاریتته، می توانیم بخش تانسوری مربوط به پتانسیل بین نوکلئونی را به صورت  $V_T(r)S_{12}$  در نظر بگیریم که در آن بستگی شعاعی نیرو و بزرگی آن را تأمین می کند و داریم

$$S_{12} = \frac{3(\mathbf{s}_1 \cdot \mathbf{r})(\mathbf{s}_2 \cdot \mathbf{r})}{r^2} - \mathbf{s}_1 \cdot \mathbf{s}_2 \quad (۱۲-۲)$$

### تقارن نسبت به جنس نوکلئون

این بدان معنی است که پس از تصحیح نیروی کولنی در سیستم پروتون- پروتون، فرقی بین برهم کنش پروتون - پروتون و برهم کنش نوترون- نوترون نیست. دلیل این امر آن است که طولهای پراکندگی و همچنین بردهای مؤثر در برهم کنش های pp و nn با هم مساوی است.

### استقلال از بار الکتریکی

این واقعیت که نیروی هسته‌ای برای نوکلئون‌های باردار ( پروتون ها ) و نوکلئون‌های بی‌بار ( نوترون ها ) یکسان است، یا به عبارت دیگر هر سه نیروی هسته‌ای nn، pp و pn با هم مساوی هستند، به استقلال از بار نیروی هسته‌ای معروف است. به این ترتیب، استقلال از بار شرطی قویتر از تقارن نسبت به جنس است.

### دافعه شدن در فواصل خیلی کوتاه

این نتیجه از بررسی کیفی چگالی هسته‌ای حاصل می شود. رشد هسته در اثر افزایش نوکلئون‌ها به صورتی است که چگالی مرکزی آن تقریباً ثابت می‌ماند، و از این رو باید عاملی وجود داشته باشد که از

تجمع و نزدیک شدن بیش از حد نوکلئون‌ها جلوگیری کند. در فاصله‌های حدود نیم فرمی نیروی بین نوکلئون‌ها به شدت دافعه است. اصطلاحاً می‌توانیم بگوییم که نوکلئون‌ها دارای مغزی سخت هستند.

### وابستگی به سرعت نسبی نوکلئون‌ها

نیروهای وابسته به سرعت یا تکانه را نمی‌توان با پتانسیل نرده‌ای نشان داد، اما با استفاده از جملات درجه‌ی اول  $\mathbf{P}$ ، درجه‌ی دوم  $\mathbf{P}$ ، و غیره که هرکدام از آنها با یک پتانسیل مشخصه  $V(r)$  متناظرند، می‌توان آنها را در نظر گرفت. یکی از صورت‌های قابل قبول این جمله که شامل توان‌های درجه اول  $\mathbf{P}$  می‌شود و نسبت به پارامتر و برگشت زمان ناورداست،  $V(r)(\mathbf{r} \times \mathbf{p}) \cdot \mathbf{S}$  است که در آن  $\mathbf{S} = \mathbf{s}_1 + \mathbf{s}_2$  اسپین کل دو نوکلئون مورد بررسی است. تکانه‌ی زاویه‌ای نسبی نوکلئون‌ها  $\mathbf{l} = \mathbf{r} \times \mathbf{p}$  است، در نتیجه این جمله به خاطر مشابهت با فیزیک اتمی جمله‌ی اسپین مدار نامیده می‌شود و به صورت  $V_{so}(r)\mathbf{l} \cdot \mathbf{s}$  نوشته می‌شود.

### ۲-۴- مدل نیروی تبادل

یکی از سازوکارهای موفق درباره‌ی نیروی نوکلئون- نوکلئون، سازوکار نیروی تبادل است. برای تأیید حضور نیروی تبادل در هسته‌ها، دو دلیل عمده در دست است. دلیل اول خاصیت اشباع نیروی هسته‌ای است. پشتوانه‌ی تجربی خاصیت اشباع، چگالی هسته‌ای نسبتاً ثابت و انرژی بستگی نسبتاً ثابت به ازای هر نوکلئون می‌باشد. یعنی وقتی از اجتماع چند نوکلئون یک هسته به وجود می‌آید، انرژی بستگی بین یک نوکلئون و بقیه‌ی هسته به سوی یک حد میل می‌کند، یا به عبارت دیگر به نظر می‌رسد که هر نوکلئون فقط تعداد کمی از همسایه‌های نزدیکش را جذب می‌کند، اما همین نوکلئون در فاصله‌های خیلی کوتاه همان همسایه‌های نزدیک خود را هم دفع می‌کند تا از نزدیکی بیش از حد آنها جلوگیری کند. همانطور که هنگامی که چند اتم با اشتراک گذاشتن چند الکترون، مولکول پایدار را تشکیل می‌دهند،

اگر بخواهیم اتم‌ها را به یکدیگر نزدیکتر کنیم، در اثر همپوشی پوسته‌های الکترونی پر یک نیروی دافعه‌ی قوی بین اتم‌ها به وجود می‌آید.

دلیل دوم آن است که سطح مقطع دیفرانسیلی پراکندگی  $n\pi$  در زوایای نزدیک به صفر در جهات رو به جلو دارای مقادیر بزرگ قله‌ای است و این نشانگر آن است که انتقال تکانه در برخورد بین ذرات فرودی و هدف کوچک است. اگر فرض کنیم که در طی برخورد، نوترون و پروتون جایشان را با هم عوض می‌کنند، مدل تبادل می‌تواند توضیح قانع‌کننده‌تری ارائه کند. این بدان معنی است که نوترونی که به طرف جلو حرکت می‌کند به پروتون تبدیل می‌شود و پروتونی که به عقب در حرکت است (در چارچوب مرکز جرم) به پروتون تبدیل می‌شود. در اینصورت از دیدگاه چارچوب آزمایشگاه، نوکلئون فرودی به صورت نوکلئونی نمایان می‌شود که به طرف جلو در حرکت است. چنین تحلیلی با برآورد زاویه‌ی انحراف کوچک در پراکندگی نوکلئون - نوکلئون که در بالا مطرح شد، سازگاری دارد.

بنابراین با استفاده از نیروی تبادل، هم خصوصیت اشباع نیروهای هسته‌ای و هم وجود قله‌ی بزرگ رو به عقب در پراکندگی  $n\pi$  را می‌توان توضیح داد. در مورد اول می‌گوییم برای آنکه نوعی پیوند اشباعی بین نوکلئون‌ها وجود داشته باشد باید بین آنها چیزی رد و بدل شود. در مورد دوم می‌گوییم که بین نوکلئون‌ها چیزی مبادله می‌شود که عملاً خصوصیت آنها را تغییر می‌دهد. بر اساس نظریه‌ی میدان، هر جسمی در فضا یک میدان نیرو ایجاد می‌کند و برهم‌کنش جسم دوم، نه مستقیماً با جسم اول بلکه فقط از طریق همین میدان صورت می‌گیرد. در واقع به طور دقیقتر بنا بر نظریه‌ی میدان‌های کوانتومی، جسم اول در فضای اطرافش یک میدان کلاسیک به وجود نمی‌آورد بلکه از خود کوانتوم میدان گسیل می‌کند. در این صورت جسم دوم می‌تواند این کوانتوم‌های میدان را جذب کند. بنابراین طبیعی است که آن چیزی را که در برهم‌کنش نوکلئون=نوکلئون مبادله می‌شود، کوانتوم میدان هسته‌ای در نظر بگیریم. فرض کنید که نوکلئون (N) ذره‌ای مانند X از خود گسیل می‌کند و نوکلئون دومی این ذره‌ی X را جذب می‌کند

$$N_1 \rightarrow N_1 + X$$

$$X + N_2 \rightarrow N_3$$

یک نوکلئون تنها در صورتی می‌تواند یک ذره با انرژی جرمی  $m_x c^2$  از خود گسیل کند و بدون نقض پایستگی انرژی همچنان به صورت نوکلئون باقی بماند که گسیل و جذب مجدد نوکلئون در چنان فاصله‌ی زمانی کوتاه  $\Delta t$  انجام گیرد که ما از نقض پایستگی انرژی مطلع نشویم. چون اصل عدم قطعیت توانایی ما را در اندازه‌گیری انرژی محدود می‌کند، اگر  $\Delta t < \hbar / m_x c^2$  باشد، ما از نقض پایستگی انرژی به میزان  $\Delta E = m_x c^2$  مطلع نخواهیم شد. بیشینه‌ی برد نیرو را بیشینه‌ی فاصله‌ای که ذره‌ی  $X$  می‌تواند در زمان  $\Delta t$  طی کند، تعیین می‌کند. اگر سرعت ذره را از مرتبه‌ی  $c$  بگیریم، حداکثر برد ذره  $R$  چنین می‌شود

$$R = c\Delta t = \frac{\hbar c}{m_x c^2} = \frac{200 \text{ MeV} \cdot \text{fm}}{m_x c^2} \quad (12-2)$$

از این معادله روشن است که اگر برد نیروی هسته‌ای در حدود  $1 \text{ fm}$  باشد، انرژی جرمی ذره‌ی تبدالی باید در حدود  $200 \text{ MeV}$  باشد. ذرات تبدالی حامل نیروی هسته‌ای را مزون می‌نامند. سبکترین مزون‌ها را که مزون  $\pi$  یا پیون نامیده می‌شوند عامل آن قسمت از پتانسیل نوکلئون-نوکلئون که برد بلندتر (از  $1.0$  تا  $1.5 \text{ fm}$ ) دارد، می‌دانیم. برای آن که انواع تبادل‌های لازم در سیستم دو نوکلئونی امکان پذیر باشد، باید سه نوع پیون با بارهای الکتریکی  $+1$ ،  $0$  و  $-1$  وجود داشته باشند. پیون‌ها اسپین صفر دارند و انرژی سکون آنها معادل  $139.6 \text{ MeV}$  (برای  $\pi^\pm$ ) و  $135.0 \text{ MeV}$  (برای  $\pi^0$ ) است [۱].



## ۲-۵- نیروهای چند جسمی

تا اینجا به طور ضمنی فرض کرده ایم که نیروی هسته ای نیرویی دو جسمی است. اگر سه نوکلئون مانند  $A$ ،  $B$  و  $C$  نزدیک یکدیگر باشند نیروهای اعمال شده بر  $A$ ،  $F_{AB} + F_{AC}$  هستند که اگر  $C$  وجود نمی داشت  $F_{AB}$  نیروی میان  $A$  و  $B$  بود و هرگاه  $B$  وجود نمی داشت  $F_{AC}$  نیرویی میان  $A$  و  $C$  می شد. این مسلماً نحوه ی رفتار نیروهای الکترومغناطیسی و گرانشی است. از دیدی که از نیروهای حاصل از تبادل مزون ها داریم چنین بر می آید که تبادل های مزونی فقط میان جفت ها عمل می کند، ولی فوراً در می یابیم تبادل های دیگری نیز وجود دارند. برای مثال هنگامی که دو نوکلئون حضور دارند و یکی از نوکلئون ها دو مزون گسیل می کند، هر دو مزون باید جذب نوکلئون دیگر شوند، ولی هرگاه دو نوکلئون دیگر علاوه بر نوکلئون اول حضور داشته باشند، دو مزون گسیل شده می توانند جداگانه جذب هر یک از دو نوکلئون شوند. این امر منجر به نیروی سه جسمی می شود، نیرویی که دیگر تعریف بالا از نیروی دو جسمی برای آن برقرار نیست. از آنجا که باید مزون های زیادی به طور همزمان در این فرایندها ایجاد شوند، این خود ایجاب می کند که برد نیروها با افزایش تعداد جسم ها کاهش یابد. به تقریب برد نیروهای دو، سه، چهار، و پنج جسمی به ترتیب حدود 1.4، 0.7، 0.47، و 0.35 fm است. به علت نیروی دافعه ی قوی، نوکلئون ها تقریباً هیچ گاه از حدود نیم فرمی به یکدیگر نزدیک تر نمی شوند. بنابراین می توان انتظار داشت که نیروی دو جسمی در تعیین ساختار هسته از اهمیت زیادی برخوردار است و نیروهای چهار جسمی و بیشتر بی اهمیت خواهند بود. لذا مهم ترین نیروی چند جسمی که لازم است به آن توجه کنیم، نیروی سه جسمی است. این نیرو در سیستم هایی که شامل سه نوکلئون هستند مطالعه می شود [۴].

برای مثال تریتون، ( هسته ی تریتیوم ) از یک پروتون و دو نوترون تشکیل شده است. می توان گفت که یک نیروی دو جسمی بین نوکلئون های ۱ و ۲، نوکلئون های ۲ و ۳ و نوکلئون های ۱ و ۳ وجود دارد. اگر پس از در نظر گرفتن مجموع برهم کنش ها بین این سه جفت نوکلئون و همچنین منظور کردن هر

جمله‌ی تک جسمی ممکن، هنوز نیروی بررسی نشده‌ای در سیستم وجود داشته باشد، آنگاه می‌توانیم بگوییم یک نیروی سه جسمی بین نوکلئون‌ها برقرار است. شواهد نشان می‌دهند که این نیرو، اگر وجود داشته باشد، باید خیلی ضعیف تر از نیروی دوجسمی باشد. دانش نظری و داده‌های تجربی اثر نیروهای سه جسمی را در هسته مشخص کرده اند [۸].

## ۲-۶- پتانسیل های هسته ای

برهم کنش نوکلئون- نوکلئون همواره به سه بخش تقسیم می گردد [۹]:

۱- بخش بلند برد<sup>۱</sup> ( $r \geq 2fm$ ) : در بسیاری از مدل ها این بخش به شکل پتانسیل تبادل تک پیونی (OPEP)<sup>۲</sup> در نظر گرفته می شود و به عنوان یک دنباله به سایر قسمت‌های پتانسیل افزوده می گردد.

۲- بخش میان برد<sup>۳</sup> ( $1fm \leq r \leq 2fm$ ) : که ناشی از تبادل‌های تک مزونی و به طور ویژه تبادل مزون های نرده ای است (دو پیون یا مزون های سنگین تر)

۳- بخش کوتاه برد<sup>۴</sup> ( $r \leq 1fm$ ) : که همواره با تبادل مزون های برداری همراه است ( مزون های سنگین و تبادل های چند پیونی )

تاکنون پتانسیل‌های مختلفی برای توصیف برهم کنش نوکلئون‌ها با در نظر گرفتن بخش‌های مختلف ذکر شده، ارائه گردیده که از آن جمله می‌توان به پتانسیل های یوکاوا، وودز ساکسون، هولسن، هامادا جانسون، راید و ... اشاره کرد. در فصل‌های بعدی ضمن توصیف خواص پتانسیل یوکاوا سعی می‌کنیم به کمک حل معادله شرودینگر برای آن حالت‌های مقید سیستم سه نوکلئونی را به دست آوریم.

---

<sup>1</sup> Long range part

<sup>2</sup> One Pion Exchange Potential

<sup>3</sup> Medium range part

<sup>4</sup> Short range part

## فصل سوم

# فضای فوق‌کروی

از میان روش‌های مختلف مطالعه‌ی معادله‌ی موج برای سیستم‌های سه ذره‌ای (مانند سه کوآرک، سه اتم، سه نوکلئون و ...) روش بسط هماهنگ‌های فوق‌کروی<sup>۱</sup> (HHEM) به طور ویژه‌ای مورد توجه قرار گرفته است [۱۰]. باید توجه شود که این روش، ابزاری جهت دستیابی به معادله‌ی شرودینگر چند جسمی برای هنگامی است که تابع موج کل برحسب مجموعه‌ی کاملی از پایه‌های فوق‌کروی بسط داده شده است [۱۱]. حتی نیروهای چند جسمی نیز که ساختار بسیار پیچیده‌ای دارند در غالب هماهنگ‌های فوق‌کروی قابل معرفی و بررسی هستند [۱۲]. میزان همگرایی روش بسط هماهنگ‌های فوق‌کروی برای پتانسیل‌های مختلف در پژوهش‌های فراوانی از جمله پژوهش‌های ارن<sup>۲</sup> و همکاران [۱۳] مورد مطالعه قرار گرفته است. در این فصل توصیف نسبتاً جامعی از فضای فوق‌کروی ارائه خواهیم داد و فرم معادله‌ی شرودینگر برای سیستم سه نوکلئونی را در این فضا به دست می‌آوریم و در فصل بعد به معرفی و بررسی روش‌های عددی می‌پردازیم که به کمک آنها می‌توان این معادله را حل کرد.

### ۳-۲- مختصات ژاکوبی<sup>۳</sup> و فضای فوق‌کروی

در بررسی حرکت نوکلئون‌ها در هسته، استفاده از مختصات ژاکوبی که برای مطالعه‌ی سیستم‌های چندجسمی مور توجه قرار دارد، انتخاب مفیدی است. در این مختصات برای یک سیستم  $A$  ذره‌ای می‌توان  $N = A - 1$  بردار ژاکوبی و در نتیجه  $3N$  مختصه‌ی ژاکوبی را تعریف کرد. هر بردار ژاکوبی در واقع مرکز جرم یک زیر سیستم را به یکی از ذرات باقیمانده وصل می‌کند [۱۴].  $N$  بردار

<sup>۱</sup> Hyperspherical Harmonics Expansion Method

<sup>۲</sup> Erens

<sup>۳</sup> Jacobi coordinates

ژاکوبی  $\xi_i (i=1, \dots, N)$  که ترکیبات خطی از  $\mathbf{r}_i$  ها بردار مکان ذره  $i$  ام نسبت به مبدأ است) هستند  
به شکل زیر تعریف می گردند

$$\xi_1 = (\mathbf{r}_2 - \mathbf{r}_1)$$

$$\xi_2 = \sqrt{\frac{4}{3}} \left( \mathbf{r}_3 - \frac{\mathbf{r}_1 + \mathbf{r}_2}{2} \right)$$

و به همین ترتیب برای  $j$  امین بردار داریم

$$\xi_j = \sqrt{\frac{2j}{j+1}} \left( \mathbf{r}_{j+1} - \frac{\mathbf{r}_1 + \mathbf{r}_2 + \dots + \mathbf{r}_j}{j} \right) = \sqrt{\frac{2j}{j+1}} \left( \mathbf{r}_{j+1} - \frac{1}{j} \sum_{i=1}^j \mathbf{r}_i \right) \quad (1-3)$$

در واقع  $\xi_1$  بردار مکان ذره (۲) نسبت (۱)،  $\xi_2$  بردار مکان ذره (۳) نسبت به مرکز جرم ذرات (۱) و (۲) و  
به همین ترتیب  $\xi_i$  بردار مکان ذره  $i$  ام نسبت به مرکز جرم دستگاه متشکل از  $i-1$  ذره ی قبلی است.

با تعریف بردار مرکز جرم به صورت زیر

$$\mathbf{R} = \frac{1}{A} (\mathbf{r}_1 + \mathbf{r}_2 + \dots + \mathbf{r}_A) = \frac{1}{A} \sum_{i=1}^A \mathbf{r}_i = \frac{1}{N+1} \sum_{i=1}^{N+1} \mathbf{r}_i \quad (2-3)$$

می توان روابط (۱-۳) را به شکل زیر نوشت

$$\xi_1 = 2(\mathbf{r}_2 - \mathbf{R}) \quad (3-3)$$

$$\xi_2 = \sqrt{3}(\mathbf{r}_3 - \mathbf{R})$$

⋮

$$\xi_j = \sqrt{\frac{2(j+1)}{j}} (\mathbf{r}_{j+1} - \mathbf{R})$$

در بحث مدل لایه‌ای اشاره کردیم که پتانسیل هسته‌ای به وسیله‌ی خود نوکلئون‌ها به وجود می‌آید و عوامل خارجی در ایجاد آن نقشی ندارند، بنابراین چون با نیروهای داخلی سروکار داریم می‌توانیم با قرار دادن مرکز جرم در مبدأ مختصات ( استفاده از دستگاه مرکز جرم در مسأله )، 3 مختصه‌ی مربوط به مرکز جرم را حذف کرده و با  $3A-3$  مختصه‌ی باقیمانده که در واقع همان ابعاد  $D$  فضای ما را تشکیل می‌دهند کار کنیم.

در این مختصات ابر شعاع<sup>1</sup>  $x$  به صورت زیر تعریف می‌شود که نشان دهنده‌ی فاصله‌ی بین ذره‌ای  $D$  بعدی است.

$$x = \left[ \sum_{i=1}^N \xi_i^2 \right]^{\frac{1}{2}} = \left[ 2 \sum_{i=1}^A (\mathbf{r}_i - \mathbf{R})^2 \right]^{\frac{1}{2}} = \left[ \frac{2}{A} (\mathbf{r}_{12}^2 + \mathbf{r}_{23}^2 + \dots + \mathbf{r}_{1A}^2) \right]^{\frac{1}{2}} \quad (4-3)$$

در واقع معرفی ابرشعاع به این معنی است که ما در ادامه قصد داریم از مختصات کروی استفاده کنیم زیرا هسته دارای شکلی تقریباً کروی است. در اینجا اضافه کردن پیشوند «فوق» اشاره به فضای بیش از سه بعد دارد [۱۵]. در تبدیل بردارهای ژاکوبی به مختصات فوق کروی از  $D=3N$  مختصه،  $2N$  مختصه به زوایای قطبی و سمتی مربوط به  $N$  بردار ژاکوبی،  $N-1$  مختصه فوق زاویه و یک مختصه باقیمانده ابرشعاع است [۱۱]. پس غیر از ابر شعاع  $3N-1$  مختصه‌ی دیگر وجود دارند که می‌توان آنها را در یک نمایش واحد به صورت زیر نشان داد

$$\Omega = \Omega(\theta_1, \theta_2, \dots, \theta_{D-1}) \quad (5-3)$$

$\Omega$  در این رابطه در واقع نماد کلی نشان دهنده‌ی مجموعه‌ای از  $3N-1$  زاویه و فوق زاویه است [۱۶] که فوق زوایا از  $\theta_{2N+1}$  شروع می‌شوند. همچنین در نمایش جدید ابر شعاع به صورت (۶-۳) است

---

<sup>1</sup> Hyperradius

$$x = \left[ \sum_{i=1}^D x_i^2 \right]^{\frac{1}{2}} \quad (6-3)$$

$x_i$  ها تعداد  $D$  مولفه‌ی فضایی متعلق به  $N$  بردار ژاکوبی  $\xi_i$  هستند و از طریق رابطه‌ی زیر به ابر شعاع و زوایای  $\theta_i$  مربوط می‌شوند [۱۷]

$$x_1 = x \sin \theta_1 \sin \theta_2 \cdots \sin \theta_{D-1}$$

$$x_2 = x \cos \theta_1 \sin \theta_2 \sin \theta_3 \cdots \sin \theta_{D-1}$$

⋮

$$x_i = x \cos \theta_{i-1} \sin \theta_i \sin \theta_{i+1} \cdots \sin \theta_{D-1}$$

⋮

$$x_{D-1} = x \cos \theta_{D-2} \sin \theta_{D-1}$$

$$x_D = x \cos \theta_{D-1} \quad (7-3)$$

که در آن داریم

$$D = 3, 4, 5, \dots, \quad 0 < x < \infty \quad (8-3)$$

و با توجه به (۷-۳) اندازه‌ی زوایا از رابطه

$$\tan \theta_i = \left[ \sum_{j=1}^i x_j^2 \right]^{1/2} / x_{i+1} \quad (i = 1, 2, \dots, D-1) \quad (9-3)$$

قابل محاسبه خواهد بود.

### ۳-۳- لاپلاسی سیستم و معادله‌ی شرودینگر در فضای فوق‌کروی

با استفاده از مختصات ژاکوبی یعنی روابط (۱-۳) و (۲-۳) می‌توان عملگر لاپلاسی یک سیستم

شامل  $A$  ذره‌ی یکسان به جرم  $m$  را به صورت رابطه‌ی زیر نوشت [۱۱]

$$\nabla^2 = \sum_{i=1}^A \nabla_{r_i}^2 = \sum_{i=1}^A \frac{\partial^2}{\partial r_i^2} = 2 \sum_{i=1}^{N=A-1} \frac{\partial^2}{\partial \xi_i^2} + \frac{1}{A} \frac{\partial^2}{\partial R^2} = 2 \sum_{i=1}^N \nabla_{\xi_i}^2 + \frac{1}{A} \nabla_R^2 \quad (۱۰-۳)$$

بنابراین عملگر انرژی جنبشی سیستم به شکل

$$T = \frac{P^2}{2m} = -\frac{\hbar^2 \nabla^2}{2m} = -\frac{\hbar^2}{m} \sum_{i=1}^N \frac{\partial^2}{\partial \xi_i^2} + \frac{1}{2mA} \nabla_R^2 \quad (۱۱-۳)$$

بیان می‌شود. این رابطه بیان‌کننده‌ی این واقعیت است که انرژی جنبشی سیستم از دو بخش تشکیل شده که یک بخش مربوط به حرکت ذره‌ی آزاد مرکز جرم و بخش دیگر انرژی جنبشی نسبی ذرات سیستم است. از آنجا که ما مسئله را در دستگاه مرکز جرم بررسی می‌کنیم، بنابراین مرکز جرم سیستم ساکن و جمله‌ی دوم سمت راست معادله‌ی (۱۱-۳) برابر صفر است. پس رابطه‌ی (۱۱-۳) به صورت

$$T = -\frac{\hbar^2}{m} \nabla_{\xi_i}^2 = -\frac{\hbar^2}{m} \sum_{i=1}^N \frac{\partial^2}{\partial \xi_i^2} \quad (۱۲-۳)$$

درمی‌آید. حال باید به دنبال بیان عملگر انرژی جنبشی برحسب ابرشعاع  $x$  باشیم. بدین منظور با استفاده از روابط (۶-۳) و (۷-۳) داریم



$$\begin{aligned} \nabla_{\xi_i}^2 &= \sum_{i=1}^N \frac{\partial^2}{\partial \xi_i^2} = \sum_{i=1}^D \frac{\partial}{\partial x_i^2} = \sum_{i=1}^D \frac{\partial}{\partial x_i} \frac{\partial}{\partial x_i} = \frac{1}{x^{D-1}} \frac{\partial}{\partial x} x^{D-1} \frac{\partial}{\partial x} \\ &+ \frac{1}{x^2} \sum_{j=1}^{D-2} \frac{1}{\sin^2 \theta_{j+1} \dots \sin^2 \theta_{D-1}} \left( \frac{1}{\sin^{j-1} \theta_j} \frac{\partial}{\partial \theta_j} \sin^{j-1} \theta_j \frac{\partial}{\partial \theta_j} \right) \\ &+ \frac{1}{x^2} \left( \frac{1}{\sin^{D-2} \theta_{D-1}} \frac{\partial}{\partial \theta_{D-1}} \sin^{D-2} \theta_{D-1} \frac{\partial}{\partial \theta_{D-1}} \right) \end{aligned} \quad (۱۳-۳)$$

مشخص است که لاپلاسی متشکل از دو قسمت می باشد، قسمت شعاعی و قسمت زاویه‌ای. با بررسی خواص عملگر تکانه زاویه‌ای  $L$  نشان می‌دهیم که قسمت زاویه‌ای به وجود این عملگر در لاپلاسی مربوط می‌شود. این عملگر دارای ویژگی‌های زیر است

$$L_{ij} = -L_{ji} = x_i p_j - x_j p_i, \quad i=1,2,\dots,j-1, \quad j=1,2,\dots,D-1 \quad (۱۴-۳)$$

که در آن

$$p_k = -i\hbar \frac{\partial}{\partial x_k} \quad (۱۵-۳)$$

همچنین رابطه‌ی جابجایی زیر نیز برقرار است

$$[L_{ij}, L_{kl}] = i\hbar \delta_{jl} L_{ik} + i\hbar \delta_{ik} L_{jl} - i\hbar \delta_{jk} L_{il} - i\hbar \delta_{il} L_{jk} \quad (۱۶-۳)$$

علاوه بر این داریم

$$L_k^2 = \sum_{i,j} L_{ij} L_{ij}, \quad i=1,2,\dots,j-1, \quad j=2,3,\dots,k-1 \quad (۱۷-۳)$$

به کمک این روابط می‌توانیم رابطه‌های بازگشتی (۱۸-۳) را به دست آوریم [۱۷]

$$\begin{aligned}
L_1^2 &= -\frac{\partial^2}{\partial \theta_1^2} \\
L_2^2 &= -\left( \frac{1}{\sin \theta_2} \frac{\partial}{\partial \theta_2} \sin \theta_2 \frac{\partial}{\partial \theta_2} - \frac{L_1^2}{\sin^2 \theta_2} \right) \\
&\vdots \\
L_k^2 &= -\left( \frac{1}{\sin^{k-1} \theta_k} \frac{\partial}{\partial \theta_k} \sin^{k-1} \theta_k \frac{\partial}{\partial \theta_k} - \frac{L_{k-1}^2}{\sin^2 \theta_k} \right) \\
&\vdots \\
L_{D-1}^2 &= -\left( \frac{1}{\sin^{D-2} \theta_{D-1}} \frac{\partial}{\partial \theta_{D-1}} \sin^{D-2} \theta_{D-1} \frac{\partial}{\partial \theta_{D-1}} - \frac{L_{D-2}^2}{\sin^2 \theta_{D-1}} \right) \tag{۱۸-۳}
\end{aligned}$$

بنابراین از روابط (۱۳-۳) و (۱۸-۳) شکل نهایی عملگر لاپلاسی در  $D$  بعد به دست می آید

$$\nabla_{\xi_i(D)}^2 = \frac{1}{x^{D-1}} \frac{\partial}{\partial x} x^{D-1} \frac{\partial}{\partial x} + \frac{L_{D-1}^2}{x^2} = \frac{\partial^2}{\partial x^2} + \frac{D-1}{x} \frac{\partial}{\partial x} - \frac{L_{D-1}^2}{x^2} \tag{۱۹-۳}$$

در نام‌گذاری مرسوم،  $L$  عدد کوانتومی تکانه زاویه‌ای بزرگ نامیده می‌شود. ویژه مقادیر  $L$  به صورت  $\gamma(\gamma + D - 2)$  هستند و در آن  $\gamma$  که عدد کوانتومی تکانه زاویه‌ای بزرگ خوانده می‌شود با رابطه‌ی

$$\gamma = \sum_{i=1}^N (2n_i + l_{\xi_i}), \quad n_1 = 0 \tag{۲۰-۳}$$

داده می‌شود.  $n_i$  ها، تعداد  $N-1$  عدد کوانتومی فوق‌کروی مربوط به  $N-1$  فوق زاویه و  $l_{\xi_i}$  ها تعداد  $N$  عدد کوانتومی تکانه زاویه‌ای مداری مربوط به هر یک از  $N$  مختصه‌ی  $\xi_i$  است.

با استفاده از روابط (۱۲-۳) و (۱۹-۳)، عملگر انرژی جنبشی سیستم در فضای فوق‌کروی  $D$  بعدی در قالب رابطه‌ی زیر بیان می‌شود

$$T = -\frac{\hbar^2}{m} \left( \frac{\partial^2}{\partial x^2} + \frac{D-1}{x} \frac{\partial}{\partial x} - \frac{L_{D-1}^2}{x^2} \right) \quad (21-3)$$

بنابراین معادله‌ی شرودینگر در فضای فوق‌کروی را می‌توان به شکل رابطه‌ی (۲۲-۳) نوشت

$$(H - E)\psi(x, \Omega) = - \left( \frac{\hbar^2}{m} \left( \frac{d^2}{dx^2} + \frac{D-1}{x} \frac{d}{dx} - \frac{L_{D-1}^2(\Omega)}{x^2} \right) + V(x, \Omega) - E \right) \psi(x, \Omega) = 0 \quad (22-3)$$

در اینجا  $V(x, \Omega)$  پتانسیل برهم‌کنش است. این پتانسیل باید تحت چرخش در فضای  $D$  بعدی ناوردا باقی بماند. بسط تابع موج سیستم در پایه‌ی هماهنگ‌های فوق‌کروی به صورت

$$\psi(x, \Omega) = \sum_{[\gamma]} x^{-(D-1)/2} u_{[\gamma]}(x) Y_{[\gamma]}(\Omega) \quad (23-3)$$

می‌باشد که  $Y_{[\gamma]}(\Omega)$  ها هماهنگ‌های فوق‌کروی (در بخش بعد توصیف کامل‌تری از آنها ارائه می‌دهیم) و  $u_{[\gamma]}(x)$  تابع موج فوق‌شعاعی است. با قراردادن این تابع موج در معادله‌ی شرودینگر و جمع‌بندی روی مجموعه‌ی  $\Omega$  به یک مجموعه‌ی نامحدود از معادلات دیفرانسیل جفت شده مرتبه دوم

$$\left\langle Y_{[\gamma]} \left| H - E \right| \sum_{[\gamma']} x^{-(D-1)/2} u_{[\gamma']}(x) Y_{[\gamma']}(\Omega) \right\rangle = 0 \quad (24-3)$$

می‌رسیم. از بسط این رابطه معادله (۲۵-۳) حاصل می‌شود

$$\left\{ -\frac{\hbar^2}{m} \left[ \frac{d^2}{dx^2} - \frac{\gamma(\gamma + D - 2) + \frac{1}{4}(D-1)(D-3)}{x^2} \right] - E \right\} u_{[\gamma]}(x) + \sum_{[\gamma']} \langle Y_{[\gamma]} | V(x, \Omega) | Y_{[\gamma']} \rangle u_{[\gamma']}(x) = 0 \quad (25-3)$$

چون پتانسیل مورد استفاده‌ی ما وابستگی زاویه‌ای ندارد ( $V = V(x)$ ) از رابطه (۳-۲۵) به معادله‌ی فوق‌شعاعی  $D$  بعدی شرودینگر می‌رسیم

$$-\frac{\hbar^2}{m} \left[ \frac{d^2}{dx^2} - \frac{\gamma(\gamma + D - 2) + \frac{1}{4}(D-1)(D-3)}{x^2} \right] u_{[\gamma]}(x) + V(x)u_{[\gamma]}(x) = Eu_{[\gamma]}(x) \quad (۳-۲۶)$$

شرط بهنجارش تابع موج فوق‌شعاعی  $u_{[\gamma]}(x)$  نیز به صورت رابطه‌ی زیر بیان می‌گردد

$$\sum_{[\gamma]} \int_0^\infty dx |u_{[\gamma]}(x)|^2 = 1 \quad (۳-۲۷)$$

### ۳-۴ - هماهنگ‌های فوق‌کروی

در نمایش زرینک و برینکمن<sup>۱</sup> [۱۶]، عملگر  $L^2(\Omega)$  به صورت زیر نمایش داده می‌شود

$$L^2(\Omega) = \sum_{i=1}^N \left\{ \prod_{j=i+1}^N \sin^2 \phi_j \right\}^{-1} \left\{ \frac{\partial^2}{\partial \phi_j^2} + ((3i-4) \cot \phi_i - 2 \tan \phi_i) \frac{\partial}{\partial \phi_i} + \frac{l^2(\hat{\xi}_i)}{\cos^2 \phi_i} \right\} \quad (۳-۲۸)$$

در اینجا فوق‌زوایا (که تعداد آنها برابر  $N-1$  است) را با نماد  $\phi_j$  نشان داده‌ایم ( $\phi_1 = 0$  و  $0 < \phi_j < \pi/2$ ). همچنین  $l^2(\hat{\xi}_i)$  عملگر تکانه زاویه‌ای معمولی مربوط به بردار  $\hat{\xi}_i$  است (منظور از  $\hat{\xi}_i$  در این نمایش نیز همان زوایای قطبی و سمتی مربوط به بردار  $\hat{\xi}_i$  است). ویژه توابع عملگر  $L^2(\Omega)$  هماهنگ‌های فوق‌کروی هستند:

$$Y_{[\gamma]}(\Omega) = Y_{l_1}^{m_1}(\hat{\xi}_1) \prod_{j=2}^N Y_{l_j}^{m_j}(\hat{\xi}_j)^{(i)} P_{\gamma_j}^{l_j, \gamma_{j-1}}(\phi_j) \quad (۳-۲۹)$$

که جواب‌های معادله‌ی ویژه مقدراری زیر می‌باشند

<sup>1</sup> Zerinke and Brinkman

$$L^2(\Omega)Y_{[\gamma]}(\Omega) = \gamma(\gamma + 3N - 2)Y_{[\gamma]}(\Omega) \quad (30-3)$$

در رابطه‌ی مربوط به هماهنگ‌های فوق‌کروی (3-28)،  $Y_{l_j}^{m_j}(\hat{\xi}_j)$  ها هماهنگ‌های کروی هستند و

با رابطه (3-30) بیان می‌شود  ${}^{(i)}P_{\gamma_j}^{l_j, \gamma_{j-1}}(\phi_j)$

$${}^{(j)}P_{\gamma_j}^{l_j, \gamma_{j-1}}(\phi_j) = \left\{ \frac{2\nu_j \Gamma(\nu_j - n_j) \Gamma(n_j + 1)}{\Gamma(\nu_j - n_j - l_j - \frac{1}{2}) \Gamma(n_j + l_j + \frac{3}{2})} \right\}^{\frac{1}{2}} (\cos \phi_j)^{l_j} (\sin \phi_j)^{\gamma_{j-1}} P_{n_j}^{\nu_{j-1}, l_j + 1/2}(\cos 2\phi_j) \quad (31-3)$$

که در آن

$$\nu_j = \gamma_j + \frac{3j}{2} - 1, \quad (32-3)$$

$$\gamma_j = \sum_{i=1}^j (2n_i + l_i), \quad n_1 = 0$$

$P_n^{\alpha, \beta}$  چندجمله‌ای‌های ژاکوبی و  $\Gamma$  همان تابع مشهور گاما در ریاضی است. همانطور که قبلاً اشاره کردیم،

مجموعه‌ی  $\gamma$  از  $3N - 1$  عدد کوانتومی که یک هماهنگ فوق‌کروی را در مورد مختصه‌های زاویه‌ای ما

(مجموعه‌ی  $\Omega$ ) تعریف می‌کند، ترکیبی است از:

- $N$  عدد کوانتومی مداری  $l_j$  و  $N$  عدد کوانتومی مغناطیسی  $m_j$  برای هر بردار  $\hat{\xi}_j$  ( $j = 1, \dots, N$ ).
- $N - 1$  عدد کوانتومی فوق‌کروی  $n_j$  ( $j = 2, \dots, N$ ) برای هر فوق‌زاویه‌ی  $\phi_j$ .

همانطور که گفتیم  $\gamma$  عدد کوانتومی تکانه‌ی زاویه‌ای بزرگ است و با رابطه‌ی (3-20) داده می‌شود.

پارامترهای هماهنگ‌های فوق‌کروی تحت تبدیل  $\hat{\xi}_j$  به  $-\hat{\xi}_j$  نیز به شکل  $(-1)^\gamma$  بیان می‌شود.

### ۳-۵- سیستم سه ذره‌ای

در این بخش قصد داریم آنچه از ابتدای فصل تاکنون بیان شد را برای مورد خاص سیستم سه ذره‌ای که مسئله‌ی مورد نظر ماست، به کار ببریم. برای سیستم سه ذره‌ای داریم:

$$A=3, \quad N=A-1=2, \quad D=3A-3=3N=6 \quad (۳۳-۳)$$

بنابراین با یک فضای فوق کروی شش بعدی مواجه هستیم. یادآوری می‌کنیم که ذرات را یکسان و به جرم  $m$  در نظر گرفته‌ایم و هیچ نیروی خارجی به سیستم وارد نمی‌شود. از رابطه‌های (۳-۱) و (۳-۲) بردار مرکز جرم و بردارهای ژاکوبی به صورت زیر هستند

$$\mathbf{R} = \frac{1}{3} \sum_{i=1}^3 \mathbf{r}_i = \frac{1}{3} (\mathbf{r}_1 + \mathbf{r}_2 + \mathbf{r}_3)$$

$$\xi_1 = (\mathbf{r}_2 - \mathbf{r}_1)$$

$$\xi_2 = \sqrt{\frac{4}{3}} \left( \mathbf{r}_3 - \frac{\mathbf{r}_1 + \mathbf{r}_2}{2} \right) = \frac{1}{\sqrt{3}} (2\mathbf{r}_3 - \mathbf{r}_1 - \mathbf{r}_2) \quad (۳۴-۳)$$

با توجه به اینکه داریم [۱۸]

$$\xi_1 = \left[ \xi_{1x}^2 + \xi_{1y}^2 + \xi_{1z}^2 \right]^{\frac{1}{2}}, \quad \xi_2 = \left[ \xi_{2x}^2 + \xi_{2y}^2 + \xi_{2z}^2 \right]^{\frac{1}{2}} \quad (۳۵-۳)$$

جملات لاپلاسی شامل شش جمله می‌باشند

$$\frac{\partial^2}{\partial \xi_1^2} = \frac{\partial^2}{\partial \xi_{1x}^2} + \frac{\partial^2}{\partial \xi_{1y}^2} + \frac{\partial^2}{\partial \xi_{1z}^2}, \quad \frac{\partial^2}{\partial \xi_2^2} = \frac{\partial^2}{\partial \xi_{2x}^2} + \frac{\partial^2}{\partial \xi_{2y}^2} + \frac{\partial^2}{\partial \xi_{2z}^2} \quad (۳۶-۳)$$

حال با استفاده از نمایش

$$\xi_{1x} = x_1, \quad \xi_{1y} = x_2, \quad \xi_{1z} = x_3, \quad \xi_{2x} = x_4, \quad \xi_{2y} = x_5, \quad \xi_{2z} = x_6 \quad (37-3)$$

و روابط (3-7) تبدیل از مختصات ژاکوبی به مختصات فوق کروی را انجام می دهیم

$$x_1 = x \sin \theta_1 \sin \theta_2 \sin \theta_3 \sin \theta_4 \sin \theta_5$$

$$x_2 = x \cos \theta_1 \sin \theta_2 \sin \theta_3 \sin \theta_4 \sin \theta_5$$

$$x_3 = x \cos \theta_2 \sin \theta_3 \sin \theta_4 \sin \theta_5$$

$$x_4 = x \cos \theta_3 \sin \theta_4 \sin \theta_5$$

$$x_5 = x \cos \theta_4 \sin \theta_5$$

$$x_6 = x \cos \theta_5 \quad (38-3)$$

که در اینجا  $\theta_5$  فوق زاویه است. بنابراین رابطه (3-13) برای لاپلاسی سیستم سه ذره‌ای به شکل

$$\begin{aligned} \nabla^2 &= \sum_{i=1}^2 \frac{\partial^2}{\partial \xi_i^2} = \sum_{i=1}^6 \frac{\partial^2}{\partial x_i^2} = \sum_{i=1}^6 \frac{\partial}{\partial x_i} \frac{\partial}{\partial x_i} = \frac{1}{x^5} \frac{\partial}{\partial x} \left( x^5 \frac{\partial}{\partial x} \right) \\ &+ \frac{1}{x^2 \sin^2 \theta_2 \sin^2 \theta_3 \sin^2 \theta_4 \sin^2 \theta_5} \frac{\partial}{\partial \theta_1} \left( \frac{\partial}{\partial \theta_1} \right) \\ &+ \frac{1}{x^2 \sin^2 \theta_3 \sin^2 \theta_4 \sin^2 \theta_5} \left( \frac{1}{\sin \theta_2} \frac{\partial}{\partial \theta_2} \sin \theta_2 \frac{\partial}{\partial \theta_2} \right) \\ &+ \frac{1}{x^2 \sin^2 \theta_4 \sin^2 \theta_5} \left( \frac{1}{\sin^2 \theta_3} \frac{\partial}{\partial \theta_3} \sin^2 \theta_3 \frac{\partial}{\partial \theta_3} \right) + \frac{1}{x^2 \sin^2 \theta_5} \left( \frac{1}{\sin^3 \theta_4} \frac{\partial}{\partial \theta_4} \sin^3 \theta_4 \frac{\partial}{\partial \theta_4} \right) \\ &+ \frac{1}{x^2 \sin^4 \theta_5} \left( \frac{\partial}{\partial \theta_5} \sin^4 \theta_5 \frac{\partial}{\partial \theta_5} \right) \end{aligned} \quad (39-3)$$

در می‌آید که می‌توان آن را برحسب عملگر تکانه زاویه‌ای بزرگ (رابطه‌ی (۳-۱۹)) نوشت

$$\nabla_{\xi_i}^2 = \frac{1}{x^5} \frac{\partial}{\partial x} x^5 \frac{\partial}{\partial x} + \frac{L_s^2}{x^2} = \frac{\partial^2}{\partial x^2} + \frac{5}{x} \frac{\partial}{\partial x} - \frac{L_s^2}{x^2} \quad (۳-۴۰)$$

و نهایتاً معادله شرودینگر فوق شعاعی (۳-۲۵) برای سیستم سه ذره ای به معادله (۳-۴۱) تبدیل می‌شود.

$$-\frac{\hbar^2}{m} \left[ \frac{d^2}{dx^2} - \frac{(\gamma+2)^2 - \frac{1}{4}}{x^2} \right] u_{[\gamma]}(x) + V(x)u_{[\gamma]}(x) = E u_{[\gamma]}(x) \quad (۳-۴۱)$$

در فصل بعد به دنبال توصیف یک روش عددی مناسب برای حل معادلاتی مانند (۳-۴۱) خواهیم بود.



## فصل چهارم

# روش‌های عددی

حل تحلیلی معادله‌ی شعاعی شرودینگر در مکانیک کوانتومی غیر نسبیتی از اهمیت بالایی برخوردار است، زیرا تابع موج تمام اطلاعات لازم درباره‌ی سیستم کوانتومی مورد نظر را در برمی‌گیرد [۱۹]. تاکنون روش‌های تحلیلی زیادی از جمله ابرتقارن<sup>۱</sup>،  $NU$ <sup>۲</sup>، تقریب پکریس<sup>۳</sup>، قاعده‌ی کوانتس اصلاح شده<sup>۴</sup>، روش حدس جواب<sup>۵</sup> و ... در این زمینه ارائه شده است. اما متأسفانه حل تحلیلی معادله‌ی شرودینگر برای بسیاری از پتانسیل‌های نمایی در حالات  $l \neq 0$  ناممکن است. همچنین تعداد معدودی از پتانسیل‌های فیزیکی دارای حل تحلیلی دقیق برای تمام حالات  $n$  و  $l$  هستند [۲۰]. این چنین است که محدودیت توانایی ما در دستیابی به جواب‌های تحلیلی، محبوبیت ایده‌ی استفاده از روش‌های عددی را تقویت می‌کند. تاکنون گستره‌ی بسیار متنوعی از روش‌های عددی برای رویارویی با مسائل کوانتومی ارائه گردیده‌اند که قطعاً در اینجا مجال پرداختن به تمام آنها وجود ندارد. هدف معرفی و بررسی برخی از این روش‌هاست که ما را در حل مسئله‌ی مورد نظرمان یاری نمایند.

#### ۴-۲- انتگرال‌گیری عددی در معادلات دیفرانسیل معمولی

مسائل شامل معادلات دیفرانسیل معمولی را همواره می‌توان به مسئله‌ی بررسی مجموعه‌ای از معادلات درجه اول کاهش داد. برای مثال معادله‌ی دیفرانسیل مرتبه دوم

$$\frac{d^2 y}{dx^2} + q(x) \frac{dy}{dx} = r(x) \quad (1-4)$$

را می‌توان به دو معادله‌ی دیفرانسیل مرتبه اول

<sup>1</sup> Super symmetry (SUSY)

<sup>2</sup> Nikiforov-Uvarov method

<sup>3</sup> Pekeris approximation

<sup>4</sup> Improved Quantization Rule (IQR)

<sup>5</sup> Ansatz method

$$\frac{dy}{dx} = z(x) \quad (2-4)$$

$$\frac{dz}{dx} = r(x) - q(x)z(x)$$

تبدیل کرد که در آن  $z$  یک متغیر جدید است. بنابراین مسئله‌ی عمومی معادلات دیفرانسیل معمولی نیز به مسئله‌ی مطالعه‌ی  $N$  معادله‌ی دیفرانسیل مرتبه اول جفت شده برای توابع  $y_i$  ( $i=1,2,\dots,N$ ) که به

شکل کلی

$$\frac{dy_i}{dx} = f_i(x, y_1, \dots, y_N), \quad i=1,2,\dots,N \quad (3-4)$$

هستند، کاهش می‌یابد. مسئله‌ی شامل معادله‌ی دیفرانسیل معمولی به طور کامل توسط خود معادله به تنهایی مشخص نمی‌شود. درواقع ماهیت شرایط مرزی است که نحوه‌ی حمله‌ی عددی به معادله دیفرانسیل را مشخص می‌کند. شرایط مرزی در حقیقت شرایطی جبری بر روی مقادیر توابع  $y_i$  هستند. مسائل شرایط مرزی به دو گروه اصلی تقسیم می‌شوند:

- **مسائل مقدار اولیه<sup>۱</sup>** که در آنها مقادیر  $y_i$  ها در یک نقطه‌ی آغازین مانند  $x_s$  در دست است و هدف یافتن مقادیر  $y_i$  ها در یک نقطه‌ی پایانی مانند  $x_f$  یا برخی نقاط گسسته است.
- **مسائل با شرایط دو مرزی<sup>۲</sup>** که در آنها شرایط مرزی باید در بیش از یک نقطه ارضا شوند. به طور نمونه، برخی شرایط باید در نقطه‌ی  $x_s$  و شرایط باقیمانده باید در  $x_f$  برقرار باشند.

در این قسمت سعی داریم در ابتدا روش‌های رانگه کوتا را که از روش‌های عددی مشهور برای حل مسائل مقدار اولیه هستند معرفی نموده و سپس به سراغ بررسی مسائل دو مرزی که مد نظر ما هستند برویم [۲۱].

<sup>1</sup> Initial value problems

<sup>2</sup> Two point boundary value problems

### ۴-۳- روش رانگه کوتاه<sup>۱</sup>

روش رانگه کوتاه با جمع آوری اطلاعات از طریق گام‌های متعدد اویلرگونه (که هرکدام شامل تخمین  $f$  ها هستند) اقدام به گسترش یک جواب در طول یک بازه می‌نماید و سپس اطلاعات بدست آمده را برای منطبق کردن جواب با بسط یک سری تیلور تا چند مرتبه بالاتر به کار می‌بندد.

### ۴-۳-۱ روش رانگه کوتای مرتبه دوم

رابطه‌ی (۴-۳) را دوباره در نظر می‌گیریم. فرمول روش اویلر به صورت زیر است

$$y_{n+1} = y_n + hf(x_n, y_n) \quad (۴-۴)$$

که یک جواب را از  $x_n$  تا  $x_{n+1} = x_n + h$  پیش می‌برد. رابطه نامتقارن است زیرا جواب را در طول یک بازه‌ی  $h$  پیش می‌برد اما فقط از اطلاعات مشتق مربوط به نقطه‌ی آغازین بازه استفاده می‌کند. این بدان معنی است که خطای گام تنها به اندازه‌ی توان اول  $h$  کوچکتر از تصحیح است و جمله‌ی  $o(h^2)$  باید به سمت راست (۴-۴) افزوده شود. بنابراین روش اویلر روش عملی دقیقی برای رویارویی با معادلات دیفرانسیل معمولی نیست. یک رابطه‌ی دقیق‌تر به شکل زیر است

$$k_1 = hf(x_n, y_n)$$

$$k_2 = hf\left(x_n + \frac{1}{2}h, y_n + \frac{1}{2}k_1\right)$$

$$y_{n+1} = y_n + k_2 + o(h^3) \quad (۵-۴)$$

که به روش رانگه کوتای مرتبه دوم معروف است ( به طور قراردادی، یک روش که خطای آن از مرتبه  $o(h^{n+1})$  است، روش مرتبه‌ی  $n$ ام نامیده می‌شود) و با تعیین مشتق در نقطه‌ی میانی بازه برآورد دقیق‌تری از جواب را فراهم می‌سازد.

---

<sup>1</sup> Runge-Kutta method

#### ۴-۳-۲- روش رانگه کوتای مرتبه چهارم

رابطه‌ای که در اغلب موارد به مراتب بیشتر از بقیه استفاده می‌شود رابطه‌ی معروف به رانگه کوتای مرتبه چهارم می‌باشد که فرمول کلی آن به شکل زیر است

$$\begin{aligned}k_1 &= hf(x_n, y_n) \\k_2 &= hf\left(x_n + \frac{h}{2}, y_n + \frac{k_1}{2}\right) \\k_3 &= hf\left(x_n + \frac{h}{2}, y_n + \frac{k_2}{2}\right) \\k_4 &= hf(x_n + h, y_n + k_3) \\y_{n+1} &= y_n + \frac{k_1}{6} + \frac{k_2}{3} + \frac{k_3}{3} + \frac{k_4}{6} + o(h^5)\end{aligned}\tag{۴-۶}$$

روش رانگه کوتای مرتبه چهارم نیازمند چهار بار سنجش تابع  $f$  در هر گام است. البته باید دقت داشته باشیم که همیشه مرتبه‌ی بالاتر به معنای دقت بیشتر نیست.

#### ۴-۳-۳- روش رانگه کوتای مرتبه پنجم (رانگه کوتا- فلبرگ) با اندازه‌ی گام بهینه

اکنون می‌خواهیم الگوریتمی را معرفی کنیم که به کمک آن اندازه‌ی گام در جهت کاهش خطا کنترل می‌شود. این الگوریتم بر پایه‌ی فرمول رانگه کوتایی است که به وسیله‌ی فلبرگ<sup>۱</sup> پیشنهاد شد. فرمول رانگه کوتا برای مرتبه‌های  $M$  بالاتر از مرتبه‌ی چهارم نیازمند بیش از  $M$  بار سنجش تابع است و این دلیل شهرت روش رانگه کوتای مرتبه‌ی چهارم است. به هر حال فلبرگ یک روش رانگه کوتای مرتبه پنجم با شش بار سنجش تابع را ابداع نمود. ما برای پیشروی در معادله‌ی دیفرانسیل از این روش استفاده می‌کنیم. ترکیب دیگری از شش تابع، یک فرمول مرتبه چهارم<sup>۲</sup> را به دست می‌دهد. اختلاف بین تخمین

<sup>۱</sup> Fehlberg

<sup>۲</sup> The embedded fourth-order formula

این دو روش از مقدار  $y(x+h)$  می‌تواند به عنوان برآوردی از خطا جهت تنظیم اندازه‌ی گام استفاده شود.

فرم کلی رابطه‌ی رانگه کوتای مرتبه‌ی پنجم به صورت زیر است

$$k_1 = hf(x_n, y_n)$$

$$k_2 = hf(x_n + a_2h, y_n + b_{21}k_1)$$

⋮

$$k_6 = hf(x_n + a_6h, y_n + b_{61}k_1 + \dots + b_{65}k_5)$$

$$y_{n+1} = y_n + c_1k_1 + c_2k_2 + c_3k_3 + c_4k_4 + c_5k_5 + c_6k_6 + o(h^6) \quad (۷-۴)$$

و فرمول رابطه‌ی مرتبه چهارم به شکل زیر است

$$y_{n+1}^* = y_n + c_1^*k_1 + c_2^*k_2 + c_3^*k_3 + c_4^*k_4 + c_5^*k_5 + c_6^*k_6 + o(h^5) \quad (۸-۴)$$

که در آن ثابت‌های  $c_i$  و  $c_i^*$  قبلاً محاسبه [۲۲] و در جدول (۱-۴) نشان داده شده‌اند.

جدول (۱-۴). ضرایب cash-karp [۲۱]

$i$	$a_i$	$b_{ij}$					$c_i$	$c_i^*$
1						$\frac{37}{378}$	$\frac{2825}{27648}$	
2	$\frac{1}{5}$	$\frac{1}{5}$				0	0	
3	$\frac{3}{10}$	$\frac{3}{40}$	$\frac{9}{40}$			$\frac{250}{621}$	$\frac{18575}{48384}$	
4	$\frac{3}{5}$	$\frac{3}{10}$	$-\frac{9}{10}$	$\frac{6}{5}$		$\frac{125}{594}$	$\frac{13525}{55296}$	
5	1	$-\frac{11}{54}$	$\frac{5}{2}$	$-\frac{70}{27}$	$\frac{35}{27}$	0	$\frac{277}{14336}$	
6	$\frac{7}{8}$	$\frac{1631}{55296}$	$\frac{175}{512}$	$\frac{575}{13824}$	$\frac{44275}{110592}$	$\frac{253}{4096}$	$\frac{512}{1771}$	
	$j$	1	2	3	4	5		

بنابراین برآورد خطا به صورت رابطه‌ی (۹-۴) به دست می‌آید

$$\Delta \equiv y_{n+1} - y_{n+1}^* = \sum_{i=1}^6 (c_i - c_i^*) k_i \quad (9-4)$$

با پیدا کردن رابطه‌ای میان اندازه‌ی گام ( $h$ ) و خطا ( $\Delta$ ) می‌توانیم اندازه‌ی گام را در جهت کاهش خطا تنظیم کنیم. خطا از مرتبه‌ی  $h^5$  است، اگر ما خطای  $\Delta_1$  را در گام  $h_1$  مرتکب شویم، آنگاه اندازه‌ی گام  $h_0$  که خطای  $\Delta_0$  را تولید می‌کند به صورت

$$h_0 = h_1 \left| \frac{\Delta_0}{\Delta_1} \right|^{0.2} \quad (10-4)$$

است که در آن  $\Delta_0$  دقت دلخواه ما می‌باشد. حال دو موقعیت می‌تواند وجود داشته باشد؛ اگر  $\Delta_1$  از  $\Delta_0$  بزرگتر باشد، اندازه‌ی گام باید با استفاده از معادله‌ی (۱۰-۴) کاهش یابد و گام شکست خورده‌ی فعلی تکرار شود و برعکس اگر  $\Delta_1$  کوچکتر از  $\Delta_0$  باشد معادله‌ی (۱۰-۴) برای افزایش اندازه‌ی گام در مرحله بعدی مورد استفاده قرار می‌گیرد و با این روش اندازه‌ی گام کنترل می‌شود. ما در حل معادله‌ی شرودینگر از زیر برنامه‌ای که به زبان برنامه نویسی فرترن<sup>۱</sup> نوشته شده و این الگوریتم را به کار می‌بندد استفاده می‌کنیم. این زیر برنامه به همراه سایر زیر برنامه‌های استفاده شده در پیوست آمده‌اند.

#### ۴-۴- مسائل دارای شرایط دو مرزی و ویژه مقدری

معادله‌ی شرودینگری که ما با آن سروکار داریم (۳-۴۷) یکی از مسائلی است که شرایط مرزی در آن باید در ابتدا و انتهای یک بازه برآورده شوند. همچنین در این معادله علاوه بر یافتن تابع موج هدف دیگری را نیز دنبال می‌کنیم که آن یافتن ویژه مقدار انرژی است. بنابراین با یک مسئله‌ی دو مقدار مرزی ویژه مقدری مواجه هستیم که روش حل آن نسبت به مسائل مقدار اولیه کمی پیچیده‌تر است. برای حل

<sup>۱</sup> FORTRAN programming language

این نوع معادلات خطی روش‌های عددی متنوعی ارائه شده است که ما در اینجا به بررسی دو مورد از پرکاربردترین آنها یعنی روش پرتاب<sup>۱</sup> و روش تطبیق<sup>۲</sup> (پرتاب به نقطه‌ی انطباق) خواهیم پرداخت.

#### ۴-۴-۱- روش پرتاب

روش پرتاب، رویکردی مناسب برای حل معادلات دیفرانسیلی (از جمله معادله‌ی شرودینگر) است که باید شرایط مرزی را در دو طرف یک بازه برآورده کنند، هر چند استفاده از آن محدود به موقعیت‌هایی می‌شود که در آنها مقادیر تابع جواب و مشتق آن به گونه‌ای در نقطه‌ی ابتدایی مشخص شده باشند. استفاده از این روش دقیقاً شبیه تلاش برای پرتاب یک توپ به قصد زدن آن به یک هدف است [۲۳]. تنها در صورتی توپ مسیر مناسب را طی و به هدف برخورد می‌کند که آن را با انرژی و جهت مناسب پرتاب کنیم. در مورد معادلات ویژه مقدراری این بدان معنی است که ما در ابتدا یک فرض مناسب برای ویژه مقدار در نظر می‌گیریم و با آن شروع به حل معادله می‌کنیم. اگر جواب بدست آمده شرایط مرزی را برآورده کند، حدس ویژه مقدار صحیح بوده، در غیر اینصورت باید ویژه مقدار حدسی آنقدر تغییر کند تا نهایتاً شرایط مرزی توسط جواب معادله تأمین شود. بنابراین در مورد معادله‌ی شرودینگر، حل با تخصیص یک مقدار حدسی اولیه برای انرژی شروع می‌شود که البته این حدس باید از نظر فیزیکی منطقی باشد.

اکنون به سراغ توضیح الگوریتم روش پرتاب می‌رویم [۲۲]. همانطور که گفتیم با معادلات ویژه مقدراری سروکار داریم. در چنین مسائلی طرف راست معادله‌ی (۴-۳) به یک پارامتر مانند  $\lambda$  وابسته است

$$\frac{dy_i(x)}{dx} = f_i(x, y_1, \dots, y_N, \lambda), \quad i = 1, \dots, N \quad (4-11)$$

<sup>1</sup> Shooting method

<sup>2</sup> Matching (shooting to fitting point) method



که در آن  $N$  بیانگر درجه‌ی معادله‌ی دیفرانسیل است. این معادلات دارای تعداد  $N+1$  مقدار اولیه برای  $n_1$  شرط مرزی در نقطه‌ی ابتدایی  $x_1$  و  $n_2 = N+1-n_1$  شرط مرزی در نقطه‌ی انتهایی  $x_2$  هستند. مسأله تنها به ازای مقادیر خاصی از  $\lambda$  دارای جواب است. با معرفی یک متغیر وابسته‌ی جدید

$$y_{N+1} = \lambda \quad (12-4)$$

و اضافه کردن یک معادله‌ی دیفرانسیل جدید به  $N$  معادله‌ی جفت شده‌ی قبلی

$$\frac{dy_{N+1}}{dx} = 0 \quad (13-4)$$

می‌توان مسئله را به حالت استاندارد ( یعنی تعداد  $N+1$  متغیر  $y_i$  برای  $N+1$  معادله ) تبدیل کرد. همانطور که گفته شد در نقطه‌ی ابتدایی  $N+1$  مقدار اولیه وجود دارد در حالیکه تعداد شرایط مرزی در این نقطه فقط  $n_1$  شرط است. بنابراین تعداد  $n_2 = N+1-n_1$  مقدار اولیه در این نقطه وجود دارند که باید آنها را به‌طور اختیاری مقداردهی کرد. اینها در واقع همان حدس‌های اولیه برای ویژه مقدار ( و در برخی مسائل شرایط مرزی، چون در بسیاری از معادلات، شرایط مرزی شامل روابطی بین مؤلفه‌های  $y$  می‌باشند ) هستند. حال فرض می‌کنیم این مقادیر اختیاری مؤلفه‌های یک آرایه مانند  $V$  هستند که دقیقاً دارای  $n_2$  مؤلفه است. می‌توانیم در برنامه‌ی کامپیوتری خود از زیر روالی<sup>1</sup> استفاده کنیم که مقادیر اولیه  $y$  در  $x_1$  را با توجه به شرایط مرزی و  $n_2$  مؤلفه‌ی اختیاری  $V$  به برنامه معرفی کند. تمام این گفته‌ها را می‌توان در رابطه‌ی زیر خلاصه کرد

$$y_i(x_1) = y_i(x_1, V_1, \dots, V_{n_2}) \quad i = 1, 2, \dots, N+1 \quad (14-4)$$

با دادن یک مقدار مشخص  $V$  ادامه‌ی کار تبدیل به حل یک مسأله‌ی مقدار اولیه می‌شود که در آن  $y(x_1)$  با پیشروی عددی در معادله‌ی دیفرانسیل از  $x_1$  تا  $x_2$  تبدیل به یک مقدار  $y(x_2)$  می‌شود. این کار به

---

<sup>1</sup> Subroutine

وسیله‌ی روش رانگه کوتا که در بخش قبل توضیح داده شد انجام می‌گیرد. حال این سؤال به وجود می‌آید که آیا مقدار  $y(x_2)$  حاصل شده با شرایط مرزی در نقطه‌ی  $x_2$  همخوانی دارد؟ برای پاسخ به این سؤال یک آرایه جدید  $F$  که شامل  $n_2$  مؤلفه است و این مؤلفه‌ها میزان فاصله‌ی ما از برآورده کردن  $n_2$  شرط مرزی در  $x_2$  را تعیین می‌کنند، معرفی می‌کنیم. به عبارت دیگر

$$F_k = B_k(x_2, y_1, \dots, y_N) = B_k(x_2, \mathbf{y}) \quad k = 1, \dots, n_2 \quad (15-4)$$

$B_k$ ها شرایط مرزی در  $x_2$  هستند. باید رابطه‌ی بین مؤلفه‌های  $F$  و مؤلفه‌های  $y$  در  $x_2$  طوری به برنامه داده شود که فقط و فقط هنگامی شرایط مرزی در  $x_2$  ارضا شوند که مؤلفه‌های  $F$  صفر گردند. بدین منظور زیرروالی در برنامه تعریف می‌کنیم که مقادیر  $y(x_2)$  را با  $n_2$  مؤلفه‌ی  $F$  مقایسه می‌کند. اما اکنون به الگوریتمی نیاز داریم که ویژه‌ی مقداری را در معادله که باعث صفر شدن مؤلفه‌های  $F$  می‌گردد برای ما بیابد و آن روش نیوتون رافسن<sup>1</sup> است که از پرکاربردترین روش‌های عددی ریشه‌یابی توابع به‌شمار می‌یابد. در این روش هریک از توابع  $F_k$  را با استفاده از بسط تیلور حول  $V$  بسط می‌دهیم

$$F(V + \delta V) = F_i(V) + \sum_{i=1}^{n_2} \frac{\partial F_i}{\partial V_j} \delta V_j + o(\delta V^2) \quad (16-4)$$

در رابطه‌ی (۱۶-۴) ماتریس ژاکوبی با رابطه‌ی زیر تعریف می‌شود

$$J_{ij} = \frac{\partial F_i}{\partial V_j} \quad (17-4)$$

محاسبه‌ی هریک از مشتقات جزئی در این رابطه نیازمند یک انتگرال‌گیری عددی جداگانه در  $N$  معادله دیفرانسیل و استفاده از تقریب

$$\frac{\partial F_i}{\partial V_j} \approx \frac{F_i(V_1, \dots, V_j + \Delta V_j, \dots) - F_i(V_1, \dots, V_j, \dots)}{\Delta V_j} \quad (18-4)$$

<sup>1</sup> Newton-Raphson

است که توسط زیرروال مناسب انجام می‌گیرد. می‌توانیم رابطه‌ی (۴-۱۶) را با نمایش ماتریسی

$$F(\mathbf{V} + \delta\mathbf{V}) = F(\mathbf{V}) + \mathbf{J} \cdot \delta\mathbf{V} + o(\delta\mathbf{V}^2) \quad (۴-۱۹)$$

بنویسیم. به دنبال مقادیری از  $V$  هستیم که مؤلفه‌های متناظر در  $F$  را صفر کند. بنابراین با قرار دادن

$$F(\mathbf{V} + \delta\mathbf{V}) = 0 \quad (۴-۲۰)$$

و صرف نظر کردن از جملات از مرتبه‌ی  $\delta V^2$  و بالاتر، به دستگاه معادلات خطی

$$\mathbf{J} \cdot \delta\mathbf{V} = -\mathbf{F} \quad (۴-۲۱)$$

می‌رسیم. این دستگاه را می‌توان با استفاده از زیرروالی که به روش تجزیه‌ی  $LU$ <sup>۱</sup> عمل می‌کند حل کرده و مقدار  $\delta V$  که تصحیح لازم برای حدس اولیه است را به‌دست آورد. سپس این تصحیح با استفاده از رابطه‌ی

$$\mathbf{V}_{new} = \mathbf{V}_{old} + \delta\mathbf{V} \quad (۴-۲۲)$$

به مقدار قبلی  $V$  افزوده شده و با چند بار تکرار این روند سرانجام مقدار دقیق  $V$  که باعث صفر شدن  $F$  می‌گردد برای ما مشخص می‌شود.

#### ۴-۲-۴- روش تطبیق ( پرتاب به نقطه‌ی انطباق )

روش پرتاب که در بخش قبل توضیح داده شد بر این فرض استوار است که پرتاب فرضی توان پیمودن کل بازه‌ی محاسبه و همگرا شدن به سوی جواب صحیح را داراست. در برخی از مسائل در نظر گرفتن شرایط اولیه‌ی نادرست باعث می‌شود که یک جواب اولیه نتواند بدون خطا و تولید نتایج فاجعه بار

---

<sup>۱</sup> LU decomposition

از  $x_1$  به  $x_2$  برسد. برای مثال هنگامی که هر دو نقطه‌ی ابتدایی و انتهای نقاط تکین معادلات دیفرانسیل باشند، معمولاً انتگرال‌گیری عددی به سمت آنها عملی نیست. یا اینکه متغیر زیر رادیکال منفی شود که موجب ایجاد خطا در کد محاسباتی می‌گردد.

راه حل مشکلات ذکر شده استفاده از روش تطبیق است. در این روش به جای انتگرال‌گیری از نقطه‌ی  $x_1$  تا  $x_2$ ، نخست پیشروی را از نقطه‌ی  $x_1$  تا نقطه‌ی  $x_f$  که بین نقاط  $x_1$  و  $x_2$  قرار دارد (و معمولاً در مسائل فیزیکی نقطه‌ی کمینه‌ی پتانسیل است) و پس از آن در جهت عکس از نقطه‌ی  $x_2$  تا  $x_f$  انجام می‌دهیم. اگر تعداد شرایط مرزی در  $x_1$  برابر  $n_1$  و تعداد شرایط مرزی در  $x_2$  برابر  $n_2$  باشد، آنگاه تعداد مقادیر اولیه‌ی اختیاری (یعنی مقادیر حدسی) در  $x_1$  برابر  $n_2$  و تعداد این پارامترها در  $x_2$  برابر  $n_1$  است. بنابراین یک آرایه‌ی  $n_2$  مؤلفه‌ای  $V_{(1)}$  از پارامترهای اولیه در  $x_1$  تعریف می‌کنیم و داریم

$$y_i(x_1) = y_i(x_1; V_{(1)1}, \dots, V_{(1)n_2}) \quad i = 1, \dots, N+1 \quad (23-4)$$

همچنین آرایه‌ی  $n_1$  مؤلفه‌ای  $V_{(2)}$  از پارامترهای اولیه در  $x_2$  را نیز تعریف کرده و داریم

$$y_i(x_2) = y_i(x_2; V_{(2)1}, \dots, V_{(2)n_1}) \quad i = 1, \dots, N+1 \quad (24-4)$$

بنابراین ما مجموعاً تعداد  $N$  پارامتر اولیه‌ی اختیاری در ترکیب  $V_{(1)}$  و  $V_{(2)}$  داریم. همچنین  $N$  شرط باید روی مؤلفه‌های  $y$  در نقطه‌ی تطبیق  $x_f$  برقرار باشد (مثلاً برای یک معادله‌ی مرتبه دوم باید جواب معادله و مشتق اول آن در این نقطه پیوسته باشند) یعنی باید داشته باشیم

$$y_i(x_f; V_{(1)}) = y_i(x_f; V_{(2)}) \quad i = 1, \dots, N \quad (25-4)$$

مانند روش پرتاب آرایه‌ی  $N$  مؤلفه‌ای  $F$  که میزان فاصله‌ی ما از برآورده کردن شرایط پیوستگی در  $x_f$  را تعیین می‌کند، تعریف می‌کنیم. در واقع باید

$$F_i[\mathbf{y}(x_f; \mathbf{V}_{(1)})] = F_i[\mathbf{y}(x_f; \mathbf{V}_{(2)})], \quad i = 1, \dots, N \quad (26-4)$$

در این مرحله به طریق مشابه با روش پرتاب، الگوریتم نیوتون رافسن برای یافتن ویژه مقداری که اختلاف توابع سمت راست و چپ رابطه‌ی (۲۶-۴) را صفر می‌کند به کار گرفته می‌شود.

#### ۴-۵- نتایج حاصل از حل چند مسأله‌ی کوانتومی با استفاده از روش عددی پرتاب

در انتهای این فصل برای بررسی قدرت روش عددی پرتاب در حل معادله‌ی شرودینگر، نتایج حاصل از حل دو مسأله‌ی بنیادی فیزیک اتمی و هسته‌ای یعنی اتم هیدروژن و دوتریون و همچنین دو مسأله‌ی کوانتومی دیگر را که به این روش انجام داده‌ایم، ارائه خواهیم کرد. جواب‌های حاصل از روش پرتاب با جواب‌های تحلیلی دقیق و یا تقریبی مقایسه شده است.

#### ۴-۵-۱- اتم هیدروژن

معادله‌ی شرودینگر شعاعی برای اتم هیدروژن به همان شکل معادله‌ی (۲-۲) است، با این تفاوت

که در آن  $\mu$  جرم کاهش یافته‌ی اتم هیدروژن  ${}^1_1\text{H}$  عبارت است از

$$\mu = \frac{mM}{m+M} = 0.510 \text{ MeV}/c^2 \quad (27-4)$$

که در آن  $m$  جرم الکترون و  $M$  جرم هسته است. همچنین  $V(r)$  پتانسیل کولنی بین هسته و الکترون است

$$V(r) = -\frac{e^2}{4\pi\epsilon_0 r} = -\frac{14.39976}{r} \text{ eV} \quad (28-4)$$

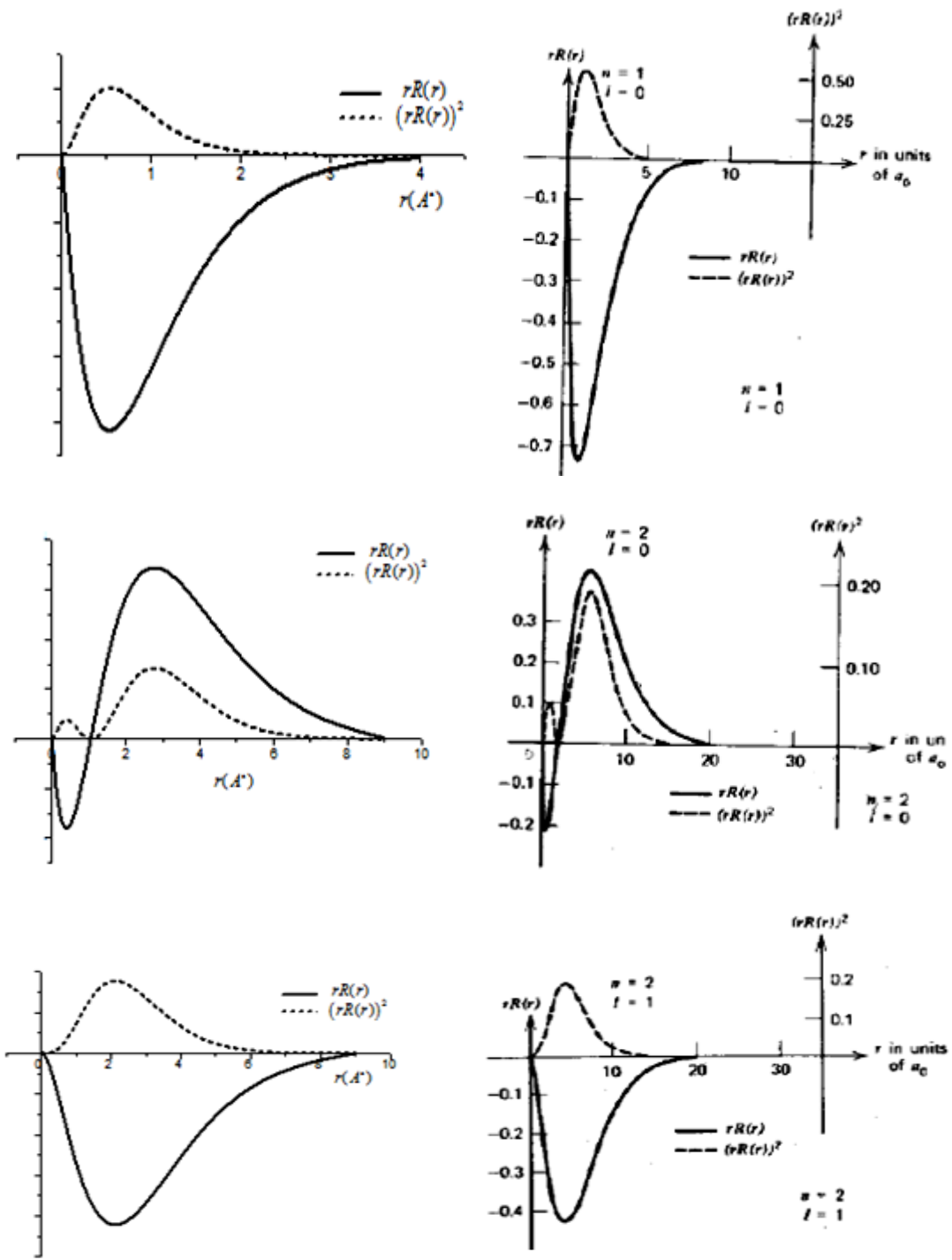
در ادامه نتایج ویژه مقادیر انرژی و توابع موج شعاعی حاصل از روش تحلیلی [۵] و روشی که ما استفاده کرده ایم (روش پرتاب) برای تعدادی از حالات انرژی اتم هیدروژن آمده است.

جدول (۲-۴) ویژه مقادیر انرژی تحلیلی و عددی برای برخی حالات اتم هیدروژن

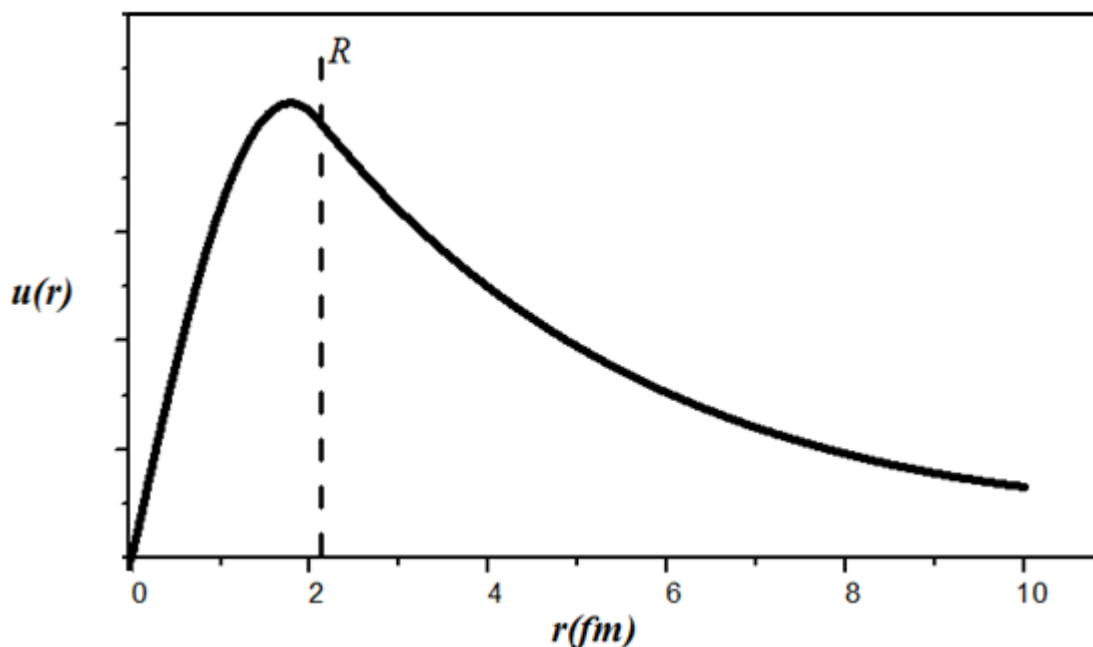
حالت انرژی $(n, l)$	انرژی $(eV)$ (روش پرتاب)	انرژی $(eV)$ (حل تحلیلی)
(1,0)	-13.5910	-13.6058
(2,0)	-3.3962	-3.4014
(2,1)	-3.3991	-3.4014
(3,0)	-1.5107	-1.5117
(3,1)	-1.5112	-1.5117
(3,2)	-1.5113	-1.5117
(4,0)	-0.8500	-0.8503
⋮	⋮	⋮

#### ۴-۵-۲- دوترون

برای دوترون در پتانسیل چاه مربعی نتایج تحلیلی در بخش (۲-۲) ارائه گردید. ما این مسأله را به روش پرتاب نیز حل کردیم که نتیجه برای انرژی بستگی دوترون در تقریب پتانسیل چاه مربعی مقدار  $2.71MeV$  به دست آمد ( علت اختلاف جزئی با مقدار 2.22 تقریب‌هایی است که هنگام حل تحلیلی معادله اعمال شده است ) و تابع موج حاصل نیز در شکل (۲-۴) رسم شده که با شکل (۱-۲) مطابقت کامل دارد.



شکل (۴-۱). توابع موج شعاعی برای حالات  $(1,0)$  (ردیف اول)،  $(2,0)$  (ردیف دوم) و  $(2,1)$  (ردیف سوم) اتم هیدروژن. شکل‌های سمت راست نتایج تحلیلی [۲۴] و شکل‌های سمت چپ نتایج حاصل از روش پرتاب را نشان می‌دهند. در شکل‌های سمت راست، فاصله ی شعاعی برحسب  $a_0 = 0.529 \text{ \AA}$  است.



شکل (۲-۴). تابع موج دوترون برای پتانسیل چاه مربعی با  $R = 2.1 \text{ fm}$

#### ۴-۵-۳- حالات مقید معادله‌ی شرودینگر دوجسمی در حضور پتانسیل منینگ-روزن<sup>۱</sup>

پتانسیل منینگ-روزن معمولاً برای توصیف ارتعاشات مولکولی دو اتمی استفاده می‌شود [۲۵]. این پتانسیل همچنین در بسیاری از شاخه‌های فیزیک برای مطالعه‌ی حالات مقید و خواص پراکندگی مورد استفاده قرار می‌گیرد [۲۶]. فرم عمومی این پتانسیل با رابطه‌ی زیر داده می‌شود

$$V(r) = \frac{\hbar^2}{2\mu b^2} \left[ \frac{\alpha(\alpha-1)e^{-2r/b}}{(1-e^{-r/b})^2} - \frac{Ae^{-r/b}}{1-e^{-r/b}} \right] \quad (۲۹-۴)$$

که در آن  $\alpha$  و  $A$  دو پارامتر بدون بعد هستند،  $b$  مربوط به برد پتانسیل است و بعد طول دارد [۲۷]. حل تحلیلی دقیق این پتانسیل برای حالات تکانه زاویه‌ای غیر صفر وجود ندارد اما در سال‌های اخیر فیزیکدانان برخی حل‌های تقریبی برای آن ارائه کرده‌اند که در اینجا جواب‌های حاصل از روش پرتاب را

<sup>1</sup> Manning-Rosen potential



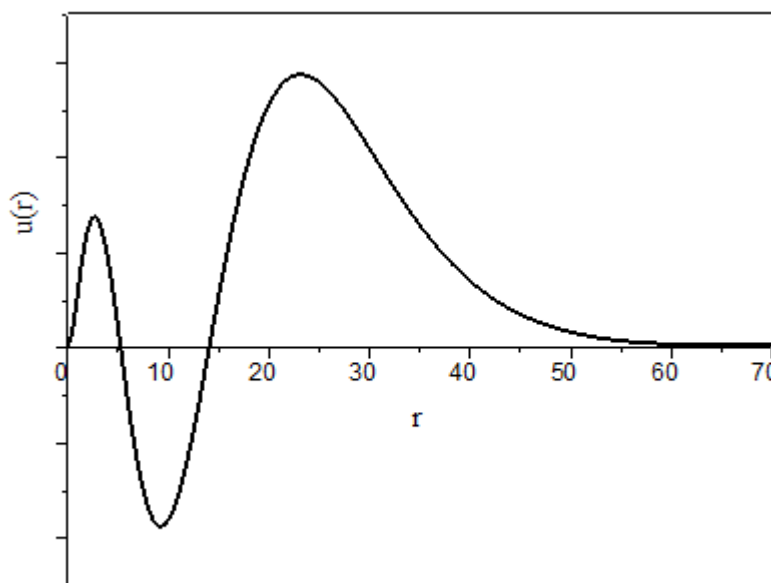
با آنها و روش عددی ارائه شده توسط لوچا و همکارش [۲۸] مقایسه کرده و در جدول (۳-۴) آورده‌ایم (معادله‌ی مورد استفاده همان معادله‌ی (۳-۲) است).

جدول (۳-۴). برخی ویژه مقادیر انرژی ( $-E_{nl}$ ) پتانسیل مینگ-روزن حاصل از روش‌های مختلف (به ازای  $b = 40$ ,

$$(h = \mu = 1 \text{ و } A = 2b, \alpha = 0.75)$$

حالت انرژی	حل تحلیلی تقریبی [۲۷]	حل تحلیلی تقریبی [۲۹]	حل عددی [۲۸]	حل عددی (روش پرتاب)
$2p$	0.120527	0.120579	0.120527	0.120527
$3p$	0.045877	0.045929	0.045878	0.045877
$3d$	0.044773	0.044929	0.044774	0.044774
$4p$	0.020808	0.020860	0.020809	0.020810
$4d$	0.020299	0.020455	0.020301	0.020302
$4f$	0.019976	0.020288	0.019979	0.019979

نمودار یکی از ویژه توابع شعاعی متناظر نیز در شکل (۳-۴) ارائه شده است.



شکل (۳-۴). تابع موج شعاعی حالت  $4p$  برای پتانسیل مینگ-روزن

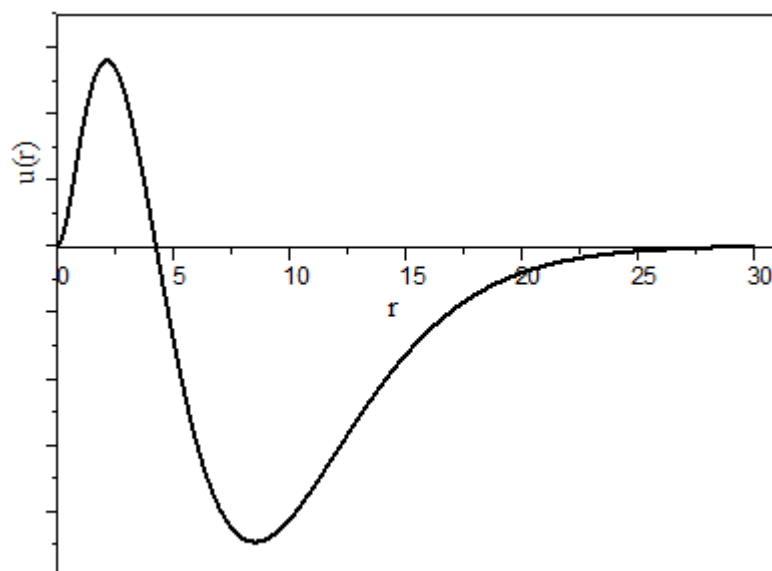
#### ۴-۵-۴- حالات مقید معادله‌ی شرودینگر دوجسمی در حضور پتانسیل یوکاوا<sup>۱</sup>

معادله‌ی شرودینگر (۳-۲) برای پتانسیل یوکاوا نیز همانند پتانسیل مینگ-روزن دارای حل تحلیلی دقیق برای تمام حالات  $l$  نیست. اما با اعمال تقریب‌هایی در شکل پتانسیل می‌توان به جواب‌های تحلیلی دست یافت. رابطه‌ی عمومی پتانسیل یوکاوا (راجع به این پتانسیل در فصل بعد بیشتر خواهیم گفت) به

شکل

$$V(r) = -V_0 \frac{\exp(-kr)}{r} \quad (۳۰-۴)$$

است که در آن  $V_0$  و  $k$  ضرایب ثابتی هستند. تقریبی که گفتیم فقط برای مقادیر  $kr \ll 1$  معتبر است. در جدول (۴-۴) نتایج برخی ویژه مقادیر در طیف انرژی که به وسیله‌ی روش‌های مختلف محاسبه شده‌اند، آمده است. همچنین در شکل (۴-۴) نمودار یکی از ویژه توابع شعاعی متناظر را رسم کرده ایم.



شکل (۴-۴). تابع موج شعاعی حالت  $3p$  برای پتانسیل یوکاوا به ازای  $V_0 = \sqrt{2}$  و  $k = 0.002V_0$

<sup>۱</sup> Yukawa potential

جدول (۴-۴). برخی ویژه مقادیر انرژی  $(-E_n)$  (برحسب  $(fm^{-1})$ ) پتانسیل یوکاوا به ازای  $V_0 = \sqrt{2}$  و  $\hbar = m = 1$

حالت انرژی	$k (fm^{-1})$	حل تحلیلی تقریبی به روش N-U، [۳۰]	حل تحلیلی به روش ابرتقارن [۳۱]	حل عددی ما (روش پرتاب)
1s	0.00282	0.99600	0.99601	0.99600
	0.00707	0.99002	0.99004	0.99003
2s	0.00282	0.24601	0.26402	0.24602
	0.00707	0.24010	0.24014	0.24014
2p	0.00282	0.24601	0.24602	0.24602
	0.00707	0.24010	0.24012	0.24012
3p	0.00282	0.10714	0.10716	0.10716
	0.00707	0.10133	0.10142	0.10141
3d	0.00282	0.10714	0.10715	0.10715
	0.00707	0.10133	0.10140	0.10136

همانطور که مشاهده می‌شود روش عددی پرتاب از قدرت و دقت بالایی در حل معادله شرودینگر و محاسبه‌ی ویژه مقادیر انرژی و ویژه توابع متناظر آنها برخوردار می‌باشد.



## فصل پنجم

## نتایج

## ۵-۱- مقدمه

در این فصل سعی داریم معادله‌ی شرودینگر فوق شعاعی (۳-۴۱) را به منظور بررسی حالات انرژی و ویژه توابع شعاعی تریتون در حضور پتانسیل‌های مناسب به روش عددی بیان شده در فصل چهارم حل کرده و به بحث درباره نتایج حاصل پردازیم.

## ۵-۲- تریتون ( ${}^3_1\text{H}$ )

هسته‌ی اتم تریتیوم ( ایزوتوپ اتم هیدروژن با عدد جرمی ۳ ) ، تریتون نامیده می شود. بررسی حالات مقید این هسته روش مطلوبی برای مطالعه و شناخت برهم‌کنش هسته‌ای به‌شمار می‌آید. بررسی‌ها نشان می‌دهد که از حدود  $8.5 \text{ MeV}$  انرژی بستگی تریتون در حدود  $7 \text{ MeV}$  مربوط به برهم‌کنش‌های دوجسمی و  $1.5 \text{ MeV}$  مربوط به وجود برهم‌کنش سه جسمی در این هسته است. اسپین-پاریته حالت پایه‌ی تریتون  $1/2^+$  است و شعاع باری آن با استفاده از پراکندگی الکترون در حدود  $1.75 \pm 0.03 \text{ fm}$  برآورد شده است [۳۲]. در حدود 99.985 درصد از هیدروژن موجود در طبیعت به‌صورت  ${}^1_1\text{H}$  و بقیه به‌صورت  ${}^2_1\text{H}$  وجود دارد. تریتون فقط در واکنش‌های هسته‌ای تولید می‌شود.

## ۵-۳- یکاها و ابعاد مناسب

از آنجا که در فیزیک هسته‌ای معمولاً انرژی‌ها از مرتبه‌ی مگا الکترون ولت ( $\text{MeV}$ ) و فواصل شعاعی از مرتبه‌ی فرمی ( $\text{fm}$ ) هستند، ما نیز برای آنکه انرژی و تابع موج را بر حسب این یکاها به‌دست آوریم، باید در معادله از ثابت‌های مناسب استفاده کنیم. با چشم‌پوشی از اختلاف جرم ناچیز میان پروتون و نوترون جرم میانگین آنها را به عنوان جرم  $m$  در معادله وارد می‌کنیم. یعنی:

$$m = 938.926 \text{ MeV}/c^2 \quad (1-5)$$

و از آنجا که  $\hbar c = 197.329 \text{ MeV}\cdot\text{fm}$  [۱]، داریم

$$\frac{m}{\hbar^2} = \frac{938.926}{197.329^2} \text{ MeV}/(\text{MeV}\cdot\text{fm})^2 = 0.0241 \text{ MeV}^{-1}\cdot\text{fm}^{-2} \quad (2-5)$$

با وارد کردن این مقدار در معادله ی شرودینگر و حل آن، انرژی ها بر حسب MeV و توابع موج بر حسب فاصله ی شعاعی بر حسب fm به دست می آیند.

### ۵-۴- روش پرتاب برای معادله ی شرودینگر

معادله ی شرودینگر یک معادله ی دیفرانسیل ویژه مقداری خطی مرتبه دوم است که باید شرایط مرزی را در دو نقطه ی ابتدایی و انتهایی یک بازه برآورده نماید. بنابراین در معادله ی (۴-۱۱) مقدار  $N = 2$  است و

$$u_1 = u(x), \quad u_2 = \frac{du(x)}{dx}, \quad u_3 = \text{Energy}(E) \quad (3-5)$$

( در اینجا به جای  $y(x)$  از نماد تابع موج شعاعی  $u(x)$  استفاده می کنیم ). همچنین مطابق با آنچه در بخش (۴-۴-۱) گفته شد، تعداد شرایط مرزی در نقطه ی ابتدایی  $(x_1)$  برابر  $n_1 = 2$  ( که یکی از آنها به مقدار اولیه ی تابع موج و دیگری به مشتق اول آن اختصاص دارد ) ، در نقطه ی انتهایی  $x_2$  برابر  $n_2 = 1$  ( که به مقدار تابع موج در این نقطه اختصاص دارد ) و همچنین تعداد مقادیر اولیه ی اختیاری  $n_2 = 1$  است که همان حدس اولیه برای ویژه مقدار انرژی است. بنابراین آرایه های  $n_2$  مؤلفه ای  $V$  و  $F$  نیز هرکدام دارای تنها یک مؤلفه به شکل زیر هستند

$V_1$ : حدس اولیه برای ویژه مقدار انرژی

مقدار  $u(x_2)$  حاصل از پیشروی ( انتگرال گیری عددی ) در معادله به ازای مقدار حدسی انرژی  $F_1$ :

ماتریس ژاکوبین نیز تنها دارای یک عنصر به شکل

$$J_{11} = \frac{\partial u(x_2)}{\partial E_{guess}} \quad (4-5)$$

است که در آن مشتق‌گیری به کمک رابطه‌ی (۴-۱۸) انجام می‌گیرد. در هر مرحله ویژه مقدار انرژی حدسی طبق رابطه‌ی (۴-۲۲) تصحیح می‌شود تا نهایتاً ویژه مقدار انرژی‌ای که به ازای آن، تابع موج شرط مرزی را در  $x_2$  برآورده می‌کند، پیدا شود. در اینجا نقاط  $x_1$  و  $x_2$  به ترتیب در  $0.0001 fm$  (به منظور کاهش خطاهای محاسباتی از قراردادن  $x_1$  دقیقاً در نقطه‌ی صفر اجتناب می‌کنیم) و بی‌نهایت واقع هستند ( $x_1 = 0.0001 fm, x_2 \rightarrow \infty$ ). البته بی‌نهایت جایی است که تابع موج فوق شعاعی در آنجا به سمت صفر میل می‌کند و بنابراین برای هر حالت انرژی متفاوت خواهد بود اما مسلم است که مقدار انرژی در یک حالت مقید نباید به مکان دقیق بی‌نهایت وابسته باشد. شرایط مرزی را به صورت زیر در نظر می‌گیریم

$$u(x_1) = cte \text{ (مثلاً یک)} \quad \left. \frac{du(x)}{dx} \right|_{x=x_1} = 1000, \quad u(x_2) \rightarrow 0 \quad (5-5)$$

علت انتخاب مقدار بزرگ برای مشتق تابع موج در نقطه‌ی ابتدایی، خیز شدید تابع موج در حوالی این نقطه است.

## ۵-۵- بررسی حالات انرژی تریتون در حضور پتانسیل یوکاوا

ذره‌ی میدان در نیروی هسته‌ای یعنی مزون  $\pi$  ( $M_\pi c^2 \approx 140 MeV$ ) برخلاف ذره‌های میدان در نیروهای الکترومغناطیسی و گرانشی دارای جرم محدودی است. به عبارت دیگر برد این نیرو خیلی کوتاه است. برای روشن شدن مطلب می‌بینیم که پیدایش مزونی که از یک نوکلئون به نوکلئون دیگر برای



انتقال نیروی هسته‌ای فرستاده می‌شود، اصل پایداری انرژی را به میزان  $\Delta E$  که در حدود جرم مزون در حال سکون،  $M_\pi c^2$ ، است نقض می‌کند

$$\Delta E \approx M_\pi c^2 \quad (6-5)$$

نقض پایداری انرژی نمی‌تواند بیش از زمان  $\Delta t$  دوام بیاورد چون از اصل عدم قطعیت داریم

$$\Delta t = \frac{\hbar}{M_\pi c^2} \quad (7-5)$$

حتی اگر فرض کنیم که مزون با سرعت نور حرکت کند، بیشترین فاصله‌ای را که می‌تواند در این مدت طی کند برابر خواهد بود با

$$x = c\Delta t = \frac{\hbar}{M_\pi c} = \frac{1}{k} \quad (8-5)$$

این برد نیروی هسته‌ای است که مقدار عددی آن برابر  $1.4 \text{ fm}$  می‌شود. این محاسبه برای میدان الکترومغناطیسی و گرانشی برد بی‌نهایت را به دست می‌دهد زیرا جرم ذره‌ی میدان در آنها صفر است.

یک مدل مقدماتی از نظریه مزونی، انرژی پتانسیل برهم کنش نوکلئون-نوکلئون را به شکل

$$V(x) = -V_0 \frac{\exp(-kx)}{x} \quad (9-5)$$

بیان می‌کند. این پتانسیل در سال ۱۹۳۵ توسط هیدکی یوکاوا [۳۳] به منظور نمایش برهم‌کنش نوکلئون-نوکلئون ارائه گردید و پتانسیل یوکاوا نامیده می‌شود.

در رابطه‌ی (۹-۵)  $V_0$  یک ثابت است و  $k$  که به جرم ذره میدان بستگی دارد و تعیین کننده برد نیرو است با رابطه‌ی (۸-۵) داده می‌شود. با توجه به جرم سکون پایون ( $M_\pi c^2 = 140 \text{ MeV}$ ) مقدار  $k$  برای نیروی هسته‌ای برابر  $0.7 \text{ fm}^{-1}$  به دست می‌آید.

در سال‌های گذشته تلاش‌های فراوانی برای حل معادله‌ی شرودینگر در حضور پتانسیل یوکاوا انجام گرفته است. برخی از روش‌های به‌کار گرفته شده عبارتند از: روش تکرار مجانبی (AIM) <sup>۱</sup> [۳۴]، روش خطی سازی گوسی (QLM) <sup>۲</sup> [۳۵] و روش حل اختلالی معادله‌ی ریکاتی [۳۱ و ۳۶]. اما همانطور که گفتیم این معادله برای پتانسیل یوکاوا دارای حل تحلیلی دقیق نیست و تمام این روش‌ها تقریبی هستند.

در حد  $k \ll 1$ ، پتانسیل یوکاوا به پتانسیل کیلینگبک <sup>۳</sup> با نمایش زیر تبدیل می‌شود

$$V(x) = ax^2 + bx - c/x \quad (۱۰-۵)$$

که در آن  $a, b, c$  ثابت‌های پتانسیل هستند که از بسط پتانسیل یوکاوا حاصل می‌شوند [۳۷ و ۳۸]. پتانسیل یوکاوا همچنین می‌تواند به پتانسیل کرنل <sup>۴</sup> با رابطه‌ی زیر تبدیل شود

$$V(x) = bx - c/x \quad (۱۱-۵)$$

این دو پتانسیل معمولاً در مطالعه‌ی مزون‌ها و باریون‌ها مورد استفاده قرار می‌گیرند [۳۹ و ۴۰]. همچنین به ازای  $k = 0$  پتانسیل یوکاوا به پتانسیل کولنی تبدیل می‌شود.

با قرار دادن پتانسیل یوکاوا در معادله‌ی (۳-۴۱) به فرم معادله‌ی فوق شعاعی سه جسمی شرودینگر در حضور این پتانسیل برهم‌کنشی می‌رسیم

$$-\frac{\hbar^2}{m} \left( \frac{d^2}{dx^2} - \frac{(\gamma+2)^2 - \frac{1}{4}}{x^2} \right) u_{[\gamma]}(x) - V_0 \frac{\exp(-kx)}{x} u_{[\gamma]}(x) = E u_{[\gamma]}(x) \quad (۱۲-۵)$$

<sup>1</sup> Alternative Iteration Method

<sup>2</sup> Quasi-Linearization Method

<sup>3</sup> Killingbeck potential

<sup>4</sup> Cornell potential

## ۵-۵-۱- انرژی بستگی و شعاع باری تریتون

ریشه‌ی میانگین مربعی شعاع باری<sup>۱</sup> تریتون را می‌توان با استفاده از تعریف ابرشعاع محاسبه نمود. با توجه به رابطه‌ی (۳-۴) می‌توانیم ریشه‌ی میانگین مربعی شعاع را به ریشه‌ی میانگین مربعی مجموع فواصل مرکز جرم از هر کدام از ذرات سیستم تعریف کنیم.

$$\langle R_{rms}^2 \rangle^{\frac{1}{2}} = \left\langle \frac{1}{A} \sum_{i=1}^A (\mathbf{r}_i - \mathbf{R})^2 \right\rangle^{\frac{1}{2}} \quad (۱۳-۵)$$

و از رابطه‌ی (۳-۴) داریم

$$x^2 = 2 \sum_{i=1}^A (\mathbf{r}_i - \mathbf{R})^2 \quad (۱۴-۵)$$

پس از روابط (۱۳-۵) و (۱۴-۵) برای  $A=3$  به نتیجه‌ی زیر می‌رسیم

$$R_{rms} = \frac{\langle x^2 \rangle^{\frac{1}{2}}}{\sqrt{6}} \quad (۱۵-۵)$$

در (۱۵-۵) مقدار میانگین مربعی ابرشعاع  $\langle x^2 \rangle$  از رابطه‌ی زیر به دست می‌آید

$$\langle x^2 \rangle = \frac{\int \psi^*(x) x^2 \psi(x) d^3x}{\int \psi^*(x) \psi(x) d^3x} = \frac{\int_0^\infty x^{-5} u^*(x) x^2 u(x) x^5 dx \int Y_\gamma^*(\Omega) Y(\Omega) d\Omega}{\int_0^\infty x^{-5} u^*(x) u(x) x^5 dx \int Y_\gamma^*(\Omega) Y(\Omega) d\Omega} = \frac{\int_0^\infty x^2 |u(x)|^2 dx}{\int_0^\infty |u(x)|^2 dx} \quad (۱۶-۵)$$

نتایج مربوط به حل عددی معادله بالا برای انرژی بستگی (قدر مطلق انرژی حالت پایه) و شعاع باری تریتون به ازای چند مقدار مختلف  $V_0$  در جدول (۵-۱) ارائه شده است. هرچند تابع موج پایه‌ی تریتون شامل حالتی با مقدار  $\gamma=2$  (موج d) نیز می‌باشد اما از آنجا که تریتون در حالت پایه حدود ۹۵ درصد اوقات را در حالت  $\gamma=0$  (موج s) قرار دارد، با تقریب خوبی می‌توان انرژی بستگی تریتون را با لحاظ

<sup>1</sup> Rms charge radius

کردن این مقدار برای  $\gamma$  در معادله‌ی (۵-۹) محاسبه نمود. البته سهم حالت‌های مختلف بسته به نوع پتانسیل اندکی متفاوت است اما در اکثر محاسبات تئوری و تجربی نرخ مجانبی تریتون ( $\eta_t$ ) که نسبت سهم حالت d به حالت s در تابع موج شعاعی حالت پایه می‌باشد در حدود 0.043 ذکر شده است [۴۱]. در جدول (۵-۱) جرم هسته‌ای که با استفاده از معادله‌ی (۵-۱) به انرژی بستگی مربوط می‌شود نیز محاسبه شده است.

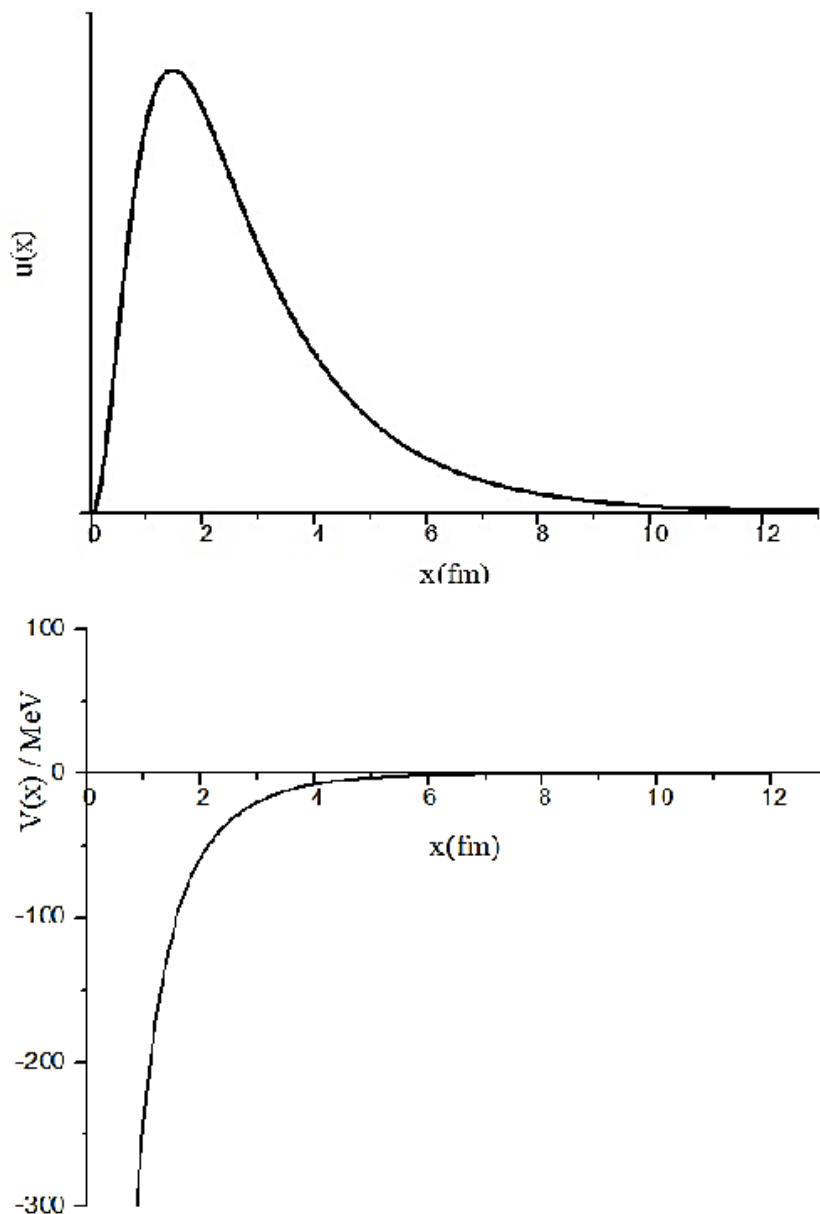
جدول ۵-۱. انرژی بستگی (قدر مطلق انرژی حالت پایه) و جرم هسته ای تریتون

به ازای  $k = 0.7 \text{ fm}^{-1}$  و مقادیر مختلف  $V_0$

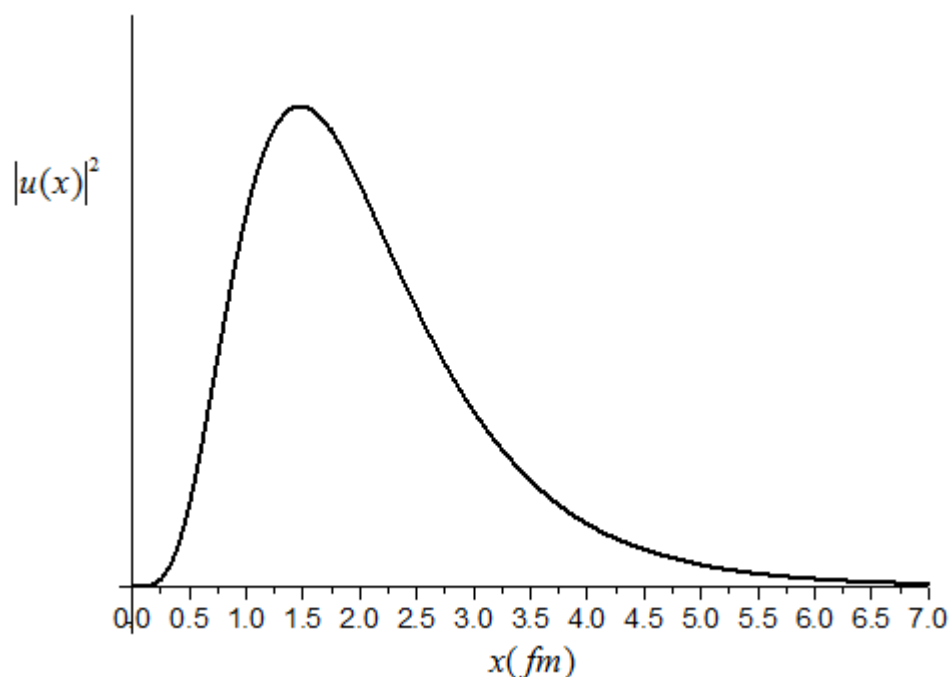
$V_0$ (MeV)	انرژی بستگی (MeV)	جرم هسته (u)	شعاع باری (fm)
465.0	6.2804	3.01786	1.023
467.0	6.7228	3.01738	1.008
470.0	7.4021	3.01666	0.987
471.0	7.6327	3.01641	0.980
472.0	7.8654	3.01616	0.974
473.0	8.1001	3.01591	0.967
474.0	8.3369	3.01565	0.961
474.6	8.4800	3.01550	0.958
475.0	8.5758	3.01540	0.955
476.0	8.8167	3.01521	0.949
477.0	9.0596	3.01495	0.943
<b>مقدار تجربی</b>	8.4818	3.01550	$1.759 \pm 0.036$

با توجه به جدول مقدار انرژی بستگی محاسبه شده برای تریتون به ازای  $V_0 = 474.6 \text{ MeV}$  به مقدار تجربی نزدیک است، اما در مقادیر محاسبه شده برای شعاع باری با مقدار تجربی اختلاف وجود دارد.

در بخش بعد سعی خواهیم کرد با اصلاح پتانسیل به مقدار تجربی شعاع باری تریتون نزدیک تر شویم. در شکل (۱-۵) تابع موج حالت پایه ی تریتون (به همراه پتانسیل) و در شکل (۲-۵) چگالی احتمال حالت پایه به ازای این مقدار پتانسیل رسم شده است.



شکل (۱-۵). تابع موج حالت پایه تریتون در حضور پتانسیل یوکاوا



شکل (۲-۵). چگالی احتمال شعاعی حالت پایه تریتون در حضور پتانسیل یوکاوا

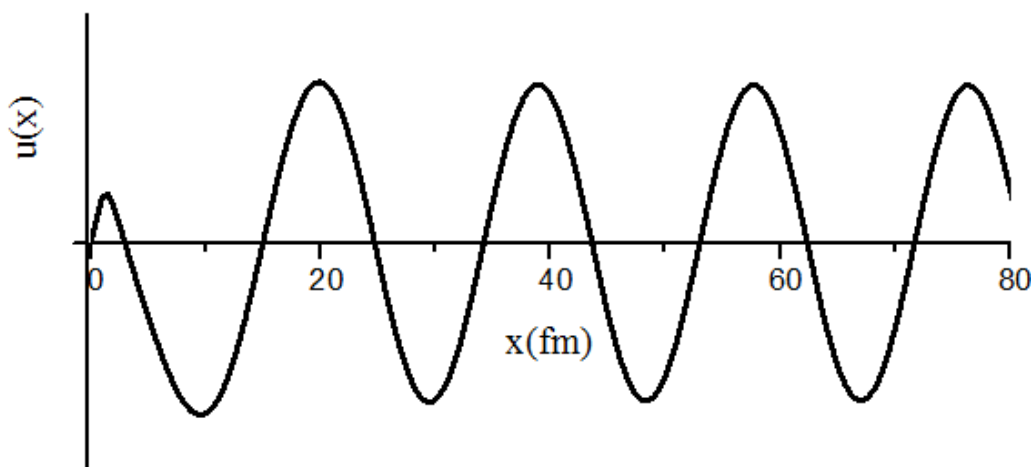
### ۵-۲-۵-۵- حالات برانگیخته

برای محاسبه‌ی حالات مقید برانگیخته‌ی احتمالی در طیف انرژی تریتون باید با مقادیر انرژی حدسی بزرگتر از مقدار انرژی حالت پایه، کار محاسبه‌ی عددی را در حضور پتانسیل شکل (۵-۱) ادامه دهیم. هنگامی که این کار را انجام می‌دهیم، با یک طیف انرژی مثبت به ازای تمامی مقادیر  $\gamma$  روبرو می‌شویم که نشان دهنده‌ی عدم وجود حالت مقید برانگیخته در تریتون است. مثلاً در اولین تراز برانگیخته برای حالت  $\gamma=0$  مقدار انرژی با در نظر گرفتن بی‌نهایت در فاصله‌ی 15 فرمی برابر 4.7251 MeV به دست می‌آید که با تغییر مکان بی‌نهایت این مقدار به صورت مثبت تغییر می‌کند (هرچه نقطه‌ی بی‌نهایت به فاصله‌ی دورتری می‌رود در واقع طول موج دوبروی ذره افزایش می‌یابد که این خود باعث کاهش انرژی ذره می‌شود). تابع موج حالت برانگیخته برای تریتون به ازای این مقدار انرژی در شکل (۵-۲) رسم شده است. همانطور که مشاهده می‌شود، تابع موج رفتار سینوسی دارد که رفتار مربوط به

سیستم نامقید (ذره آزاد) است. مقادیر انرژی مثبت با افزایش  $\gamma$  رفته رفته افزایش می یابند. در جدول (۲-۵) مقادیر انرژی جاصل برای چند حالت مختلف برانگیخته آمده است. همانطور که از جدول مشخص است برای حالات برانگیخته با طیفی از ترازهای مثبت روبرو هستیم.

جدول (۲-۵). طیف انرژی مثبت (نامقید) برای حالات برانگیخته در تریتون در حضور پتانسیل یوکاوا

$\gamma$	حالت انرژی	$x_2 (fm)$	$E(MeV)$
0	حالت دوم	15	+4.7251
		16	+4.2062
		17	+3.7295
1	حالت اول	15	+7.2792
		16	+6.4401
		17	+5.7335
2	حالت اول	15	+10.510
		16	+9.2597
		17	+8.2171



شکل (۳-۵). تابع موج حالات برانگیخته در تریتون

### ۵-۵-۳- بررسی حل تحلیلی با استفاده از شکل تقریبی جمله‌ی $\frac{1}{x^2}$

معادله (۹-۵) را می‌توان با اعمال تقریب با استفاده از روش  $NU$  نیز حل کرد. در این قسمت برای

بررسی میزان اعتبار این تقریب در حوزه‌ی فیزیک هسته‌ای به حل تحلیلی معادله می‌پردازیم. برای حل

یک معادله به روش  $NU$  باید معادله مورد نظر فرم کلی زیر را دارا باشد [۳۰]

$$\left[ \frac{d^2}{ds^2} + \frac{\alpha_1 - \alpha_2 s}{s(1 - \alpha_3 s)} \frac{d}{ds} + \frac{-\xi_1 s^2 + \xi_2 s - \xi_3}{[s(1 - \alpha_3 s)]^2} \right] \psi(s) = 0 \quad (17-5)$$

بر طبق روش  $NU$ ، اگر معادله قابل تبدیل به فرم بالا باشد، ویژه توابع و ویژه مقادیر انرژی از رابطه زیر

قابل محاسبه خواهند بود

$$\psi(s) = s^{\alpha_{12}} (1 - \alpha_3)^{-\alpha_{12} - \frac{\alpha_{13}}{\alpha_3}} P_{\nu}^{(\alpha_{10}-1, \frac{\alpha_{11}-\alpha_{10}-1}{\alpha_3})} (1 - 2\alpha_3 s) \quad (18-5)$$

$$\alpha_2 \nu - (2\nu + 1)\alpha_5 + (2\nu + 1)(\sqrt{\alpha_9} + \alpha_3 \sqrt{\alpha_8}) + \nu(\nu - 1)\alpha_3 + \alpha_7 + 2\alpha_3 \alpha_8 + 2\sqrt{\alpha_8 \alpha_9} = 0 \quad (19-5)$$

که در آن  $P_{\nu}^{(a,b)}$  چندجمله‌ای های ژاکوبی هستند و  $\alpha_i$  ها ( $i > 3$ ) با روابط زیر داده می‌شوند

$$\alpha_4 = \frac{1}{2}(1 - \alpha_1), \quad \alpha_5 = \frac{1}{2}(\alpha_2 - 2\alpha_3),$$

$$\alpha_6 = \alpha_5^2 + \xi_1, \quad \alpha_7 = 2\alpha_4 \alpha_5 - \xi_2,$$

$$\alpha_8 = \alpha_4^2 + \xi_3, \quad \alpha_9 = \alpha_3 \alpha_7 + \alpha_3^2 \alpha_8 + \alpha_6,$$

$$\alpha_{10} = \alpha_1 + 2\alpha_4 + 2\sqrt{\alpha_8}, \quad \alpha_{11} = \alpha_2 - 2\alpha_5 + 2(\sqrt{\alpha_9} + \alpha_3 \sqrt{\alpha_8}),$$

$$\alpha_{12} = \alpha_4 + \sqrt{\alpha_8}, \quad \alpha_{13} = \alpha_5 - (\sqrt{\alpha_9} + \alpha_3 \sqrt{\alpha_8}) \quad (20-5)$$

به دلیل آنکه معادله‌ی (۹-۵) با پتانسیل یوکاوا حل تحلیلی دقیق ندارد، از تقریب (۲۱-۵) برای ترم

مرکزی استفاده می‌کنیم



$$\frac{1}{x^2} \approx 4k^2 \frac{e^{-2kx}}{(1-e^{-2kx})^2}, \quad kx \ll 1 \quad (21-5)$$

و یا به صورت معادل

$$\frac{1}{x} \approx 2k \frac{e^{-kx}}{(1-e^{-2kx})} \quad (22-5)$$

با اعمال این تقریب ها معادله ی (۹-۵) به معادله ی (۲۳-۵) تبدیل می شود

$$\left( \frac{d^2}{dx^2} + \frac{mE}{\hbar^2} + \frac{4mkV_0}{\hbar^2} \frac{e^{-2kx}}{(1-e^{-2kx})} - [4\gamma(\gamma+4)+15]k^2 \frac{e^{-2kx}}{(1-e^{-2kx})^2} \right) u_{\nu\gamma}(x) = 0 \quad (23-5)$$

اگر در معادله (۲۳-۵) تغییر متغیر  $s = e^{-2kx}$  را اعمال کنیم به رابطه زیر می رسیم

$$\begin{aligned} & \frac{d^2 u_{\nu\gamma}(s)}{ds^2} + \frac{(1-s)}{s(1-s)} \frac{du_{\nu\gamma}(s)}{ds} + \frac{1}{s^2(1-s)^2} \left[ \left( \frac{mE}{4\hbar^2 k^2} - \frac{mV_0}{2\hbar^2 k} \right) s^2 + \right. \\ & \left. \left( -\frac{mE}{2\hbar^2 k^2} + \frac{mV_0}{2\hbar^2 k} - \frac{(4\gamma(\gamma+4)+15)}{4} \right) s + \frac{mE}{4\hbar^2 k^2} \right] u_{\nu\gamma}(s) = 0 \end{aligned} \quad (24-5)$$

اکنون معادله به فرم استاندارد روش  $NU$  تبدیل شده است. از مقایسه روابط (۱۷-۵) و (۱۰-۵) عبارات مربوط به  $\xi_i$  ها و  $\alpha_i$  ها قابل حصول است.

$$\xi_1 = \frac{mV_0}{2\hbar^2 k} - \frac{mE}{4\hbar^2 k^2}, \quad \xi_2 = -\frac{mE}{2\hbar^2 k^2} + \frac{mV_0}{2\hbar^2 k} - \frac{(4\gamma(\gamma+4)+15)}{4}, \quad \xi_3 = -\frac{mE}{4\hbar^2 k^2}$$

$$\alpha_1 = \alpha_2 = \alpha_3 = 1, \quad \alpha_4 = 0, \quad \alpha_5 = -\frac{1}{2},$$

$$\alpha_6 = \frac{1}{4} + \frac{mV_0}{2\hbar^2 k} - \frac{mE}{4\hbar^2 k^2}, \quad \alpha_7 = \frac{mE}{2\hbar^2 k^2} - \frac{mV_0}{2\hbar^2 k} + \frac{(4\gamma(\gamma+4)+15)}{4}, \quad \alpha_8 = -\frac{mE}{4\hbar^2 k^2},$$

$$\alpha_9 = \gamma(\gamma+4)+4, \quad \alpha_{10} = 1 + 2\sqrt{-\frac{mE}{4\hbar^2 k^2}}, \quad \alpha_{11} = 2 + 2\left( \sqrt{\gamma(\gamma+4)+4} + \sqrt{-\frac{mE}{4\hbar^2 k^2}} \right),$$

$$\alpha_{12} = \sqrt{-\frac{mE}{4\hbar^2 k^2}}, \quad \alpha_{13} = -\frac{1}{2} - \left( \sqrt{\gamma(\gamma+4)+4} + \sqrt{-\frac{mE}{4\hbar^2 k^2}} \right) \quad (25-5)$$

با استفاده از این ضرایب ویژه مقادیر انرژی به کمک رابطه (5-12) به صورت زیر به دست می‌آیند

$$E_{v\gamma} = -\frac{4k^2\hbar^2}{m} \left( \frac{-v(v+1) + \left(\frac{m}{\hbar^2}\right)\left(\frac{V_0}{2k}\right) - \gamma(\gamma+4) - (2v+1)\sqrt{\gamma(\gamma+4)+4} - \frac{17}{4}}{2v+1+2\sqrt{\gamma(\gamma+4)+4}} \right)^2 \quad (26-5)$$

ویژه توابع متناظر نیز از رابطه ی (5-11) به شکل زیر حاصل می شوند

$$\psi(s) = s \sqrt{\frac{mE}{4\hbar^2 k^2}} (1-s)^{-\sqrt{\frac{mE}{4\hbar^2 k^2}} + \frac{1}{2} + \left( \sqrt{\gamma(\gamma+4)+4} + \sqrt{-\frac{mE}{4\hbar^2 k^2}} \right)} P_v \left( 2\sqrt{\frac{mE}{4\hbar^2 k^2}}, 2+2\sqrt{\gamma(\gamma+4)+4} \right) (1-2s) \quad (27-5)$$

برخی مقادیر انرژی حاصل از رابطه ی (5-26) در جدول (5-2) به منظور مقایسه با نتایج عددی جدول (5-1) ارائه شده است.

جدول 5-3. انرژی بستگی محاسبه شده با روش تحلیلی تقریبی به ازای  $k = 0.7 \text{ fm}^{-1}$  و مقادیر مختلف  $V_0$

$V_0 / \text{MeV}$	انرژی بستگی (MeV)
465	10.0155
470	11.0221
475	12.0760

همانطور که مشاهده می‌شود نتایج روش تحلیلی با نتایج عددی اختلاف زیادی دارند. وجود این اختلاف به علت تقریبی است که در روش تحلیلی استفاده شده است (رابطه (5-14)). در واقع این تقریب، پتانسیل یوکاوا را به صورت حدی به پتانسیل کیلینگبک و یا کولنی نزدیک می‌سازد. با افزایش  $kx$  این اختلاف بیشتر می‌شود و خطای روش تحلیلی رفته رفته افزایش می‌یابد. این در حالی است که برای  $k \ll 1$  نتایج تحلیلی بر جواب های عددی منطبق می‌شود. از آنجا که در محدوده ی فیزیک هسته‌ای، به علت برد

کم نیروی نوکلئون- نوکلئون، عمدتاً حاصلضرب  $kx$  با یک قابل مقایسه است، بنابراین نتایج حاصل از این تقریب برای این حوزه معتبر نیست و با خطای زیادی همراه است.

## ۵-۶- بررسی تریتون در حضور مدل پتانسیل یوکاوا اصلاح شده

همانطور که گفته شد پتانسیل یوکاوا یک مدل مقدماتی و بسیار ساده برای توصیف پتانسیل هسته‌ای است و همواره ممکن است با خطای قابل توجهی همراه باشد. ما برای آنکه توصیف دقیق‌تری از پتانسیل هسته‌ای ارائه دهیم و به نتایج قابل اعتماد تری دست یابیم، سعی داریم جمله‌ای را به این پتانسیل اضافه کنیم. با انجام این کار قادر خواهیم بود عمق تقریبی پتانسیل نوکلئون-نوکلئون در تریتون را نیز تخمین بزنیم.

جمله‌ی تصحیحی مربوط به نیروی دافعه‌ی هسته‌ای در فواصل کم بین نوکلئون‌ها است. همانطور که در فصل دوم گفتیم از آزمایش‌های پراکندگی مشخص شده که نیروی نوکلئون-نوکلئون در فواصل کمتر از  $0.5 \text{ fm}$  به شدت دافعه است. عقیده بر این است که این نیروی دافعه مربوط به نیروهای ناشی از تبادل مزون‌های  $\omega$  است. می‌توانیم برای بیان این نیروی دافعه از یک پتانسیل با شکل تابعی (۵-۹) ولی با علامت مثبت استفاده کنیم. با توجه به چند برابر بودن جرم مزون‌های  $\omega$  نسبت به جرم پایون‌ها ( $M_\omega c^2 = 783 \text{ MeV}$ ) بحث قبلی منجر به ارائه‌ی یک نیروی دافعه با برد بسیار کم و با  $k \approx 4.9 \text{ fm}^{-1}$  می‌شود. بنابراین شکل عمومی پتانسیل اصلاح شده‌ی ما با رابطه (۵-۲۸) بیان می‌شود

$$V(x) = -V_{0,1} \frac{\exp(-k_1 x)}{x} + V_{0,2} \frac{\exp(-k_2 x)}{x} \quad (۲۸-۵)$$

که در آن  $V_{0,1}$ ،  $V_{0,2}$  مقادیری مثبت دارند و

$$k_1 = 0.7 \text{ fm}^{-1}, \quad k_2 = 4.9 \text{ fm}^{-1} \quad (۲۹-۵)$$

## ۵-۶-۱- انرژی بستگی و شعاع باری

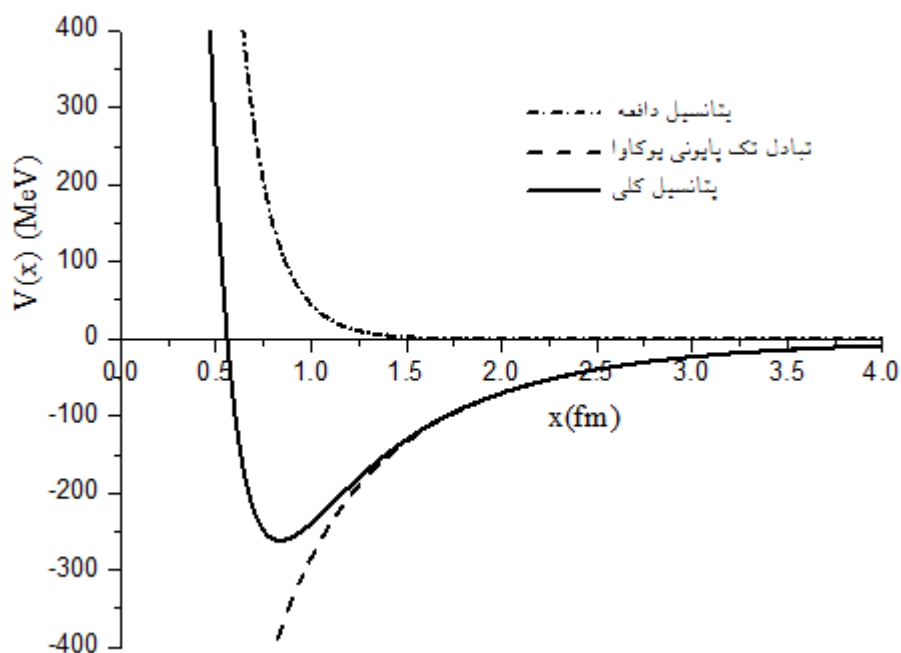
در جدول (۳-۵) نتایج حل معادله شرودینگر (۳-۴۱) را در حضور پتانسیل (۵-۲۸) برای حالت پایه‌ی تریتون به ازای برخی مقادیر  $V_{0,1}$  و  $V_{0,2}$  آورده‌ایم.  $V_{0,2}$  را به گونه‌ای انتخاب کرده‌ایم که پتانسیل در نزدیکی  $0.5 \text{ fm}$  به سمت  $+\infty$  میل کند.

جدول (۴-۵). انرژی بستگی، جرم هسته‌ای و شعاع باری محاسبه شده برای تریتون به ازای برخی مقادیر پارامترهای پتانسیل (۵-۲۸)

$V_{0,1}/\text{MeV}$	$V_{0,2}/\text{MeV}$	انرژی بستگی (MeV)	جرم هسته (u)	شعاع باری (fm)
556	6000	6.2263	3.01792	1.153
558	6000	6.4980	3.01763	1.144
560	6000	6.7732	3.01733	1.135
562	6000	7.0512	3.01703	1.124
564	6000	7.3322	3.01673	1.116
567	6000	7.7595	3.01627	1.103
570	6000	8.1934	3.01581	1.091
572	6000	8.4863	3.01549	1.083
575	6000	8.9312	3.01501	1.076
577	6000	9.2314	3.01469	1.065
مقدار تجربی		8.4818	3.01550	$1.759 \pm 0.036$

مقایسه‌ی نتایج جدول (۳-۵) با جدول (۴-۵) نشان می‌دهد که با افزودن جمله‌ی جدید به پتانسیل، برآورد ما از شعاع تریتون در حدود  $0.15 \text{ fm}$  به مقدار تجربی نزدیکتر شده و این نشان می‌دهد که شباهت پتانسیل ما با پتانسیل واقعی بین نوکلئون‌ها در تریتون افزایش یافته است. در واقع بهترین مقادیر محاسبه شده برای انرژی توسط ما مقادیری هستند که به‌طور همزمان برآورد مناسب‌تری از شعاع تریتون نیز

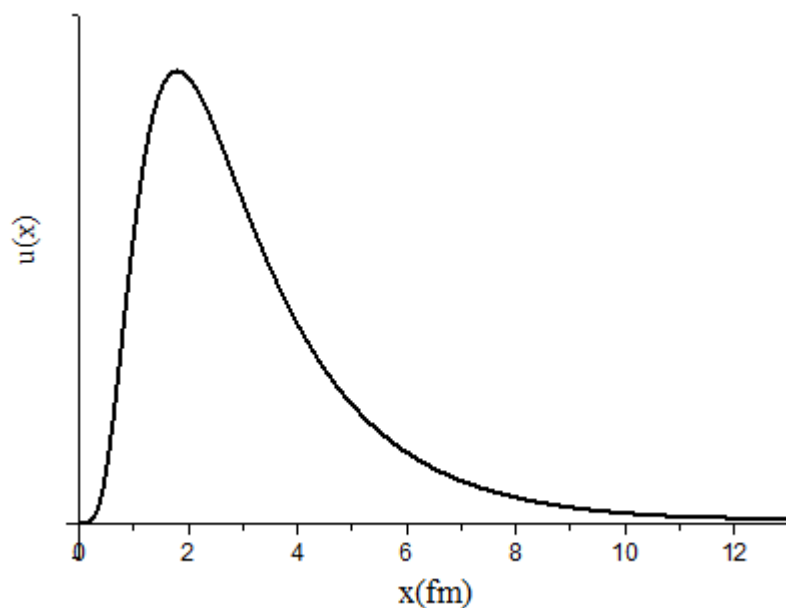
داشته باشند یعنی در حدود  $6.2 \text{ MeV}$  تا  $7 \text{ MeV}$ . در شکل (۳-۵) رفتار هرکدام از جملات پتانسیل به همراه ترکیب آنها که پتانسیل کلی (۲۱-۵) را تشکیل می‌دهند، رسم شده است. همانطور که در شکل (۳-۵) مشخص است، این پتانسیل رفتار مورد نظر ما را ارائه می‌دهد، یعنی در حدود فاصله‌ی ۴ تا ۵ فرمی تقریباً صفر می‌شود و در فواصل کمتر از ۰.۵ فرمی به سمت  $+\infty$  میل می‌کند. اکنون رفتار کیفی پتانسیل بسیار شبیه رفتار پتانسیل با مغزی نرم را یاد است.



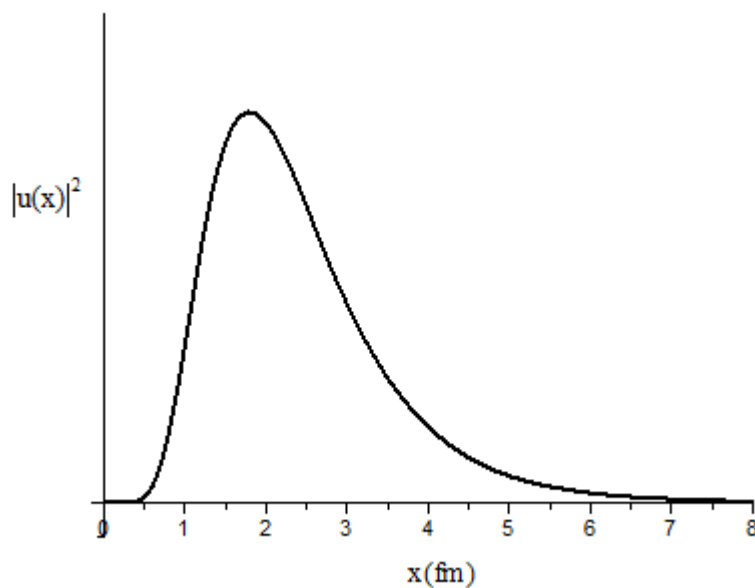
شکل (۴-۵). رفتار هریک از جملات و جمله کلی پتانسیل رابطه (۲۱-۵)

همچنین با توجه به شکل، عمق تقریبی چاه پتانسیل نوکلئون- نوکلئون در تریتون با استفاده از مدل پتانسیل اصلاح شده‌ی ما در حدود  $250 \text{ MeV}$  برآورد شده است. از آنجا که انرژی بستگی تریتون در حدود  $8.5 \text{ MeV}$  است بنابراین حالت پایه آن با این مقدار انرژی خیلی نزدیک به لبه‌ی چاه پتانسیل شکل (۳-۵) قرار می‌گیرد. این مطلب بیان می‌کند که تریتون در حالت پایه قیدی بسیار سست دارد و بنابراین

احتمال وجود حالت مقید برانگیخته در تریتون بسیار ضعیف است. در شکل‌های (۴-۵) و (۵-۵) نمودار تابع موج (بهنجار نشده) و چگالی احتمال فوق شعاعی حالت پایه در حضور پتانسیل شکل (۳-۵) به ازای انرژی  $8.4863 \text{ MeV}$  - رسم شده است.



شکل (۵-۵). تابع موج حالت پایه‌ی تریتون در حضور پتانسیل (۲۱-۵)



شکل (۶-۵). چگالی احتمال شعاعی حالت پایه‌ی تریتون در حضور پتانسیل (۲۱-۵)

## ۵-۶-۲- حالات برانگیخته

برای محاسبه‌ی حالات برانگیخته در حضور پتانسیل جدید نیز به همان روش قبلی عمل می‌کنیم. با انجام این کار بازهم برای حالات برانگیخته در تریتون یک طیف از انرژی مثبت (جدول (۵-۲۱)) حاصل می‌شود که بیانگر عدم وجود حالت مقید برانگیخته در تریتون است. توابع موج شعاعی نیز رفتاری مشابه شکل (۵-۲) دارند. بنابراین طبق محاسبات ما وجود حالت انرژی مقید برانگیخته در تریتون منتفی است و این هسته به صورت تک حالت مقید وجود دارد. در داده‌های معتبر تجربی شامل ترازهای انرژی هسته‌ها نیز هیچ حالت برانگیخته‌ی مقیدی برای تریتون ذکر نشده است [۴۲].

جدول (۵-۵). طیف انرژی مثبت (نامقید) برای حالات برانگیخته در تریتون در حضور پتانسیل (۵-۲۱)

$\gamma$	حالت انرژی	$x_2(fm)$	$E(MeV)$
0	حالت دوم	15	+4.7827
		16	+4.2062
		17	+3.7295
1	حالت اول	15	+7.2162
		16	+6.3976
		17	+5.7044
2	حالت اول	15	+10.487
		16	+9.2446
		17	+8.2070

## نتیجه گیری:

در این پایان نامه نخست با در نظر گرفتن پتانسیل یوکاوا به عنوان پتانسیل نوکلئون- نوکلئون و حل معادله شرودینگر فوق شعاعی سه جسمی برای آن، اقدام به محاسبه ی انرژی بستگی و تابع موج شعاعی تریتون کردیم .

از مقایسه نتایج حاصل با مقدار تجربی انرژی بستگی تریتون، ضریب مناسب پتانسیل یوکاوا را برای این هسته به دست آوردیم. با توجه به اینکه اکتفا به تنها یک پارامتر پدیده شناسی در این زمینه صحیح به نظر نمی آید، شعاع باری تریتون را نیز در حالت پایه محاسبه کردیم که مقداری با شعاع تجربی اختلاف داشت. سپس سعی کردیم با استفاده از این پتانسیل انرژی ترازهای برانگیخته در تریتون را به دست آوریم. نتیجه تمام حالات برانگیخته، طیف انرژی مثبت بود که به معنی عدم وجود حالت مقید برانگیخته است.

در اینجا به دلیل آنکه حل تحلیلی دقیق معادله ی شرودینگر برای پتانسیل یوکاوا غیرممکن است، برای یافتن جواب های دقیق از روش عددی پرتاب استفاده کردیم.

از آنجا که پتانسیل یوکاوا یک مدل مقدماتی از برهم کنش بین نوکلئون هاست و برآورد ضعیفی از شعاع باری تریتون دارد، در مرحله ی بعدی جمله ای به آن افزودیم تا آن را به پتانسیل واقعی بین نوکلئون ها در تریتون نزدیک تر کنیم. این جمله مربوط به تبادل مزون های سنگین  $\omega$  ی عامل نیروی دافعه در فواصل کمتر از نیم فرمی است که باعث شد مقدار محاسبه شده توسط ما برای شعاع باری در حدود 0.15 fm به مقدار تجربی نزدیک تر شود.

می توان گفت با پتانسیل های مرکزی بیش از این نمی توان به یک هماهنگی میان مقادیر انرژی بستگی و شعاع باری دست یافت و در واقع نتایج ما نشان می دهند که محاسبات مبتنی بر پتانسیل هایی مرکزی و



نیروهای دو جسمی مقدار انرژی بستگی و شعاع باری تریتون را اندکی کمتر از مقادیر تجربی پیش‌بینی می‌کنند.

برای هماهنگی بیشتر باید جملات شامل پتانسیل‌های تانسوری که حالات تکانه‌ی زاویه‌ای آمیخته را در تابع موج حالت پایه وارد محاسبات می‌کنند به پتانسیل اضافه کرد و همچنین اثرات نیروهای سه‌جسمی را نیز در نظر گرفت که کار را بسیار پیچیده می‌کنند. سایر اثرات مانند جملات اسپینی نیز می‌توانند به بهبود نتایج کمک کنند.

با انجام مراحل قبلی برای مدل پتانسیل یوکاوا اصلاح‌شده توانستیم تخمینی از عمق چاه پتانسیل هسته‌ای در تریتون نیز داشته باشیم. این مقدار در حدود  $250 \text{ MeV}$  برآورد شد که نشان از سست بودن حالت مقید تریتون ( $8.5 \text{ MeV}$ ) دارد. در حضور این پتانسیل نیز طیف انرژی برای حالات برانگیخته‌ی تریتون شامل انرژی‌های مثبت پیش‌بینی شد که با اطلاعات تجربی مبنی بر عدم وجود حالت مقید برانگیخته در طیف تریتون کاملاً در توافق است.

## پیوست

در این بخش قسمتی از برنامه‌ی کامپیوتری که معادله‌ی شرودینگر (۳-۴۱) را در حضور پتانسیل یوکاوا برای حالت  $\gamma = 0$  حل کرده و ویژه مقادیر انرژی را محاسبه می‌کند، آمده است.

```
! Main program:
PROGRAM shootingmethod
IMPLICIT NONE
INTEGER nvar,N2
PARAMETER (N2=1)
REAL dx,x1,x2,v(N)
LOGICAL check
COMMON / shootingm / dx           !Communicates with load, score, and derivs.
COMMON / caller/ x1,x2,nvar      !Communicates with shoot.
! USES newt
dx=1.e-4                         !Avoid evaluating derivatives exactly at x = 0.
nvar=3                            !Number of equations.
write(*,*) 'input initial guess for energy'
read(*,*) v(1)
x1=0.+dx !Set range of integration.
x2=15
call newt(v,N2,check)             !Find v that zeros function f in score.
if(check)then
write(*,*) 'shoot failed; bad initial guess'
else
write(*, '(1x,t6,a)') 'energy'
write(*, '(1x,f12.6)') v(1)
goto 1
endif
END Program shootingmethod

!.....
SUBROUTINE newt(x,n,check)
  INTEGER n,nn,NP,MAXITS
  LOGICAL check
  REAL x(n),fvec,TOLF,TOLMIN,TOLX,STPMX
  PARAMETER (NP=40,MAXITS=200,TOLF=1.e-4,TOLMIN=1.e-6,TOLX=1.e-
7,STPMX=100.)
  COMMON /newtv/ fvec(NP),nn
  SAVE /newtv/
  ! USES fdjac,fmin,lnsrch,lubksb,ludcmp
  INTEGER i,its,j,indx(NP)
  REAL d,den,f,fold,stpmax,sum,temp,test,fjac(NP,NP),g(NP),p(NP),xold(NP),fmin
  EXTERNAL fmin
  nn=n
```

```

    f=fmin(x)
    test=0.
    do 11 i=1,n
    if(abs(fvec(i)).gt.test)test=abs(fvec(i))
11 continue
    if(test.lt..01*TOLF)then
    check=.false.
    return
    endif
    sum=0.
    do 12 i=1,n
    sum=sum+x(i)**2
12 continue
    stpmax=STPMX*max(sqrt(sum),float(n))
    do 21 its=1,MAXITS
    call fdjac(n,x,fvec,NP,fjac)
    do 14 i=1,n
    sum=0.
    do 13 j=1,n
    sum=sum+fjac(j,i)*fvec(j)
13 continue
    g(i)=sum
14 continue
    do 15 i=1,n
    xold(i)=x(i)
15 continue
    fold=f
    do 16 i=1,n
    p(i)=-fvec(i)
16 continue
    call ludcmp(fjac,n,NP,indx,d)
    call lubksb(fjac,n,NP,indx,p)
    call lnsrc(n,xold,fold,g,p,x,f,stpmax,check,fmin)
    test=0.
    do 17 i=1,n
    if(abs(fvec(i)).gt.test)test=abs(fvec(i))
17 continue
    if(test.lt.TOLF)then
    check=.false.
    return
    end if
    if(check)then
    test=0.
    den=max(f,.5*n)
    do 18 i=1,n
    temp=abs(g(i))*max(abs(x(i)),1.)/den
    if(temp.gt.test)test=temp
18 continue
    if(test.lt.TOLMIN)then
    check=.true.

```

```

else
check=.false.
endif
return
endif
test=0.
do 19 i=1,n
temp=(abs(x(i)-xold(i)))/max(abs(x(i)),1.)
if(temp.gt.test)test=temp
19 continue
if(test.lt.TOLX)return
21 continue
pause 'MAXITS exceeded in newt'
END
!.....
! SUBROUTINE shoot(n2,v,f) is named "funcv" for use with "newt"
SUBROUTINE funcv(n2,v,f)
INTEGER n2,nvar,kmax,kount,KMAXX,NMAX
REAL f(n2),v(n2),x1,x2,dxsav,yp,yp,EPS
PARAMETER (NMAX=50,KMAXX=500,EPS=1.e-6)
COMMON /caller/ x1,x2,nvar
COMMON /path/ kmax,kount,dxsav,yp(KMAXX),yp(NMAX,KMAXX)
! USES derivs,load,odeint,rkqs,score

INTEGER nbad,nok
REAL h1,hmin,y(NMAX)
EXTERNAL derivs,rkqs
kmax=0
h1=(x2-x1)/100.
hmin=0.
call load(x1,v,y)
call odeint(y,nvar,x1,x2,EPS,h1,hmin,nok,nbad,derivs,rkqs)
call score(x2,y,f)
return
END
!.....
SUBROUTINE load(x1,v,y)
REAL dx,x1,v(1),y(3)
COMMON /shootingm/ dx
!Supplies starting values for integration at x1
y(3)=v(1)
y(2)=1000
y(1)=1
return
END
!.....
SUBROUTINE score(x2,y,f)
REAL dx,f(1),y(3)
COMMON /shootingm/ dx
!Tests whether boundary condition at x2 is satisfied.
f(1)=y(1)

```

```

return
END
!.....
SUBROUTINE derivs(x,y,dydx)
REAL dx,x,dydx(3),y(3),v0,k
COMMON /shootingm/ dx
                                !Evaluates derivatives for odeint.

v0=474
k=.7

dydx(1)=y(2)
dydx(2)=(-938.926/197.329**2)*(y(3)+v0*exp(-k*x)/x)*y(1)+15*y(1)/(4*x**2)
dydx(3)=0.0
return
END
!.....

```

البته این برنامه از زیرروال های 'lubksb'، 'ludcmp'، 'lnsrch'، 'fdjac'، 'odeint'، 'rkqs'، 'rkck' و تابع خارجی 'fmin' نیز استفاده می کند که در اینجا به دلیل گسترده شدن بیش از حد مطلب از آوردن آنها پرهیز کرده ایم (خواننده می تواند به مرجع [۲۱] مراجعه کند). برای رسم توابع موج از برنامه‌ی جداگانه‌ای به شکل زیر استفاده کرده ایم.

! Main program:

```

PROGRAM wavefplot
                                ! driver for routine odeint

IMPLICIT NONE
INTEGER KMAXX,NMAX,NVAR
PARAMETER (KMAXX=200,NMAX=50,NVAR=3)
INTEGER i,kmax,kount,nbad,nok,nrhs
REAL dxsav,eps,h1,hmin,x1,x2,x,y,ystart(NVAR)
COMMON /path/ kmax,kount,dxsav,x(KMAXX),y(NMAX,KMAXX(
COMMON nrhs
EXTERNAL derivs,rkqs
OPEN(14,file="wave function.doc")
nrhs=0
x1=.0001

```

```

x2=30
ystart(1)=1                !initial value for the wave function at x1
ystart(2)=1000            !initial value for the wave function derivative at x1
ystart(3)= -8.3369        !Energy eigenvalue
eps=1.0e-4
h1=.1
hmin=0.0
kmax=100
dxsav=(x2-x1)/200.0
call odeint(ystart,NVAR,x1,x2,eps,h1,hmin,nok,nbad,derivs,rkqs)
write(*,'(/1x,a,t30,i3)') 'Successful steps:',nok
write(*,'(1x,a,t30,i3)') 'Bad steps:',nbad
write(*,'(1x,a,t30,i3)') 'Function evaluations:',nrhs
write(*,'(1x,a,t30,i3)') 'Stored intermediate values:',kount
do 11 i=1,kount
write(*,'(1x,f10.4,2x,2f14.6)') x(i),y(1,i)
write(14,*) x(i),y(1,i)
11 continue

                                END PROGRAM wavefplot

!.....

SUBROUTINE derivs(x,y,dydx)
REAL dx,x,dydx(3),y(3),v0,k
COMMON /shootingm/ dx
                                !Evaluates derivatives for odeint.
v0=474
k=.7

dydx(1)=y(2)
dydx(2)=(-938.926/197.329**2)*(y(3)+v0*exp(-k*x)/x)*y(1)+15*y(1)/(4*x**2)
dydx(3)=0.0
return
END
!.....

```

این برنامه نیز از زیر روال های odeint, rkqs و rkck استفاده می کند.

## مراجع

- [۱] کنت کرین، (۱۳۷۴)، "آشنایی با فیزیک هسته ای" جلد اول، ابوکاظمی ا، رهبر م، چاپ ششم، مرکز نشر دانشگاهی، تهران
- [2] D. Griffiths, (2004), "Introduction to Elementary Particles", WILEY VCH verlag GmbH & Co. KgaA, Germany, pp. 55
- [۳] والتر می یرهوف، (۱۳۷۱)، "مبانی فیزیک هسته ای"، رحیمی م، چاپ دوم، انتشارات دانشگاه فردوسی، مشهد
- [۴] برنارد ال. کوهن، (۱۳۷۰)، "مفاهیم فیزیک هسته ای"، مدرس م، معصومی ر، چاپ اول، مرکز نشر دانشگاهی، تهران
- [5] C. A. Bertulani, (2007), "Nuclear Physics in a Nutshell", Princeton university press
- [6] W. Greiner and J. A. Maruhn, (1996), "Nuclear Models", Springer, Germany
- [7] R. F. Casten, (1990), "Nuclear Structure from a simple perspective", Oxford university press, pp. 6
- [8] S. S. M. Wong, (1990), "Introductory Nuclear Physics", Prentice-Hall
- [9] M. Taketani, S. Nakamura and M. Sasaki, (1951), "On the method of the theory of nuclear forces", **Prog. Theor. Phys.** 3, 6, pp 169
- [10] A. A. Rajabi, (2006), "Bound States for Hypercentral Singular and Exponential Potentials", **Commun. Theor. Phys.** 4, 45, pp 669.
- [11] J. L. Ballot and M. Fabre de la Ripelle, (1980), "Application of the hyperspherical formalism to the trinucleon bound state problem", **Ann. Phys.** 127, pp 62

[12] A. A. Rajabi, (2005) "Exact analytical solution of the Schrödinger equation for an N-identical body-force system", **Few. Body. Syst.** 37, pp 197

[13] G. Erens, J. L. Visschers and R. Van Wageningen, (1971) "Variational calculations on a simple triton model using a complete hyperspherical function basis", **Ann. Phys.** 67, 2, pp 461

[۱۴] صفدری ا، (۱۳۹۱)، پایان نامه ارشد، "محاسبه ی انرژی بستگی و برخی خواص استاتیکی سیستم سه نوکلئونی با استفاده از یک پتانسیل فوق مرکزی مناسب آن"، دانشکده فیزیک، دانشگاه صنعتی شاهرود.

[15] M. Fabre de la Ripelle, S.A. Sofianos, R.M. Adam, (2005) "Method for solving the many-body bound state nuclear problem", **Ann. Phys.** 316, pp107

[16] F. Zerinke and H. C. Brinkman, (1935) **Proc. Kon. Ned. Acad. Wetensch.** 33, pp 3.

[17] B. Kumar Bagchi, (2001), "**Supersymmetry In Quantum And Classical Mechanics**", Chapman & Hall/CRC

[۱۸] حسن آبادی ح، (۱۳۸۶)، رساله ی دکتری، "محاسبه ی ویژگی های استاتیکی باریون ها با استفاده از معادله ی دیراک"، دانشکده ی فیزیک، دانشگاه صنعتی شاهرود

[19] V. H. Badalov, H. I. Ahmadov and A. I. Ahmadov, (2009), "Analytical solutions of the Schrödinger equation with the Woods-Saxon potential for arbitrary  $l$  state", **Int. J. Mod. Phys. E.** 18, 3, pp 631

[20] S. M. Ikhdair and R. Sever, (2010), "Any  $l$ -state solutions of the woods-saxon potential in arbitrary dimensions within the new improved quantization rule", **Int. J. Mod. Phys. A.** 25, pp 3941



- [21] W. H. Press, S. A. Teukolsky, W. T. Vetterling and B. P. Flannery, (1992), “**Numerical Recipes in FORTRAN**” second edition, Cambridge University Press, pp 701-774
- [22] J. R. Cash, A. H. Karp, (1990), “A variable order Runge-Kutta method for initial value problems with rapidly varying right-hand sides”, **ACM Trans. Math. Softw.** 16, 3, pp 201
- [23] N. J. Giordano, (1997), “**Computational Physics**”, Prentice-Hall, United States of America, pp 259
- [24] S. Gasiorowicz, (1996), “**Quantum Physics**”, second edition, John Wiley & Sons, pp 201
- [25] J. M. Cai, P. Y. Cai, and A. Inomata, (1986), “Path-integral treatment of the Hulthén potential” ,**Phys. Rev. A.** 34, 6, pp 4621
- [26] S.M. Ikhdaïr, R. Sever. (2008), “Approximate l-state solutions of the D-dimensional Schrödinger equation for Manning-Rosen potential”, **Annalen der Physik** , 17, 11, pp 897
- [27] Zhao-You Chen, Min Li and Chun-Sheng Jia, (2009), “Approximate analytical solutions of the Schrödinger equation with the Manning-Rosen potential model”, **Mod. Phys. Lett. A.** 24, 23, pp 1863
- [28] W. Lucha and F. F. Schoberl, (1999), “Solving the Schrödinger equation for bound states with MATHEMATICA 3.0” **Int. J. Mod. Phys. C.** 10, 4, pp 607.
- [29] W. C. Qiang and S. H. Dong, (2007), “Analytical approximations to the solutions of the Manning–Rosen potential with centrifugal term”, **Phys. Lett. A.** 368, pp 13
- [30] M. Hamzavi, M. Movahedi, K. E. Thylwe, A. A. Rajabi, (2012), “Approximate Analytical Solution of the Yukawa Potential with Arbitrary Angular Momenta”, **Chin. Phys. Lett.** 29, 8, pp 080302
- [31] B.Gonul, K. Koksal and E. Bakir, (2006), “An alternative treatment for Yukawa-type potentials”, **Phys. Scr.** 73, 3, pp 279

- [32] <http://cdfc.sinp.msu.ru> , “Center for Photonuclear Experiments Data”
- [33] H. Yukawa, (1935), “On the Interaction of Elementary Particles”, **Pro. Phys. Math. Soc.** 17, pp 48
- [34] M. Karakoc, I. Boztosun, (2006), “Accurate iterative and perturbative solutions of the Yukawa potential”, **Int. J. Mod. Phys. E.** 15, 6, pp 1253
- [35] E. Z. Liverts, E. G. Drukarev, R. Krivec, V. B. Mandelzweig, (2006), “Analytic presentation of a solution of the Schrödinger equation”, **Few. Body. Syst.** 44, 1-4, pp 367
- [36] B. Chakrabarti and T.K. Das, (2001) “Analytic superpotential for Yukawa potential by perturbation of the Riccati equation”, **Phys. Lett. A.** 285, 1-2, pp 11
- [37] J. Killingbeck, (1978), “Perturbation theory without wave functions”, **Phys. Lett. A.** 65, 2, pp 87
- [38] M. Hamzavi and A.A. Rajabi, (2011), “Solution of Dirac equation with Killingbeck potential by using wave function Ansatz method under spin symmetry limit”, **Commun. Theor. Phys.** 55, 1, pp 35
- [39] Z. Ghalehovi, A.A. Rajabi, M. Hamzavi, (2011), “The heavy baryon masses in variational approach and spin–isospin dependence”, **Acta. Phys. Pol. B.** 42, 8, pp 1849
- [40] M. Hamzavi, S. M. Ikhdaier, and M. Solaimani, (2012), “A semirelativistic treatment of spinless particles subject to the Yukawa potential with arbitrary angular momenta”, **Int. J. Mod. Phys. E.** 21, 2, pp 1250016
- [41] B. Kozłowska, Z. Ayer, R. K. Das, H. J. Karwowski, and E. J. Ludwig, (1994), “Determination of the asymptotic  $D$ - to  $S$ -state ratio of the triton from sub-Coulomb ( $d \rightarrow t$ ) reactions”, **Phys. Rev. C.** 50, 6, pp 2695
- [42] <http://nndc.bnl.gov> , “National Nuclear Data Center”

## **Abstract:**

From the beginning of the history of nuclear physics to now, using a model that is able to provide a good description of the nucleons behavior which is affected by the nuclear force between them, has been in high importance. The hyperspherical harmonics expansion method is one of the safest and most successful methods to study the many-particles systems in the relativistic and nonrelativistic quantum mechanics. We want to find the correct form of the Schrödinger equation for Triton three-nucleon nuclear system by this method and then solve it in order to theoretical study of ground state and probability of existence of excited bound state. For this purpose, using a potential that provide a good estimation of ground state static properties (energy and rms charge radius) is very important in reaching a phenomenological model. First, we have used the Yukawa potential as nuclear potential in Triton and in the next step for get closer to the experimental values and real potential, we have added a correction term. In both cases the results have been presented and compared with experiment. We have used from the shooting numerical method for solving the Schrödinger equation. It's a suitable selection for exact solving of this equation specially in the presence of those of potentials that there is not exact solution for them (for example Yukawa potential). The shooting method is based on another numerical algorithm such as Newton-Rafson root-finding and Runge-Kutta methods.

**Key words:** Hyperspherical space, Schrödinger equation, Shooting numerical method, Triton, Binding energy



**Shahrood University of Technology**

**Faculty of Physics**

**Nuclear Physics**

**Master of Science Thesis**

**Calculating the spectrum of Tritium Nucleus**

**Javad Rahmatabadi sani**

**Supervisor:**

**Prof. A. A. Rajabi**

**February 2014**